

A experiência ATLAS e mais umas coisas...

Ricardo Gonçalo, Laboratório de Instrumentação e Física Experimental de Partículas (LIP)
Escola de Professores no CERN em Língua Portuguesa - 2014
CERN, 26 de Agosto de 2014



**INVESTIGADOR
FCT**



QUALIFICAR É CRESER.



UNIÃO EUROPEIA
Fundo Social Europeu



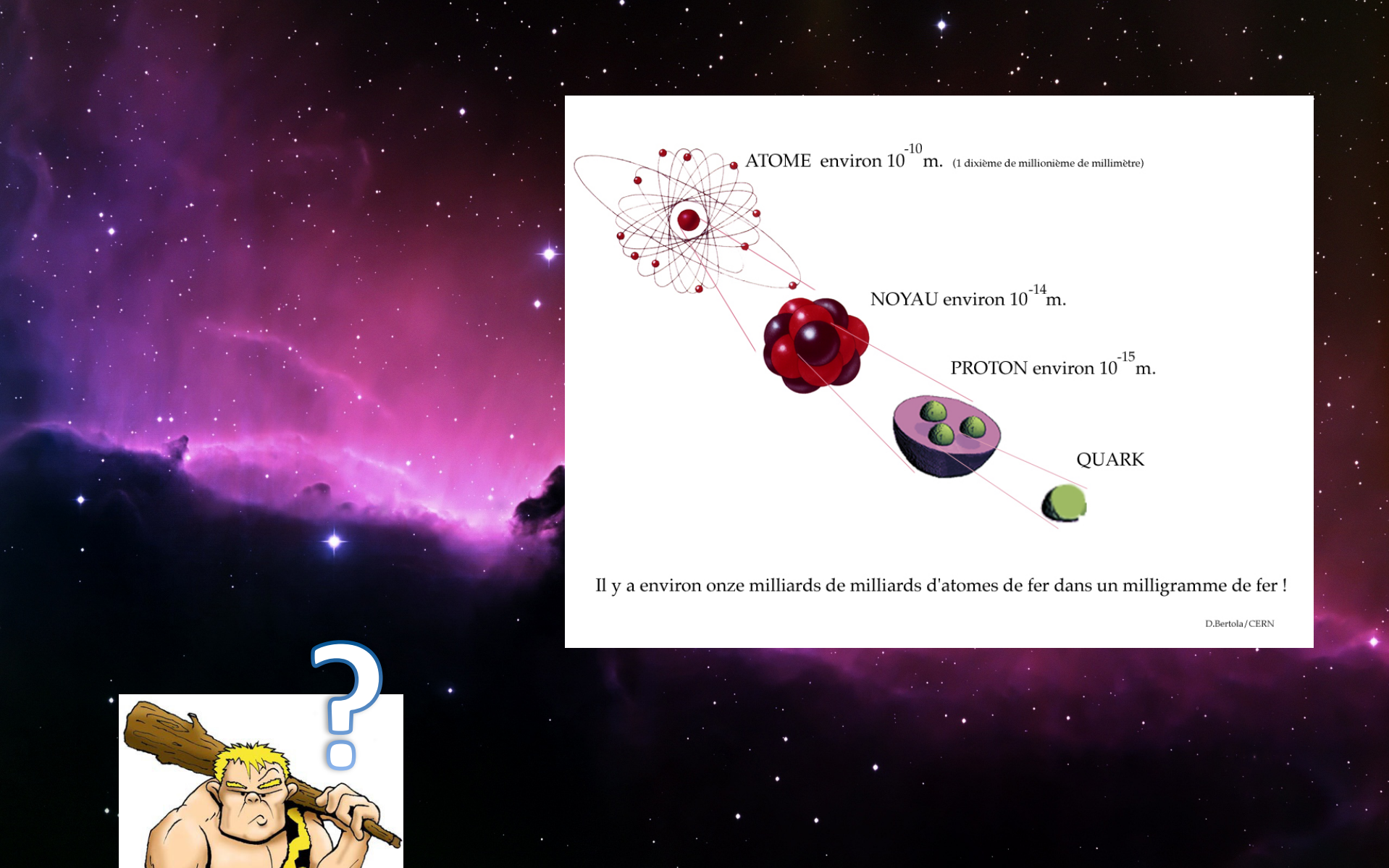
QUADRO
DE REFERÊNCIA
ESTRATÉGICO
NACIONAL

PORTUGAL 2020/2023

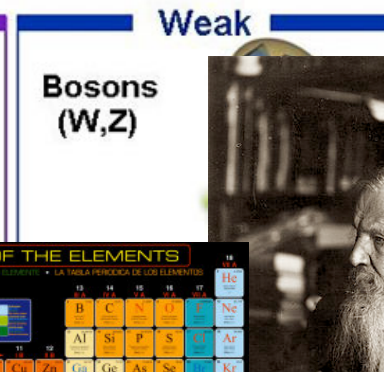
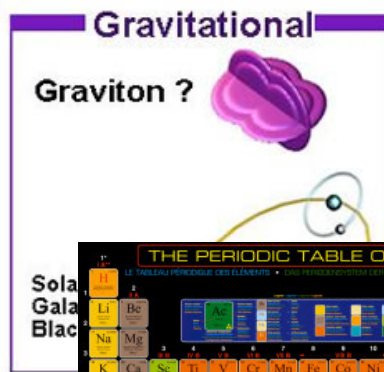
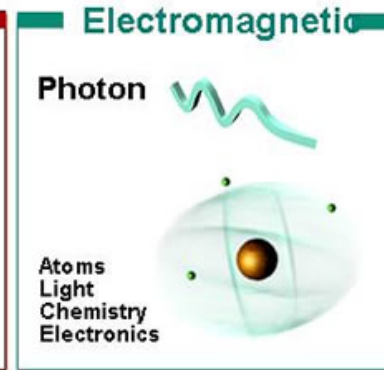
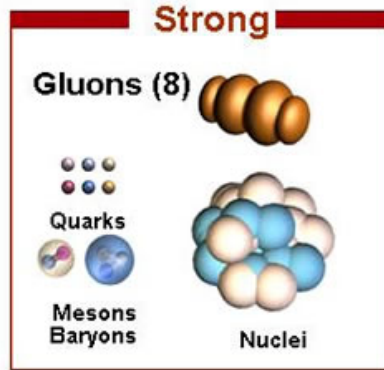
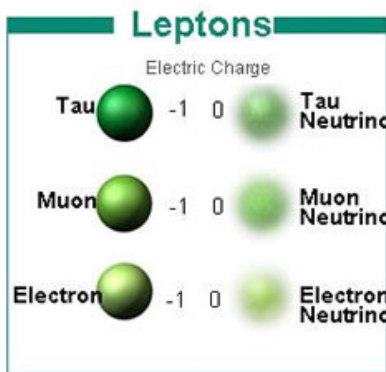


Sumário

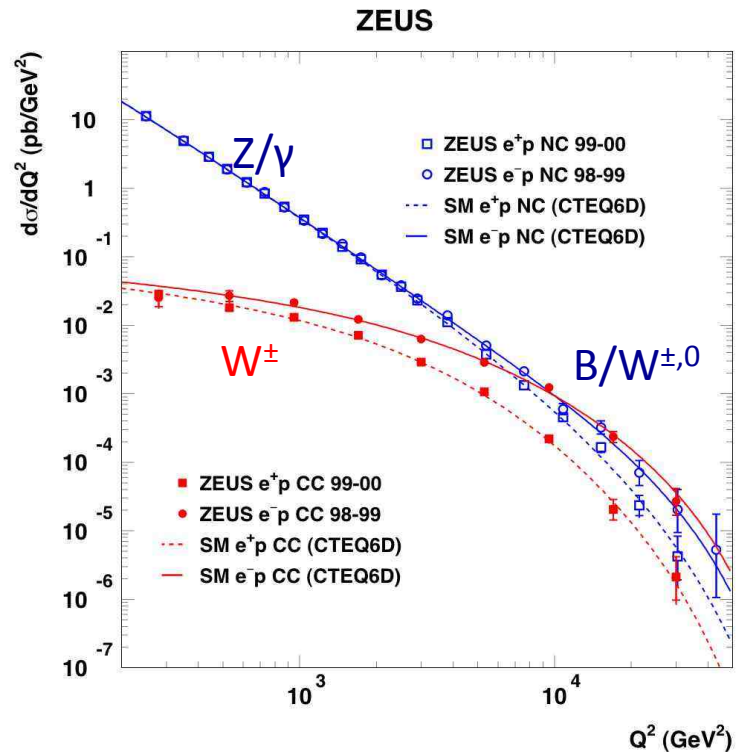
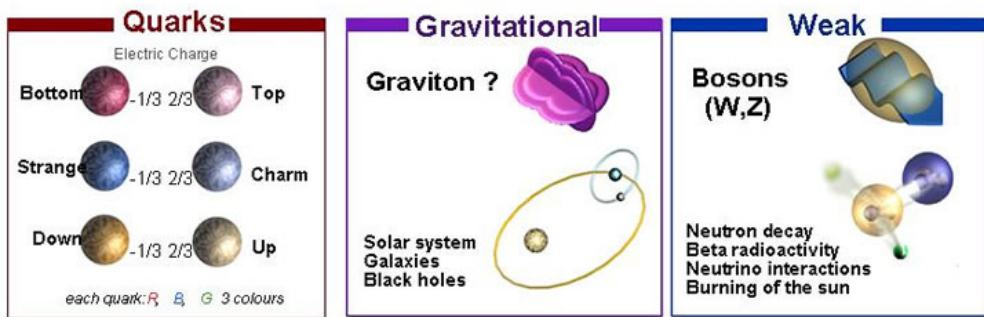
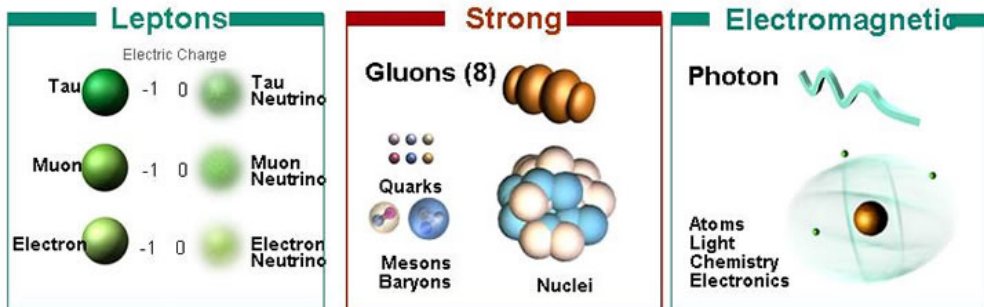
- Os objectivos de Física
- O acelerador LHC e experiência ATLAS
 - Participação Portuguesa e Brasileira
- Alguns resultados de Física de ATLAS



O Modelo Padrão



O Elo que Faltava: Mecanismo de Higgs



$\epsilon_-^\mu = \frac{1}{\sqrt{2}}(0, 1, -i, 0)$

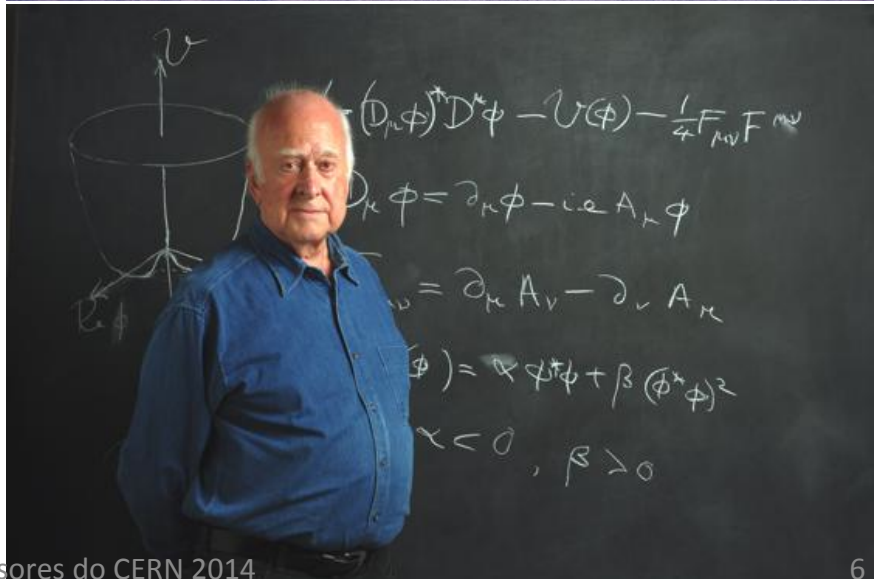
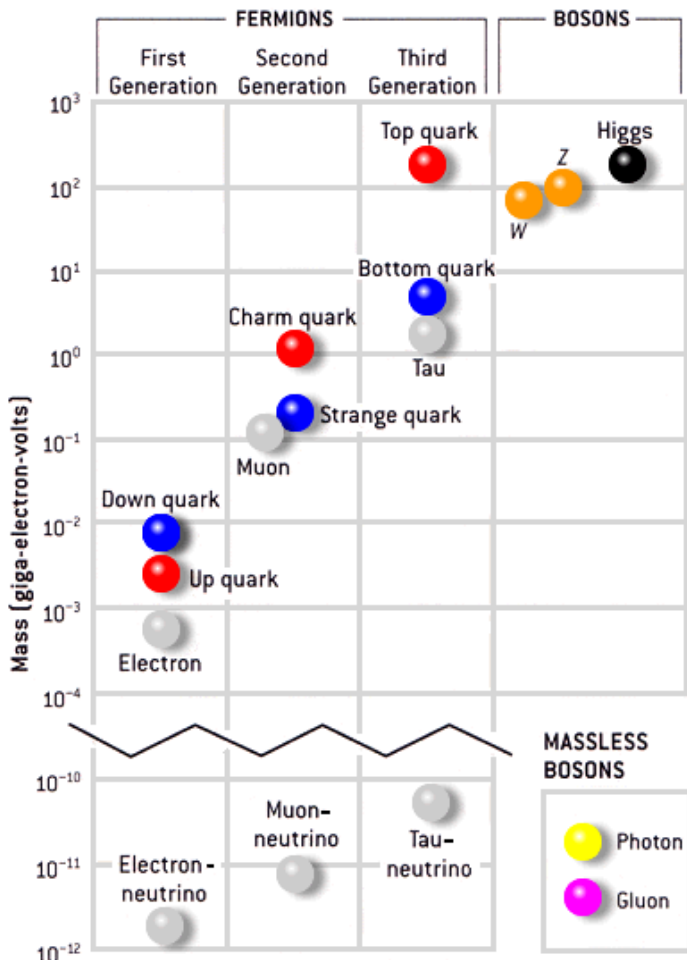
Transverse: photon-like

$\epsilon_+^\mu = \frac{1}{\sqrt{2}}(0, 1, i, 0)$

Longitudinal

$\epsilon_L^\mu = \frac{1}{m}(p_z, 0, 0, E)$

O Elo que Faltava: Mecanismo de Higgs



Quarks

u	c	t
up	charm	top

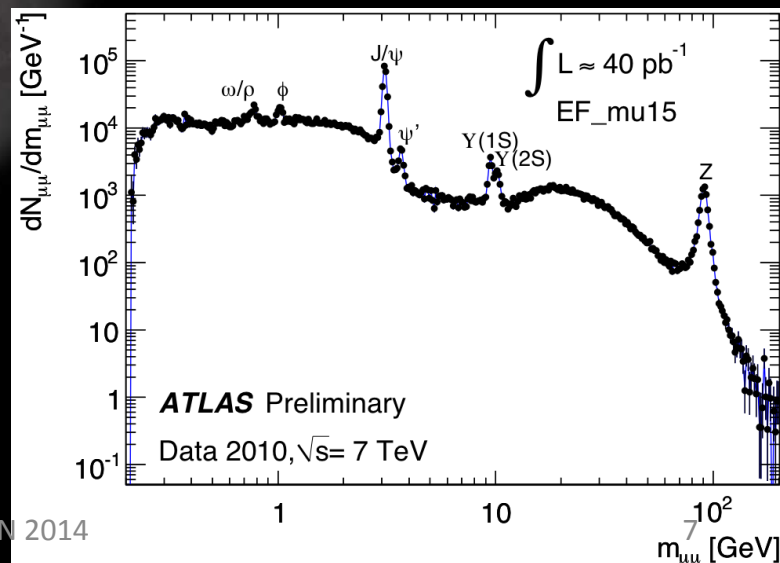
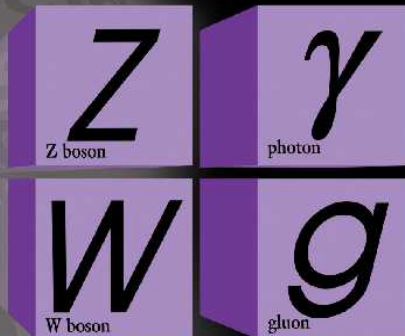
d	s	b
down	strange	bottom

e	μ	τ
electron	muon	tau

ν_e	ν_μ	ν_τ
electron neutrino	muon neutrino	tau neutrino

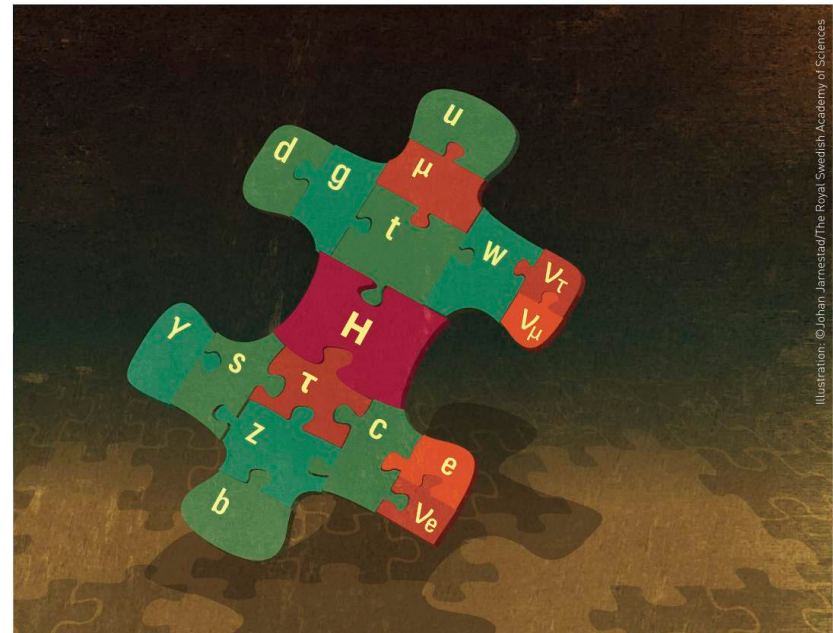
Leptons

Forces



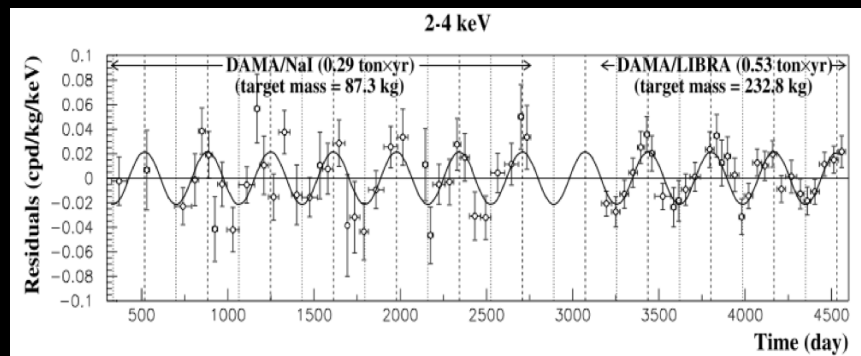
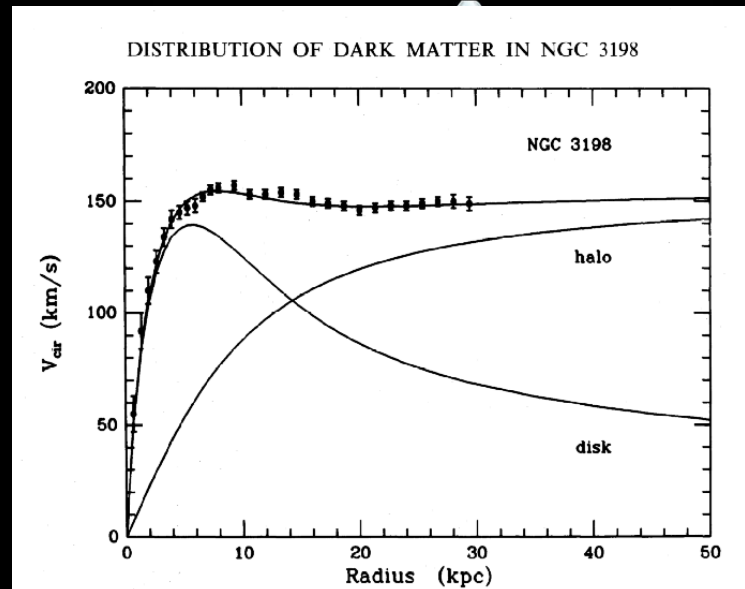
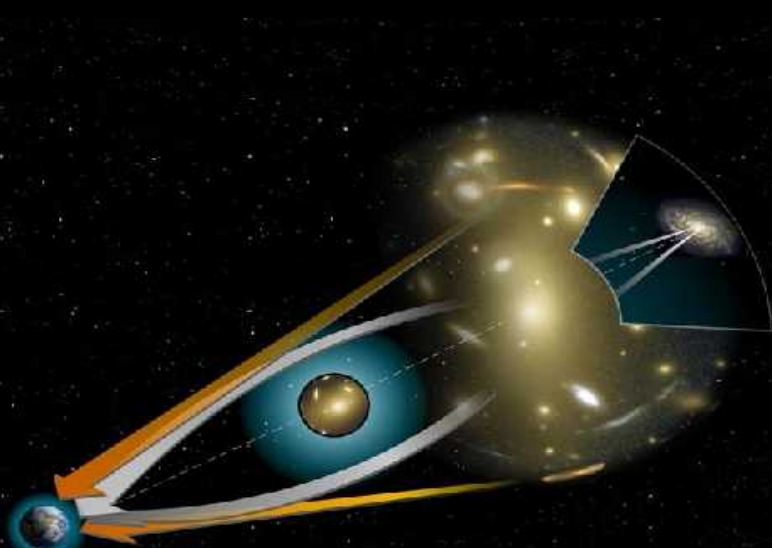
E agora?...

- O Modelo Standard NÃO pode ser o puzzle completo!
- Há uma dinâmica subjacente ao mecanismo de Higgs?
- Porque é que a força das interacções e as massas das partículas são tão diferentes?
- E porque é que a expansão do universo é acelerada? Energia escura!
- União das forças a alta energia?
- Para onde foi a antimateria?
- O que é a matéria escura?

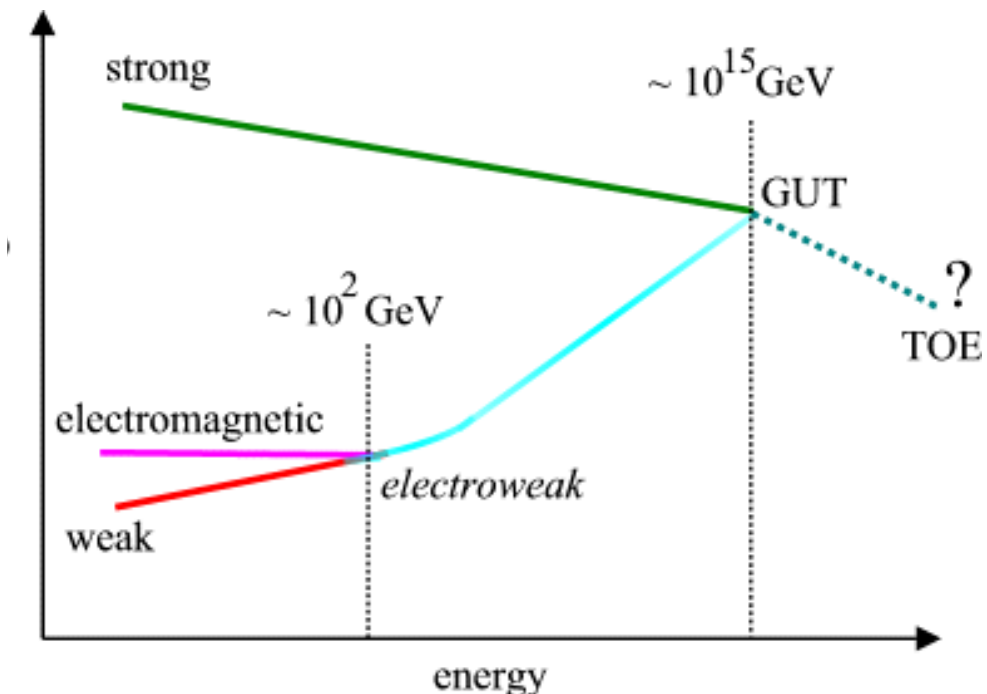
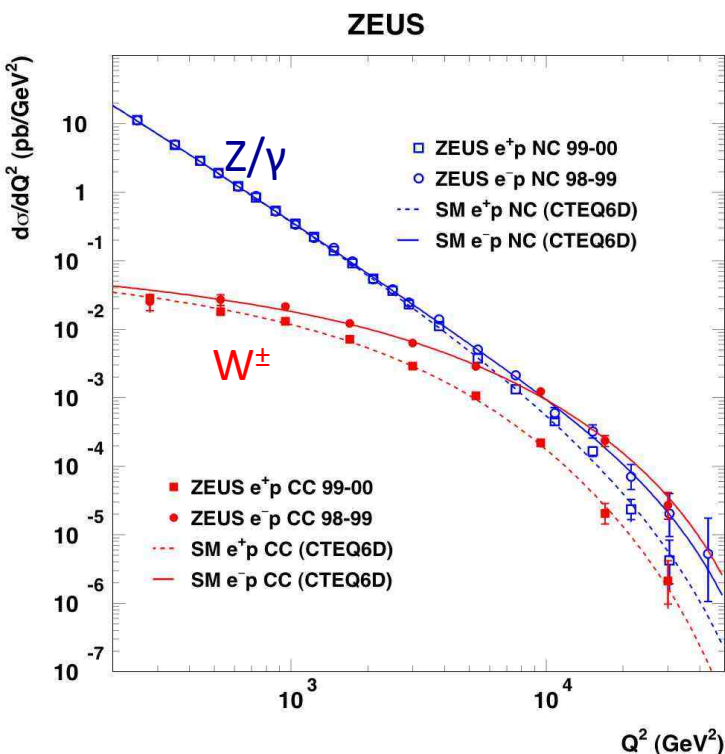


Matéria Escura

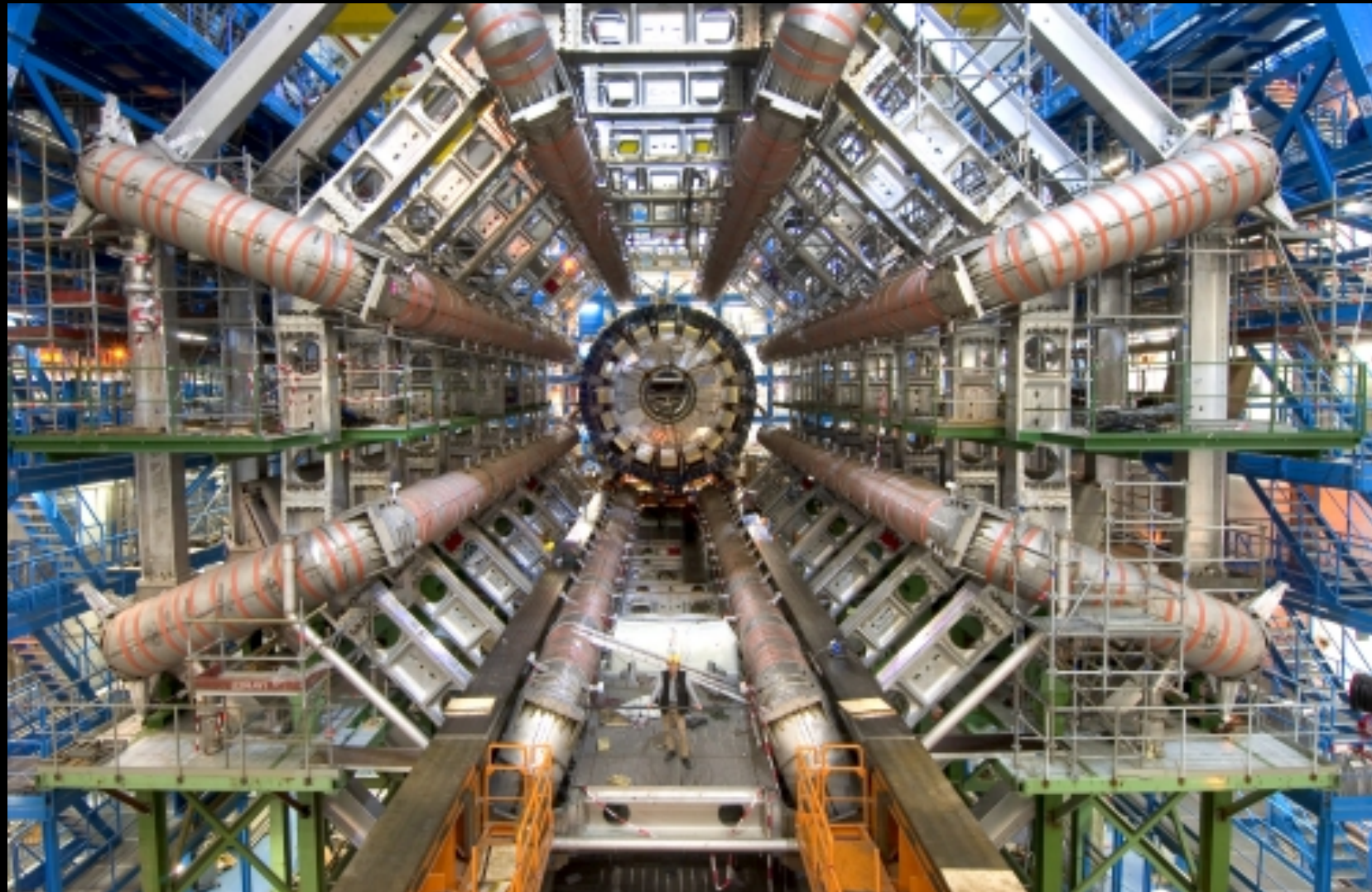
- A sua existência no Universo é clara:
 - Rotação de galáxias
 - Espectro da radiação de fundo
 - Microlensing
- Mas não sabemos o que é!



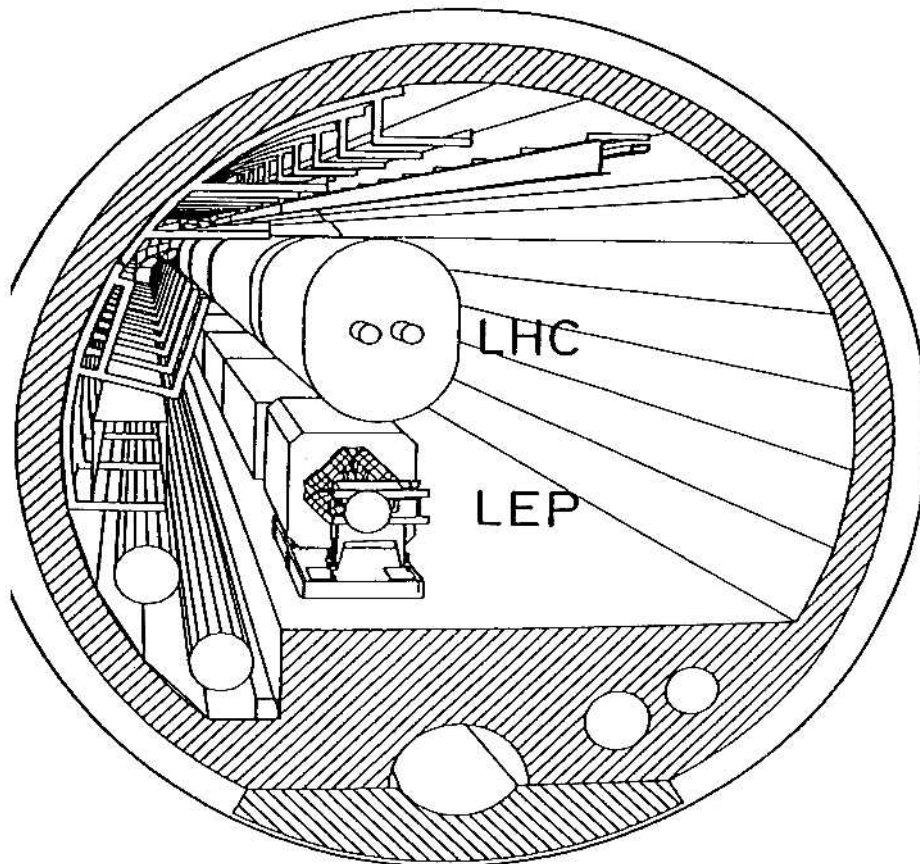
Unificação das interacções?



O LHC e a Experiência ATLAS



A história começa há quase 30 anos...



LARGE HADRON COLLIDER IN THE LEP TUNNEL

Vol. I

PROCEEDINGS OF THE ECFA-CERN WORKSHOP

held at Lausanne and Geneva,
21–27 March 1984

Objectivos do LHC

what is the origin of mass?

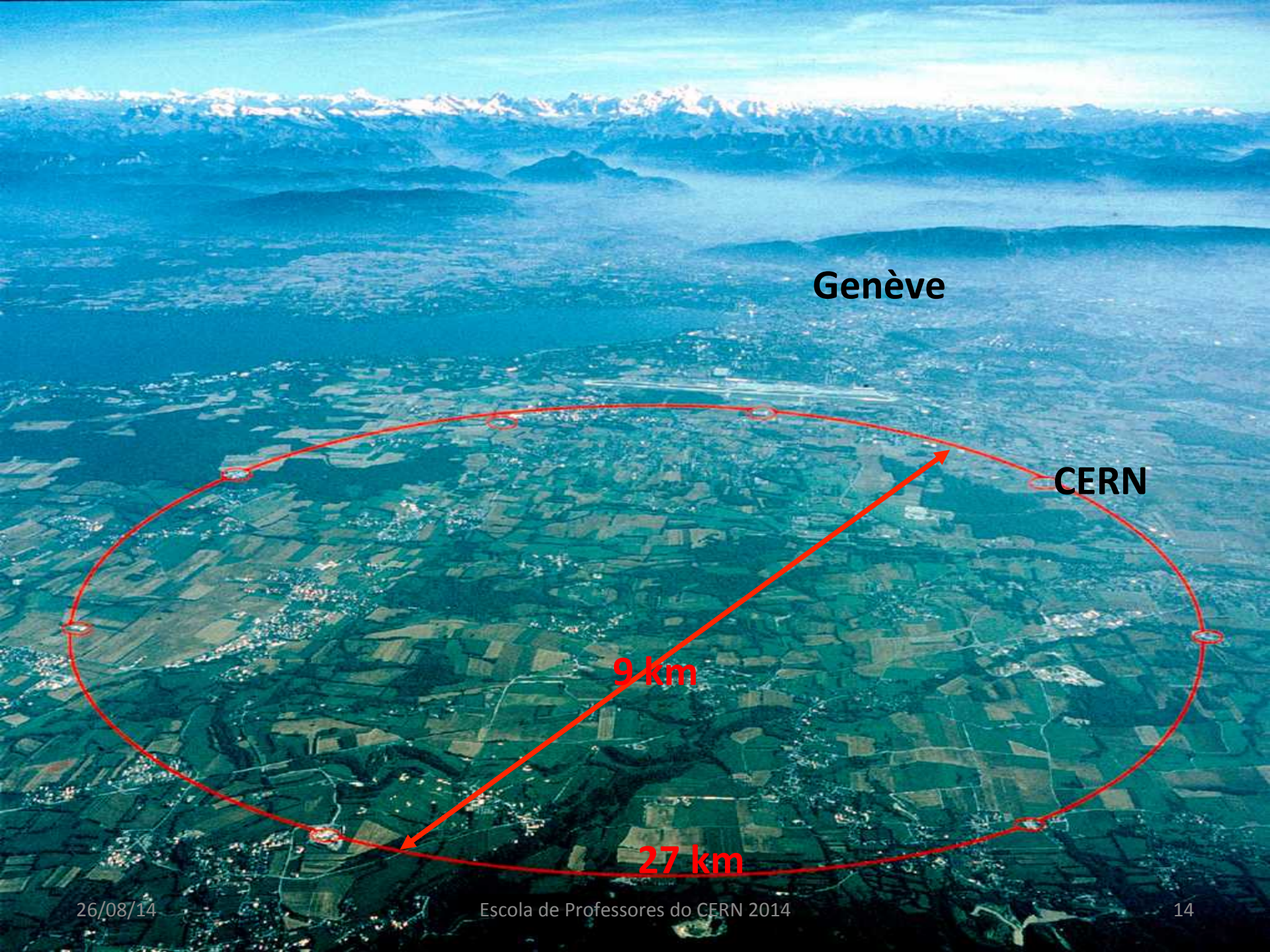
what kind of unification may exist beyond the standard model?

what is the origin of flavour?

is there a deeper reason for gauge symmetry?

We have simply too many a priori plausible hypotheses concerning the nature of symmetry breaking in the standard model. Experimentation in the TeV range at the constituent level is bound to provide most essential clues, and the present successes of the $p\bar{p}$ collider are a very strong encouragement to go to higher energies and to higher luminosities in hadron-hadron collisions.

extraído do “Summary Report” da Workshop de Lausanne, 1984



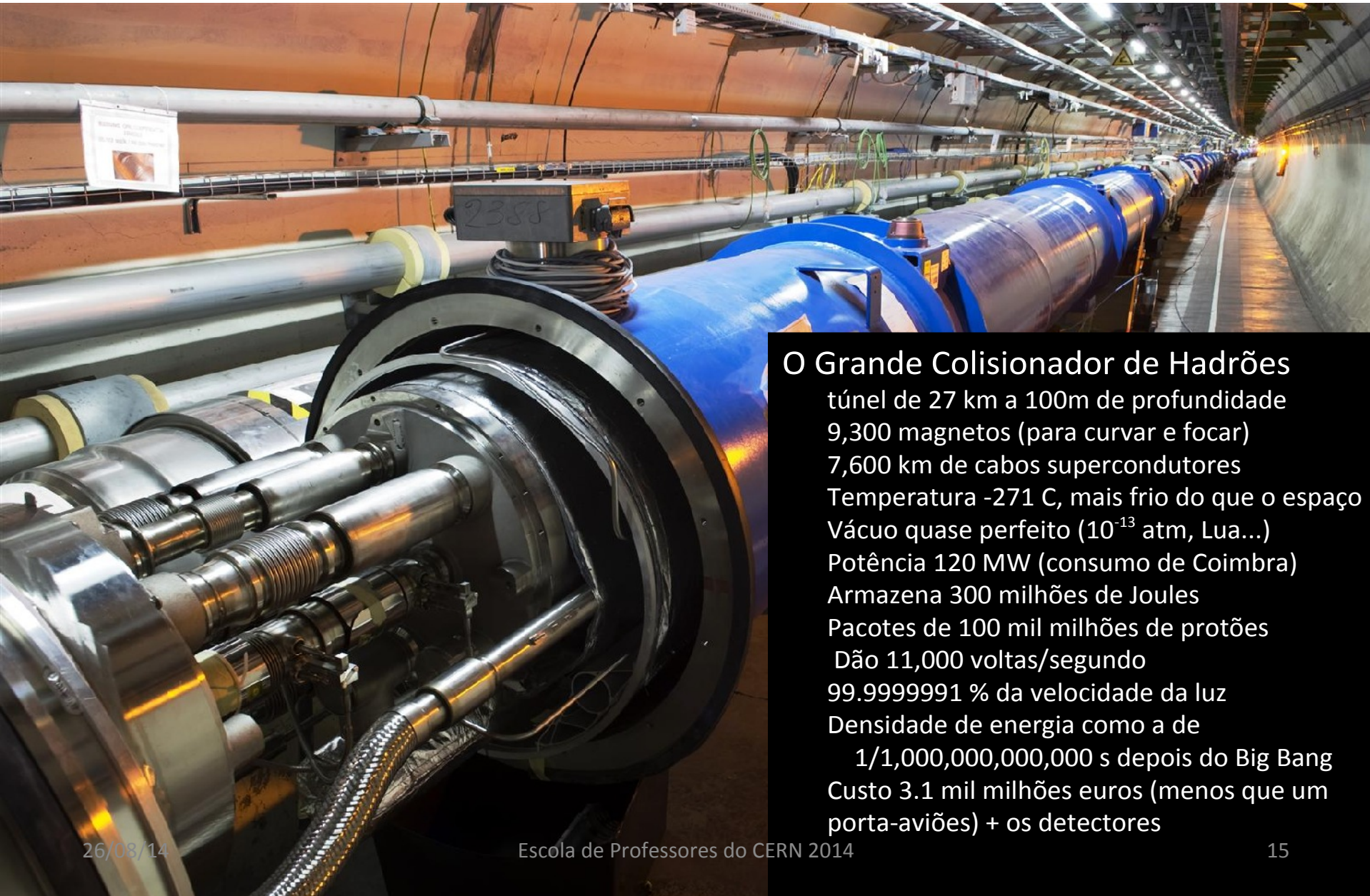
Genève

CERN

9 km

27 km

Large Hadron Collider

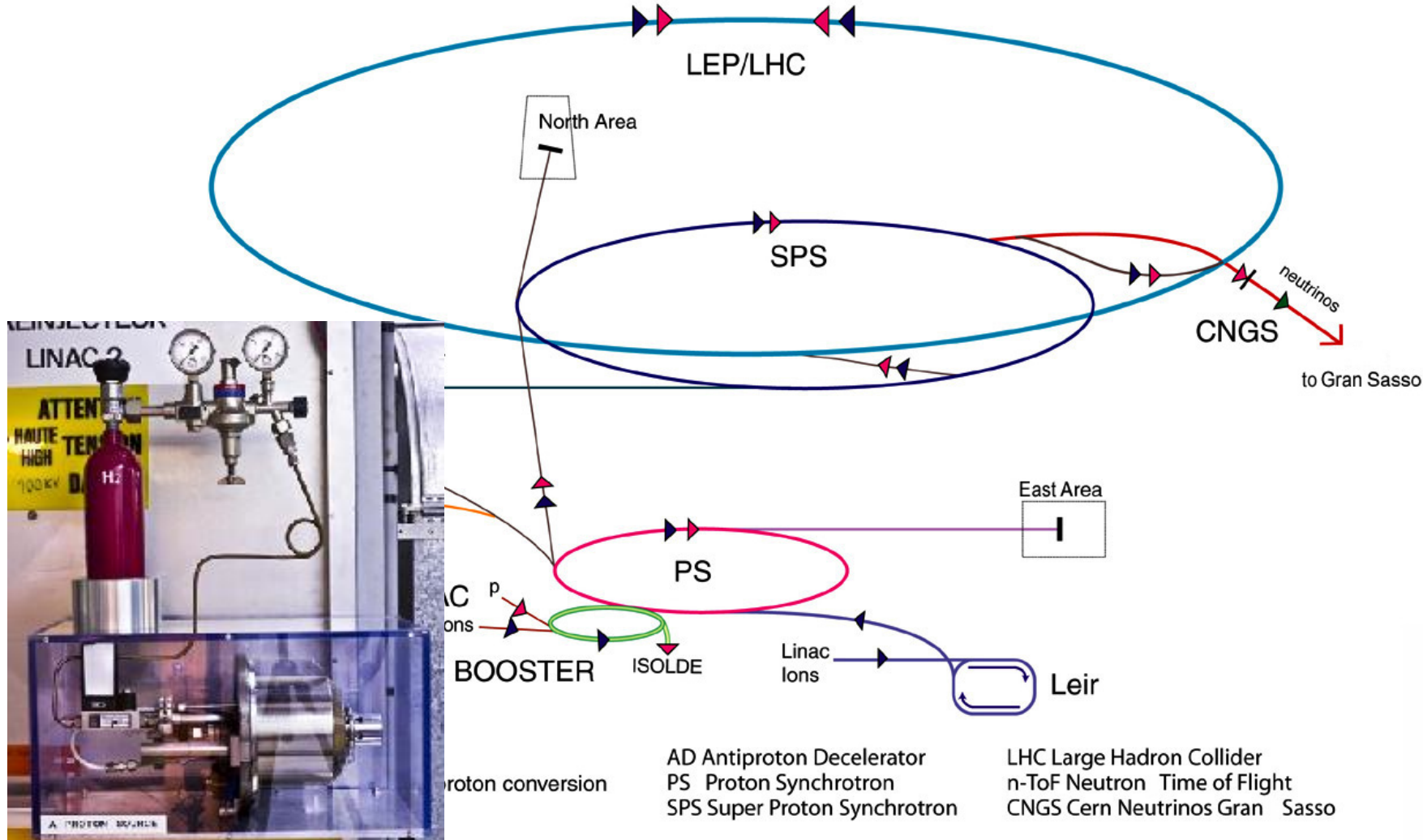


O Grande Colisionador de Hadrões

túnel de 27 km a 100m de profundidade
9,300 magnetos (para curvar e focar)
7,600 km de cabos supercondutores
Temperatura -271 C, mais frio do que o espaço
Vácuo quase perfeito (10^{-13} atm, Lua...)
Potência 120 MW (consumo de Coimbra)
Armazena 300 milhões de Joules
Pacotes de 100 mil milhões de protões
Dão 11,000 voltas/segundo
99.999991 % da velocidade da luz
Densidade de energia como a de
 $1/1,000,000,000,000$ s depois do Big Bang
Custo 3.1 mil milhões euros (menos que um porta-aviões) + os detectores

LINAC2 → **50 MeV**
Booster → **1.4 GeV**

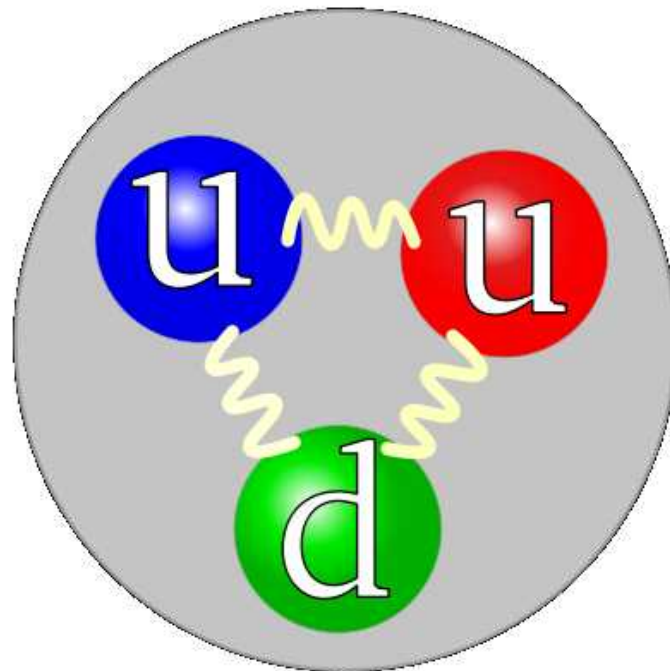
Proton Synchrotron (PS) → **25 GeV**
Super Proton Synchrotron (SPS) → **450 GeV**
Large Hadron Collider (LHC) → **7 TeV**



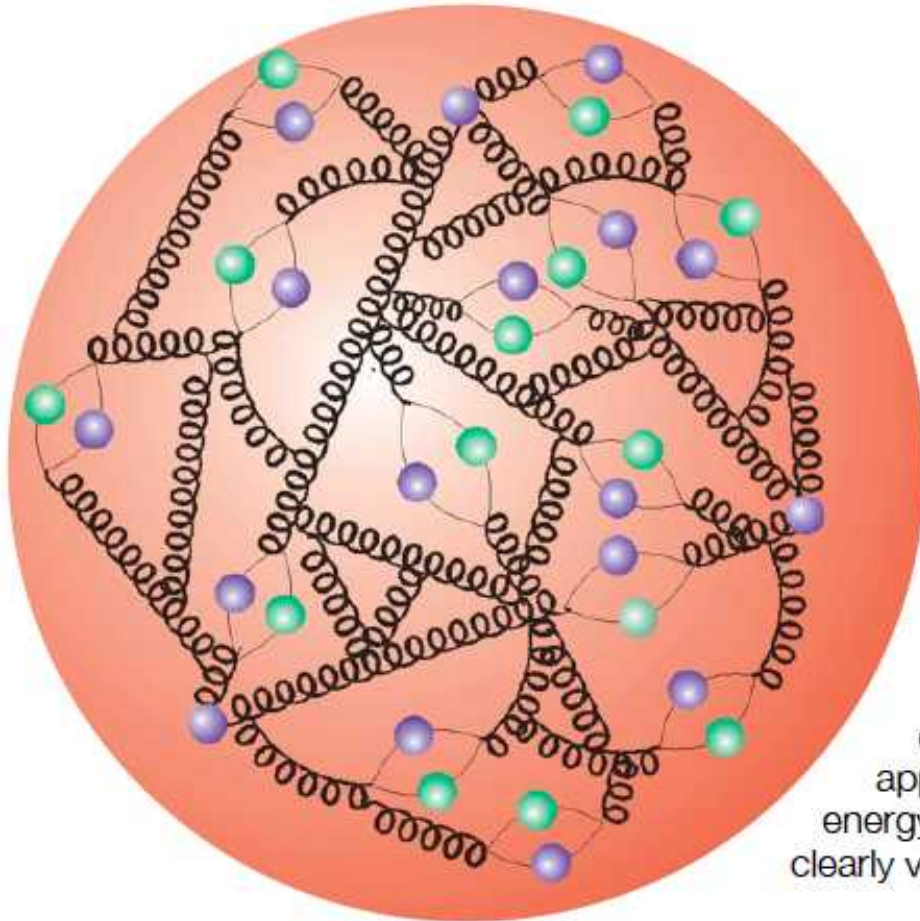
O que é um protão?



O protão no modelo dos quarks



O protão como o conhecemos hoje

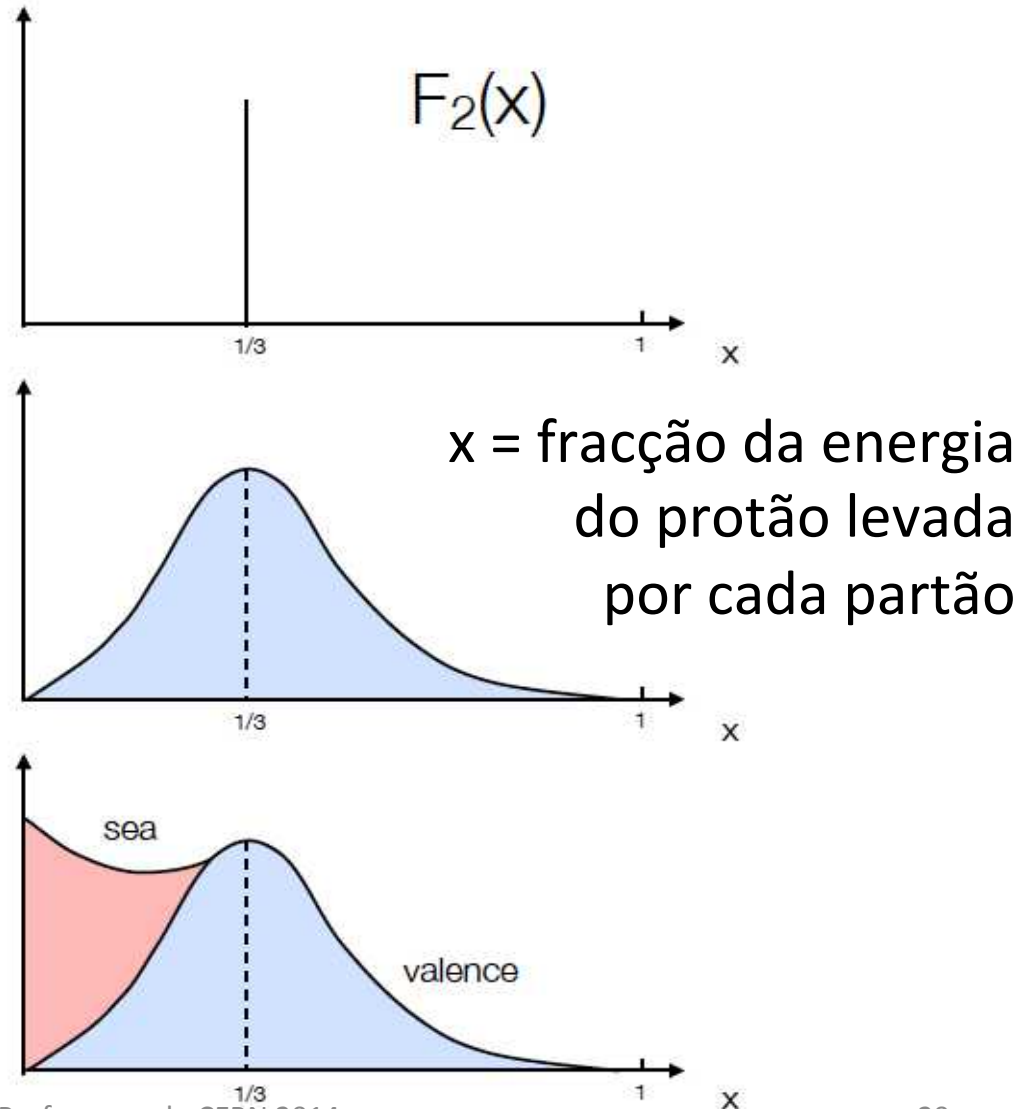
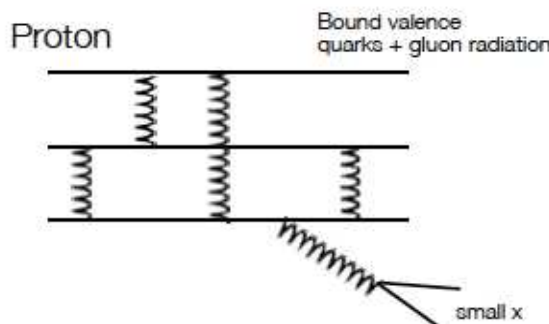
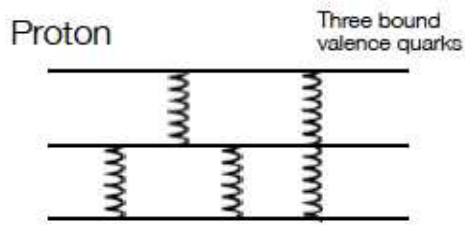
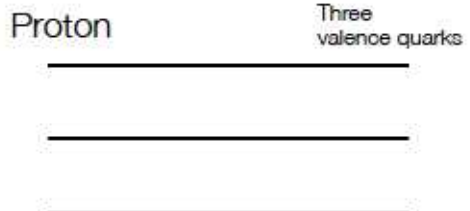


The most dramatic of these [experimental consequences], that the protons viewed at ever higher resolution would appear more and more as field energy (soft glue), was only clearly verified at HERA ...

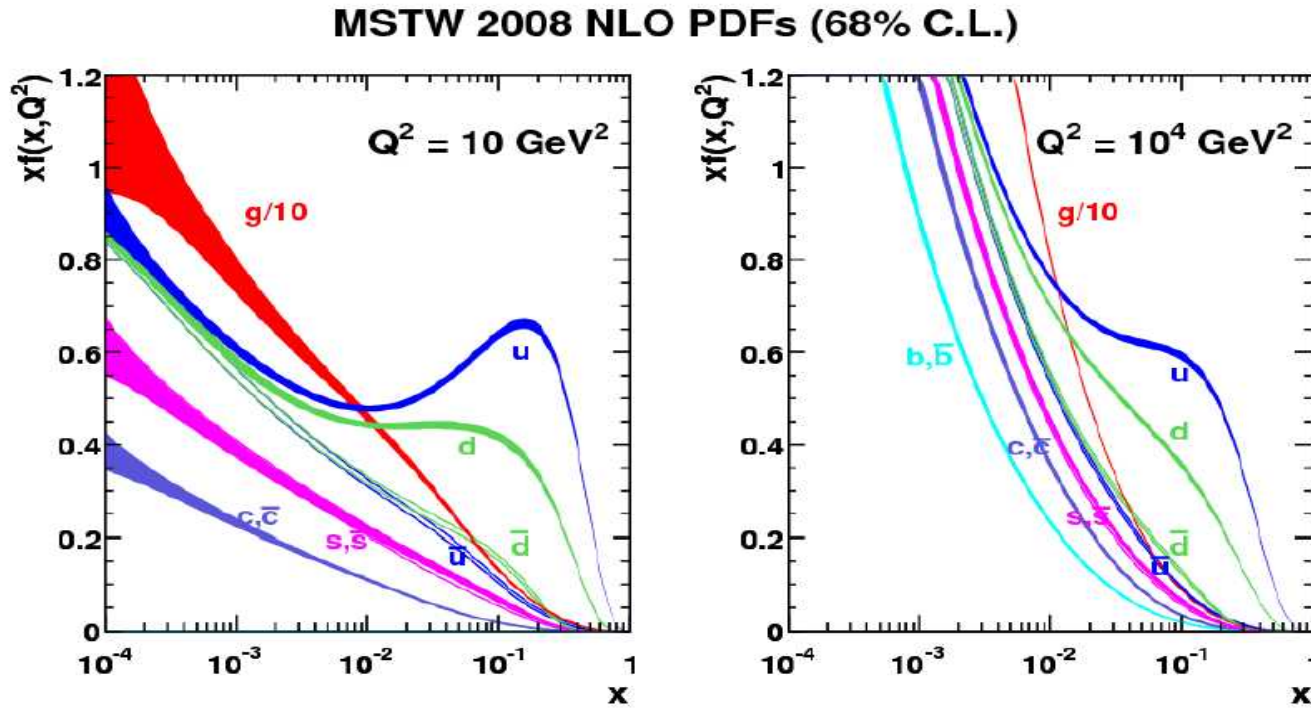
F. Wilczek
[Nobel Prize 2004]

Como se distribui a energia dentro dos protões

Partões: quarks e gluões constituintes dos hadrões

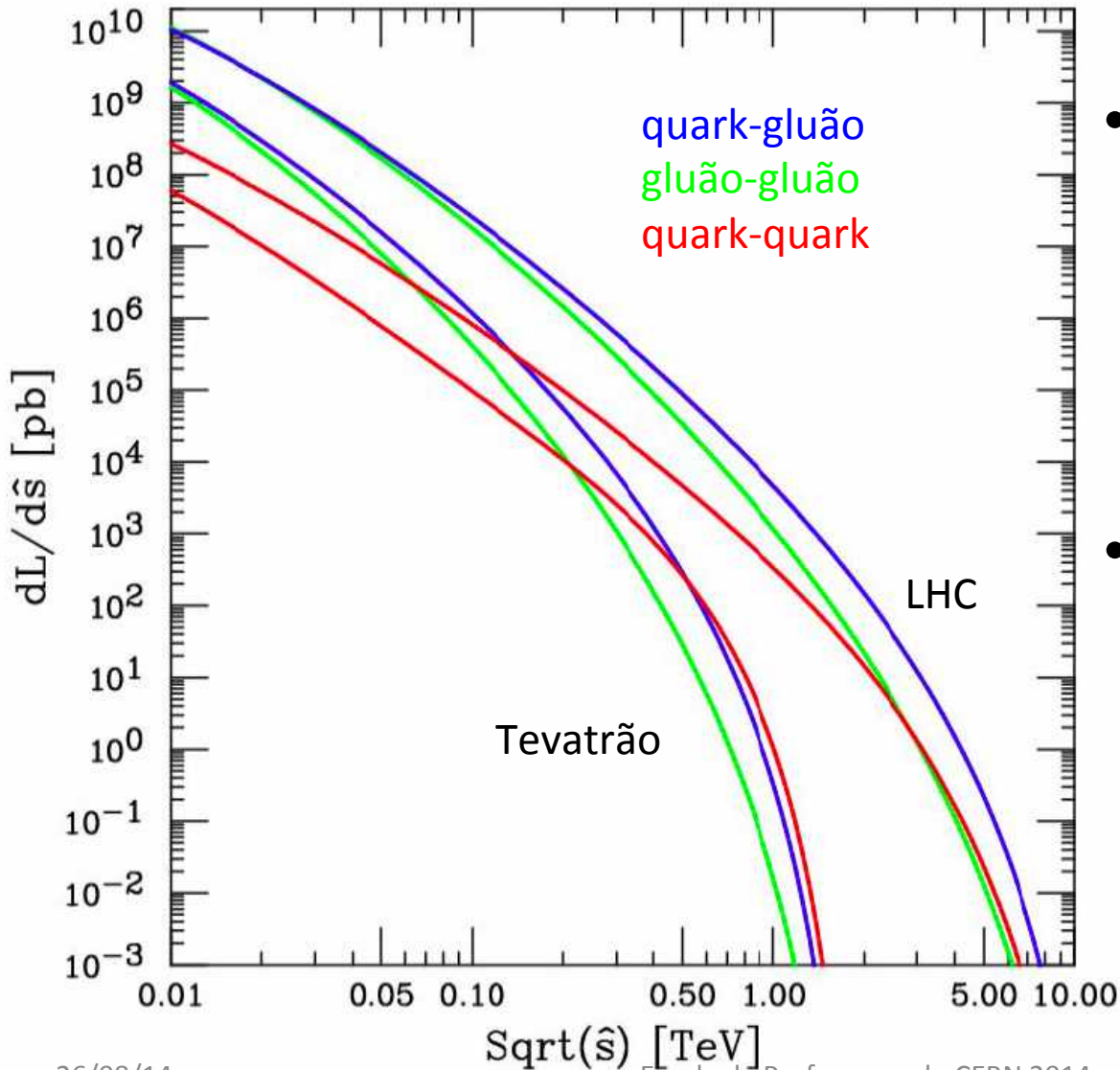


Em detalhe: funções de distribuição dos partões



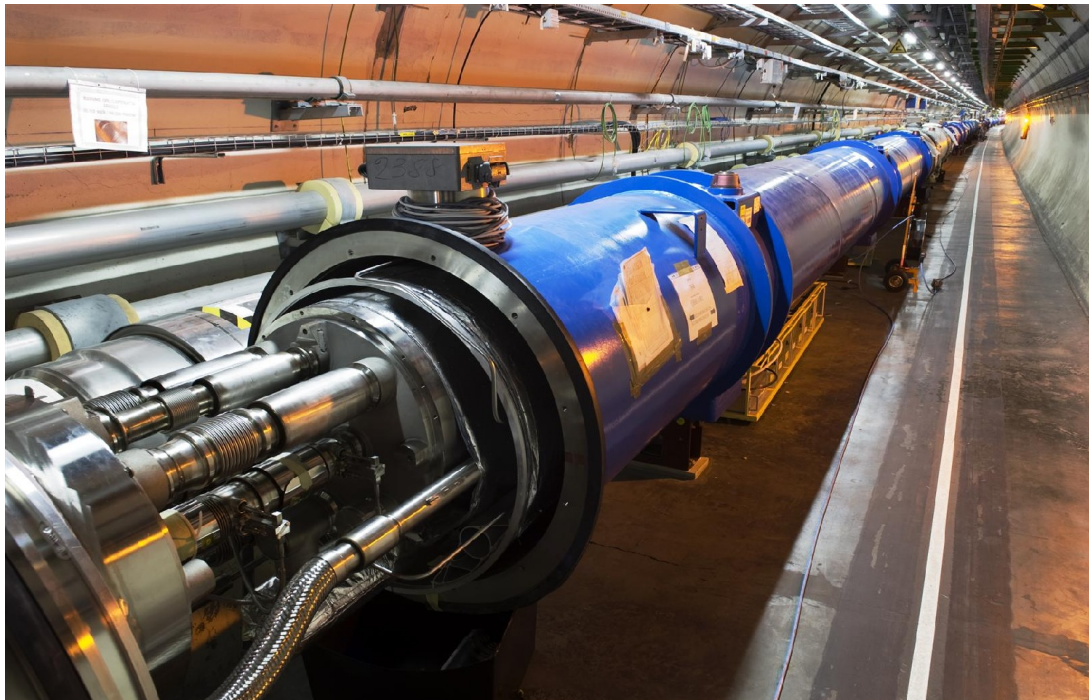
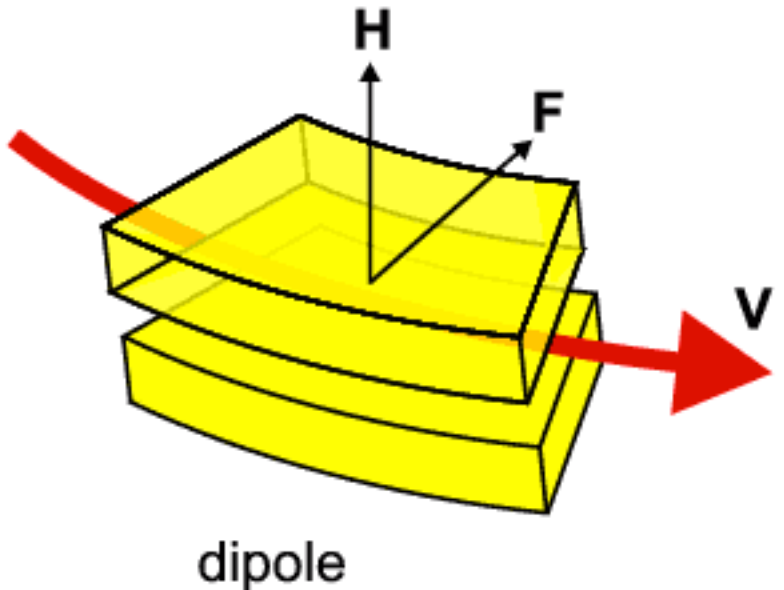
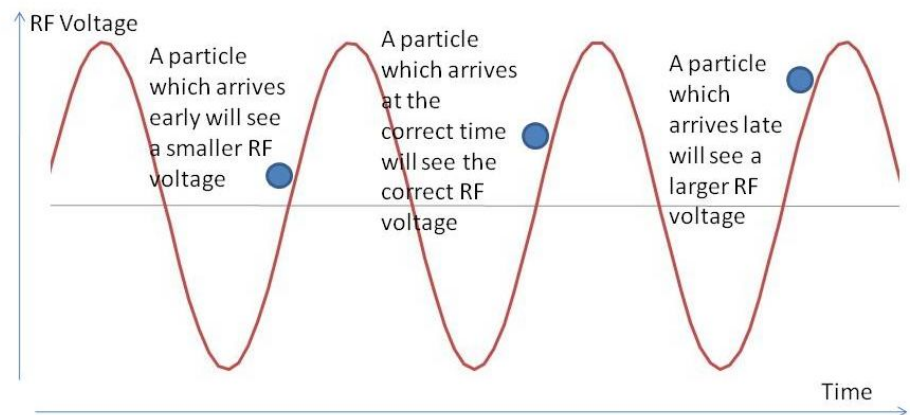
A energias maiores, como as do LHC, a contribuição dos gluões e dos quarks de “mar” aumenta – o LHC colide quarks e gluões!

Energia efetiva das colisões



- Energia de colisão no centro de massa dos protões é 14TeV (8TeV em 2012)
- Colisões entre os constituintes elementares (quarks e gluões) são a energias mais baixas

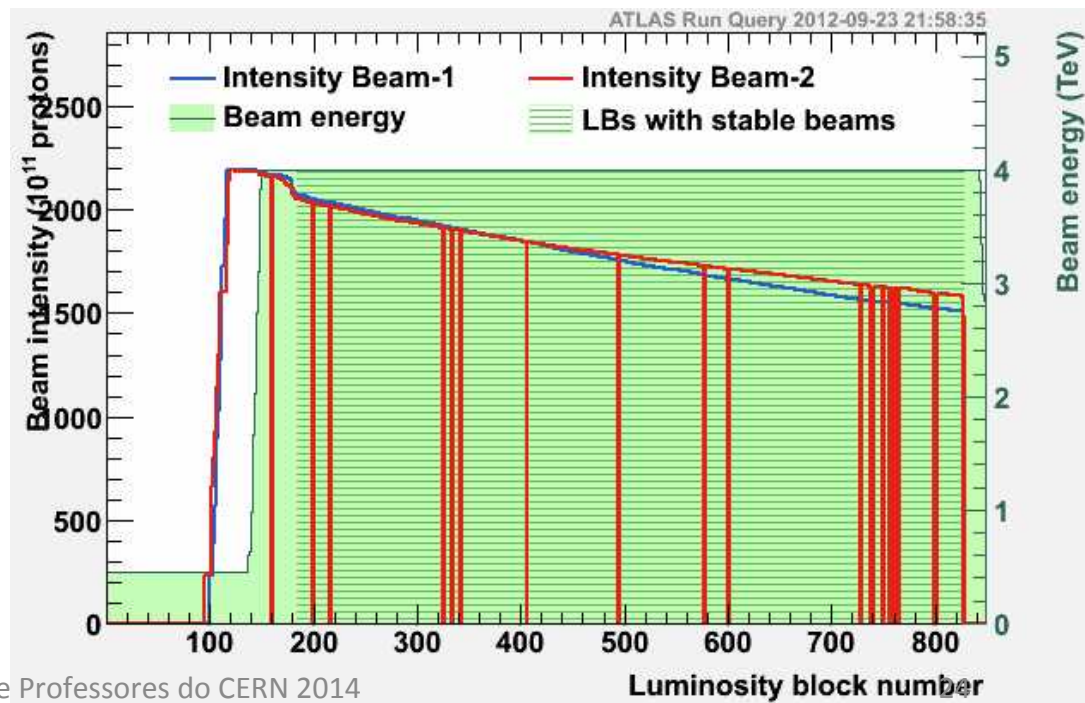
Feixes de protões





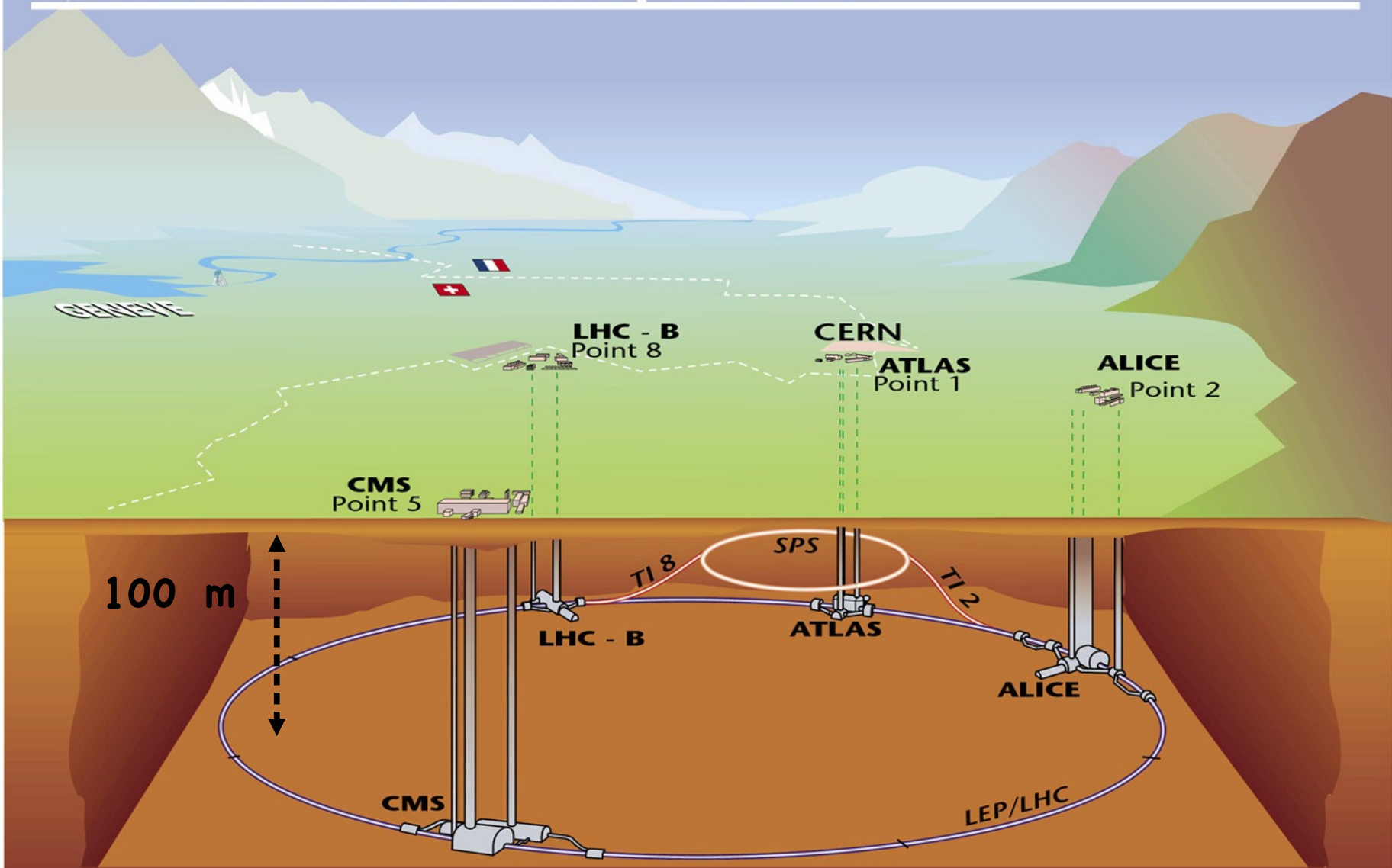
- Tudo contido num feixe de $\approx 16\mu\text{m}$
- Runs típicos duram cerca de 8 horas
- Intensidade diminui devido a perdas
- Depois voltamos a injectar novos feixes

- Energia do feixe:
- 2802 bunches de 1.15×10^{11} protões
- $7\text{TeV} / \text{protão} \text{ (2015)} = 7 \times 10^{12} \times 1.602 \times 10^{-19} \text{ J}$
- Dá 362 MJ por feixe...
- Igual à energia cinética de um porta-aviões de 20,000t a viajar a 11,7 nós (21.7 km/h)





Overall view of the LHC experiments.



Muon Spectrometer: $|\eta| < 2.7$

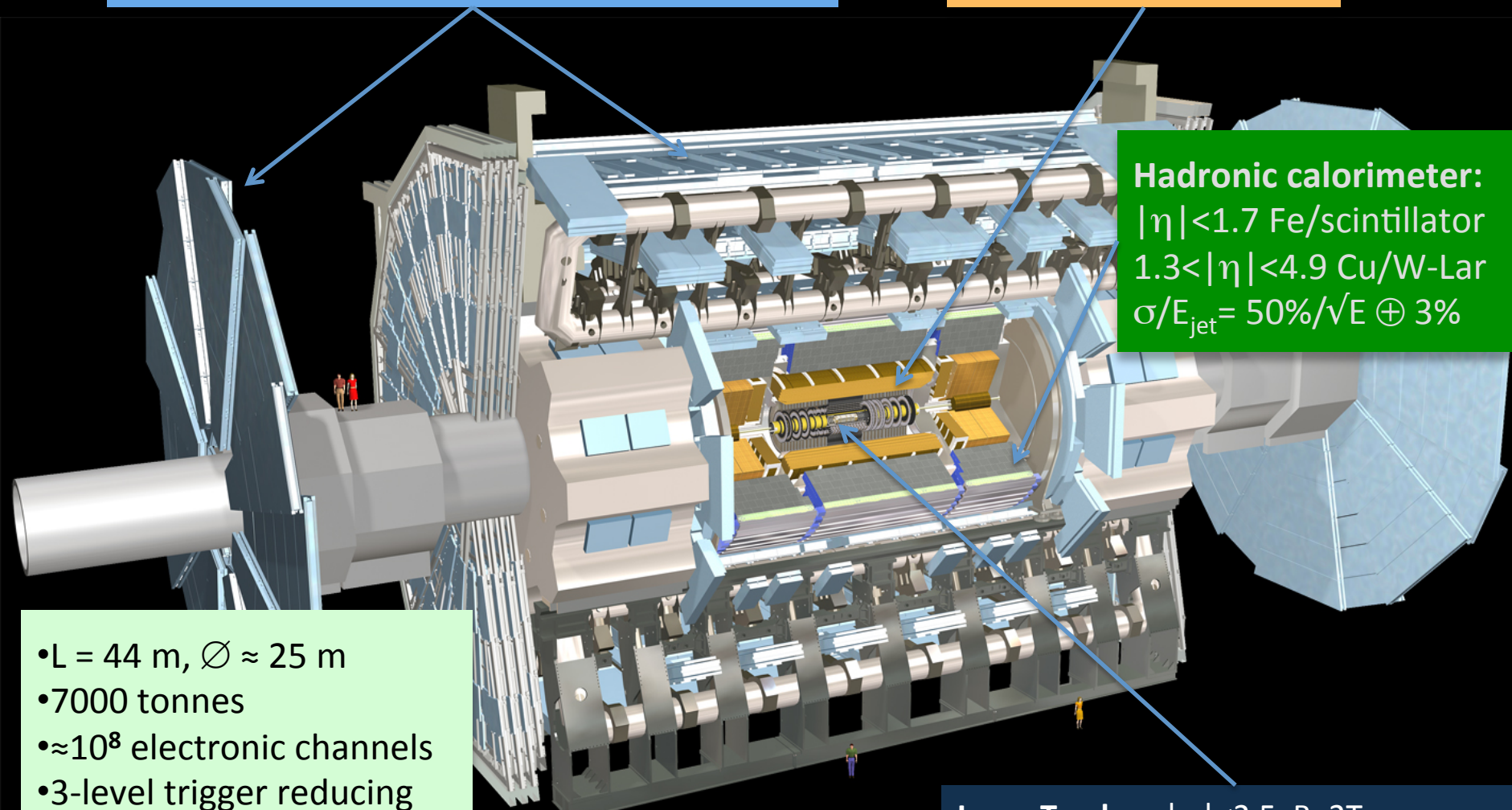
Air-core toroids and gas-based muon chambers
 $\sigma/p_T = 2\% @ 50\text{GeV}$ to $10\% @ 1\text{TeV}$ (ID+MS)

EM calorimeter: $|\eta| < 3.2$

Pb-LAr Accordion
 $\sigma/E = 10\%/\sqrt{E} \oplus 0.7\%$

Hadronic calorimeter:

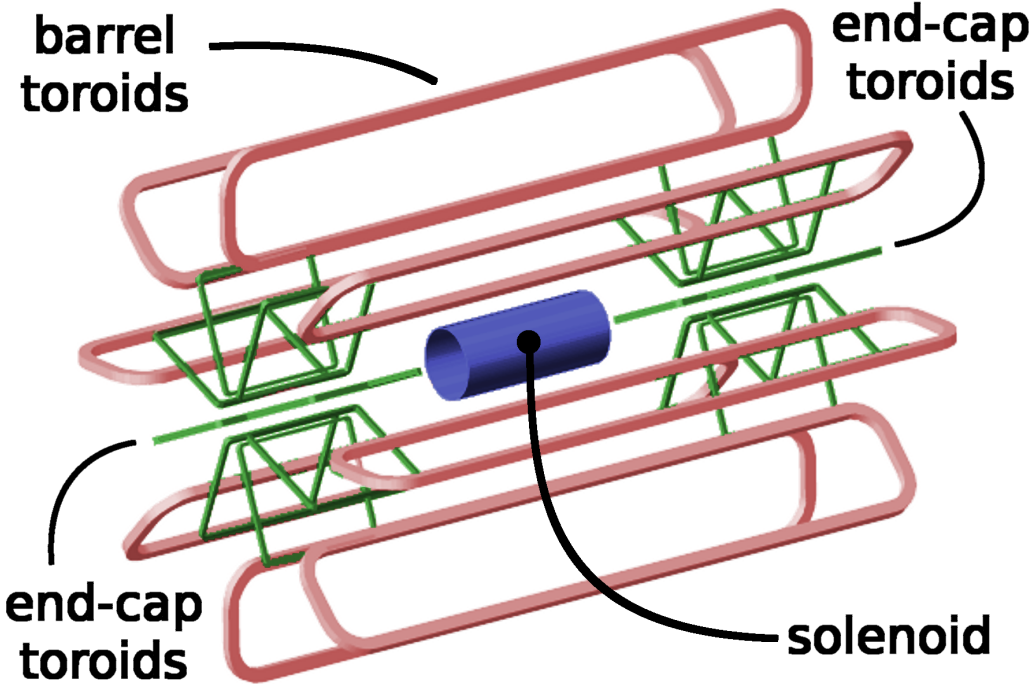
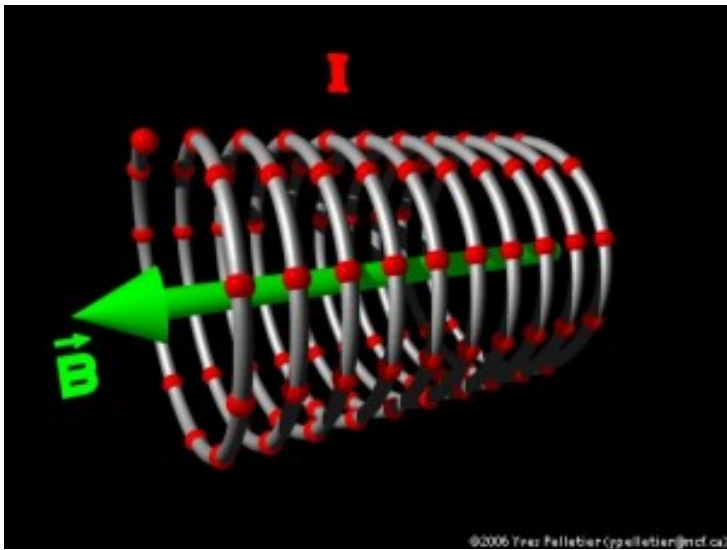
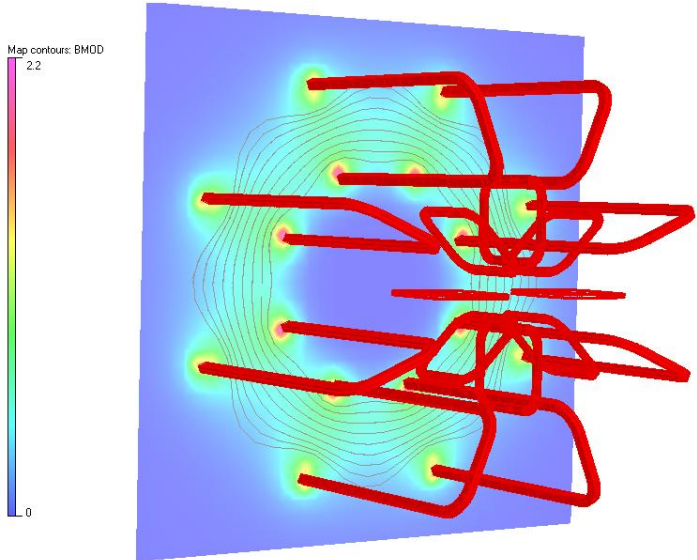
$|\eta| < 1.7$ Fe/scintillator
 $1.3 < |\eta| < 4.9$ Cu/W-Lar
 $\sigma/E_{jet} = 50\%/\sqrt{E} \oplus 3\%$



- $L = 44\text{ m}, \varnothing \approx 25\text{ m}$
- 7000 tonnes
- $\approx 10^8$ electronic channels
- 3-level trigger reducing 40 MHz collision rate to 200 Hz of events to tape

Inner Tracker: $|\eta| < 2.5, B=2\text{T}$
Si pixels/strips and Trans. Rad. Det.
 $\sigma/p_T = 0.05\% p_T(\text{GeV}) \oplus 1\%$

Sistema de ímanes de ATLAS



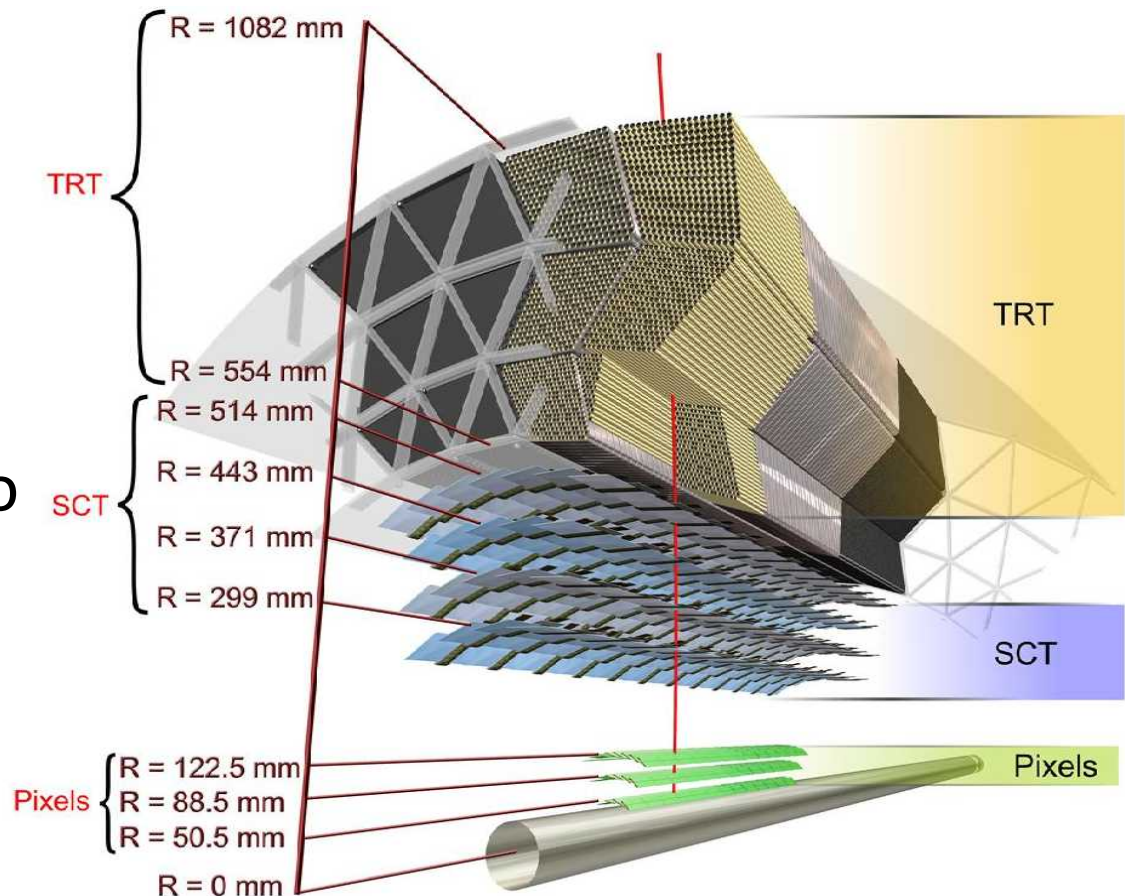
- Campos magnéticos muito intensos (2T, 4T max) gerados por ímanes supercondutores
- Curvam as partículas carregadas através da força de Lorenz:

$$\mathbf{F} = \mathbf{v} \times \mathbf{B}$$

Detetores de traços

Duas tecnologias

- detetores de Silício:
 - píxeis na região central
 - faixas na região intermédia
- detetores de radiação de transição, em gás
 - na região mais externa

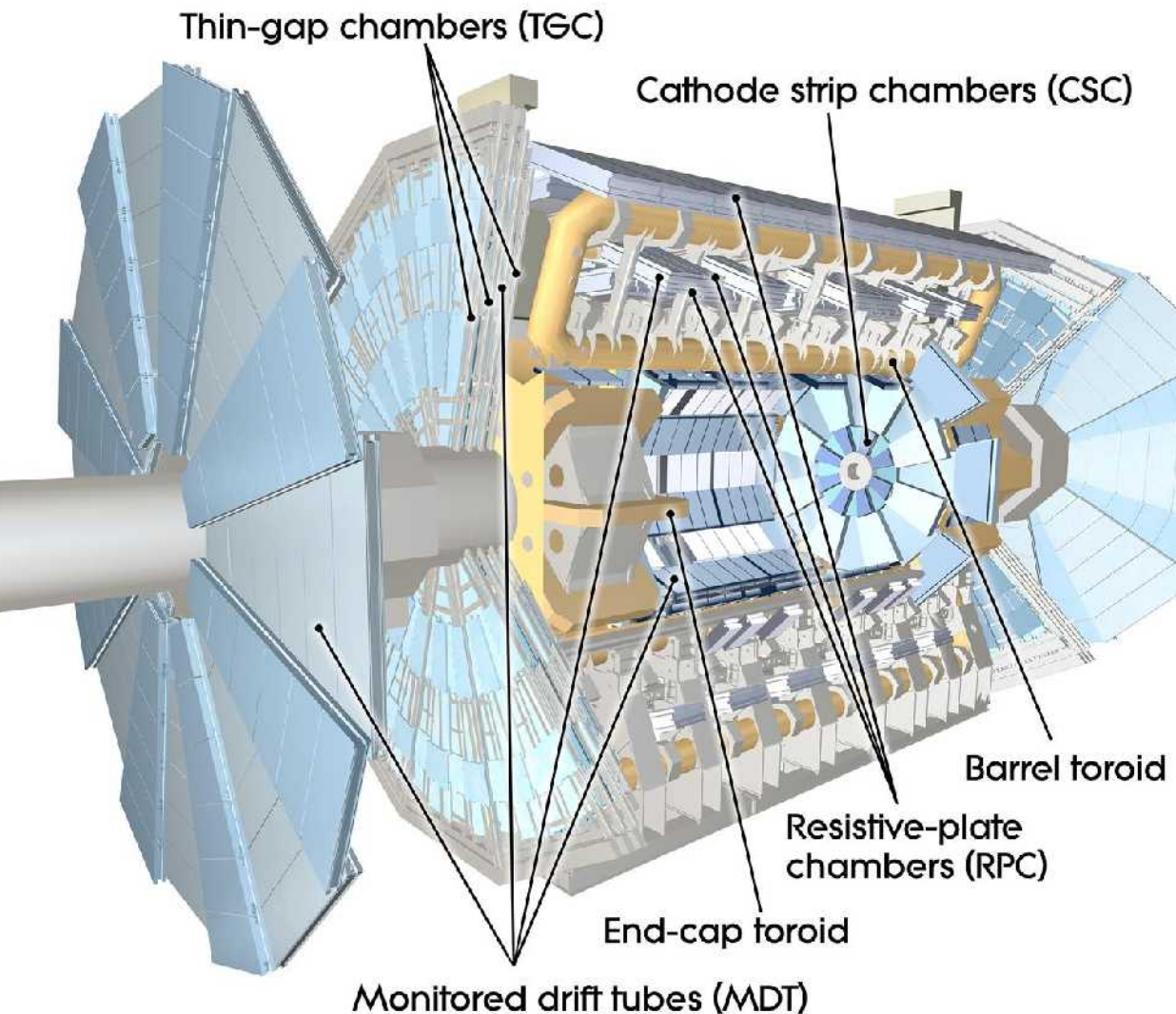


Desempenho:

- resolução no momento das partículas:

$$\sigma/pT = 0.05\% \text{ } pT \text{ (GeV)} \oplus 1\%$$

Detetores de muões



Quatro tecnologias

- Uns mais rápidos (RPC, CSC), para trigger
- Outros mais precisos (MDT, TGC) para a medição da trajetória
- Uns para a região central (MDT, RPC),
- Outros mais resistentes à radiação (CSC, TGC) para a região a ângulos mais baixos

RPC: resistive plate chamber

CSC: cathode strip chamber

MDT: monitored drift tubes

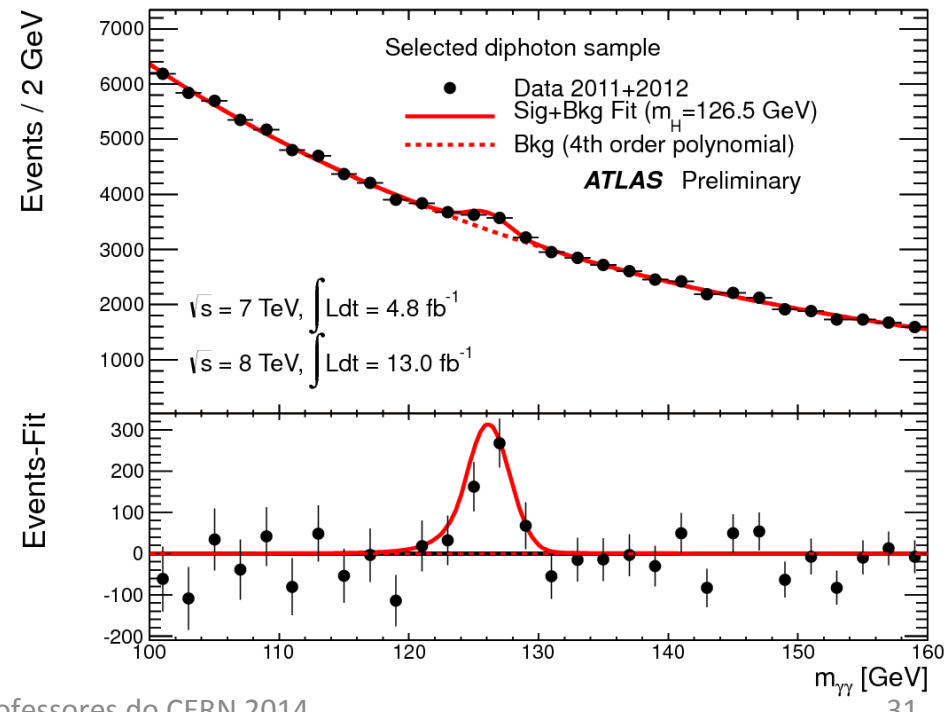
TGC: thin gap chamber

Calorímetros: requisitos de desempenho

- Medem a energia das partículas por amostragem e ionização/excitação do material
- Apenas muões e neutrinos não são parados
- Electrões e fotões desenvolvem cascatas mais pequenas: calorímetros dedicados, com granularidade mais fina

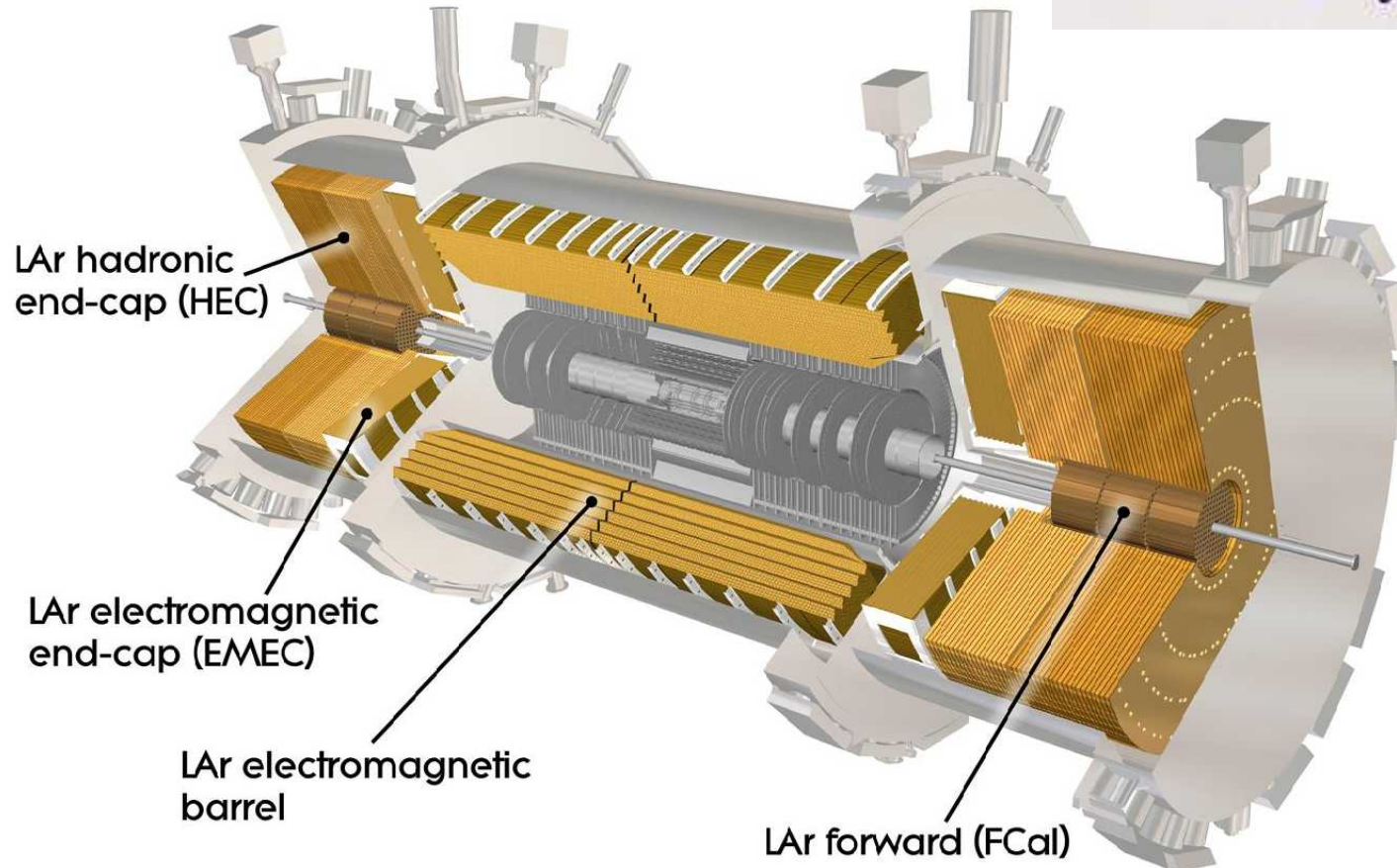
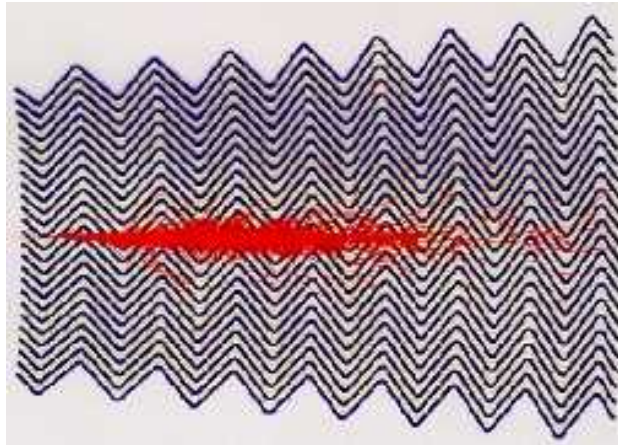
Requisitos

- Resolução em massa de 1%
 $H \rightarrow \gamma\gamma \Rightarrow$ precisão em energia dos γ 's de 0.1%
- Resolução de energia dos jactos de 10%
- Precisão na escala de energia dos jactos de 1%

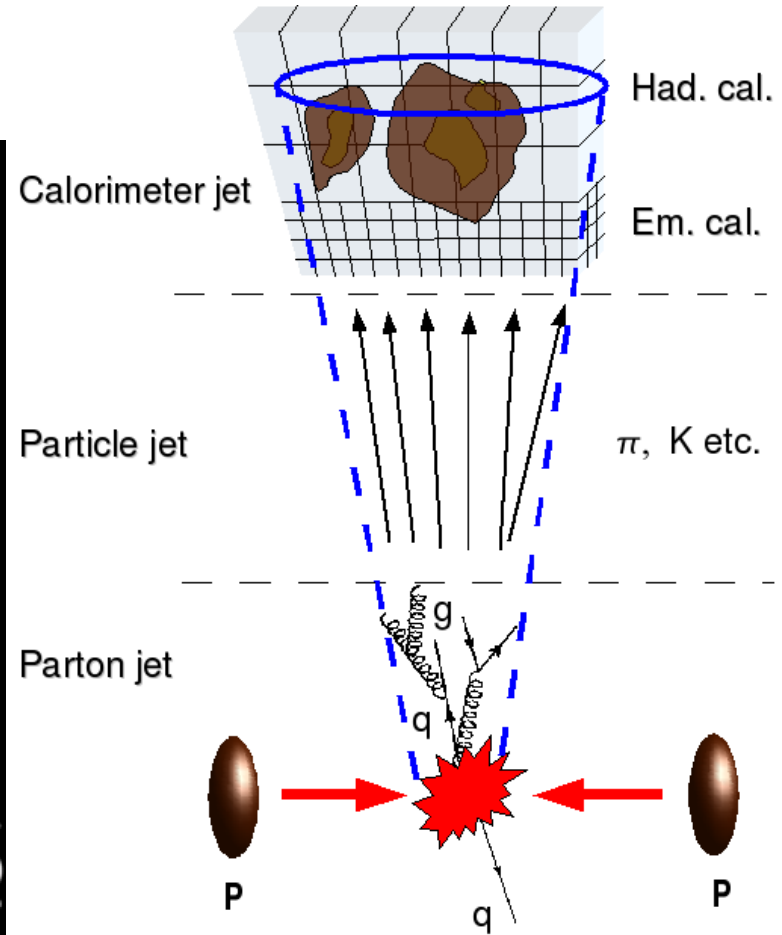
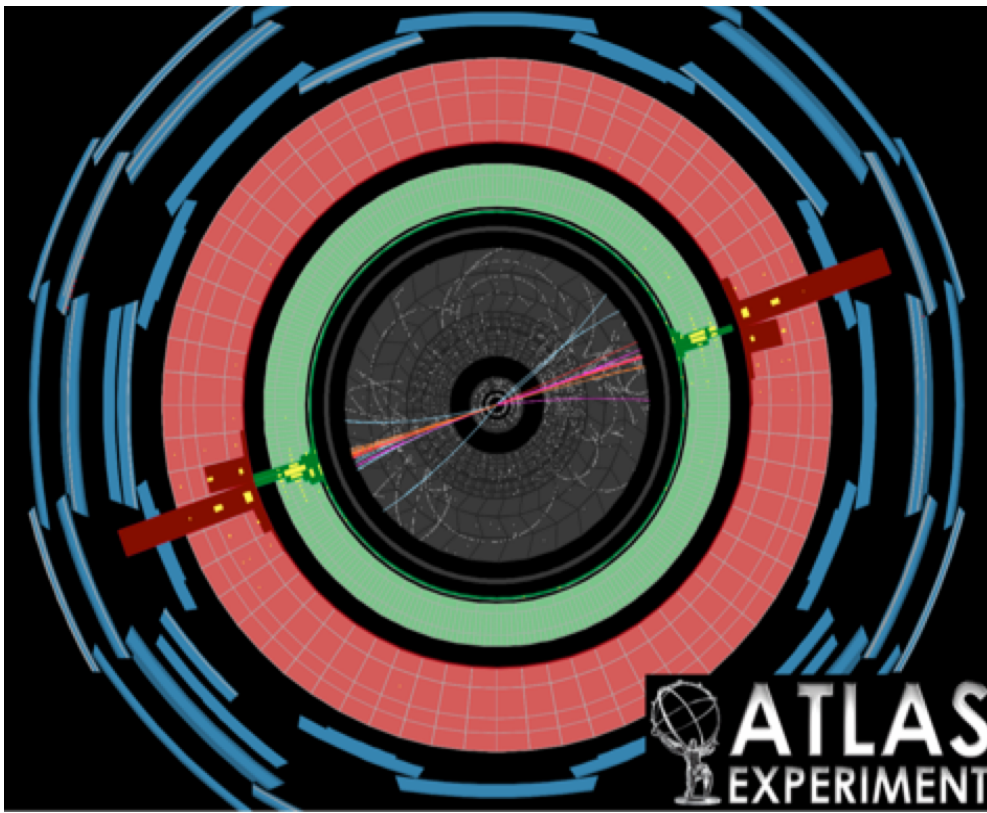


Calorímetros de Árgon Líquido

EM calorimeter: $|\eta| < 3.2$
Pb-LAr Accordion
 $\sigma/E = 10\%/\sqrt{E} \oplus 0.7\%$

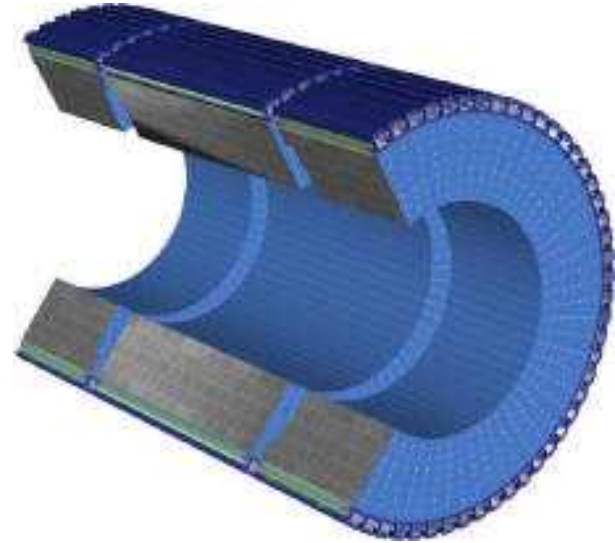
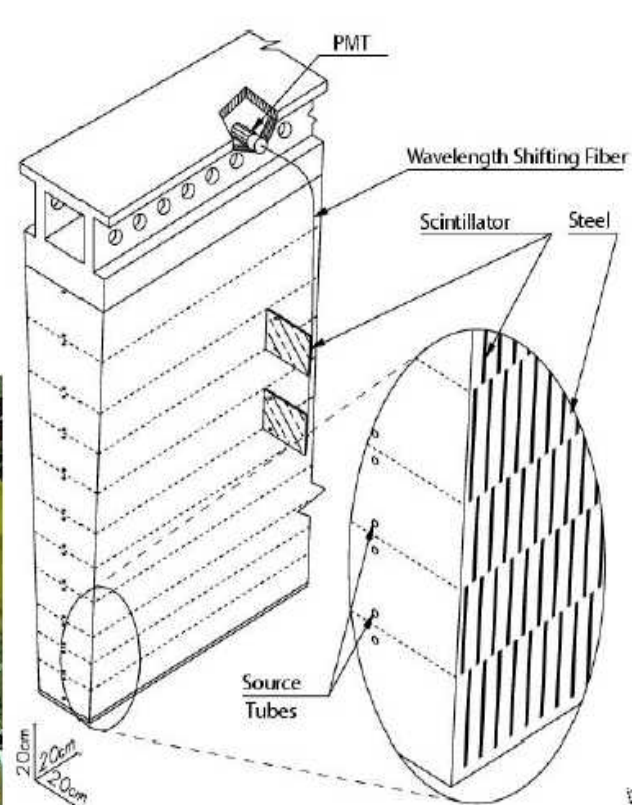


Jactos hadrónicos



- Jactos são as assinaturas experimentais dos quarks e gluões
- Feixes colimados de hadrões que depositam energia nos calorímetros (hadrónico e electromagnético)
- Importantes para muitos estudos diferentes, desde QCD até Higgs e física nova (partículas pesadas a decaír para quarks)

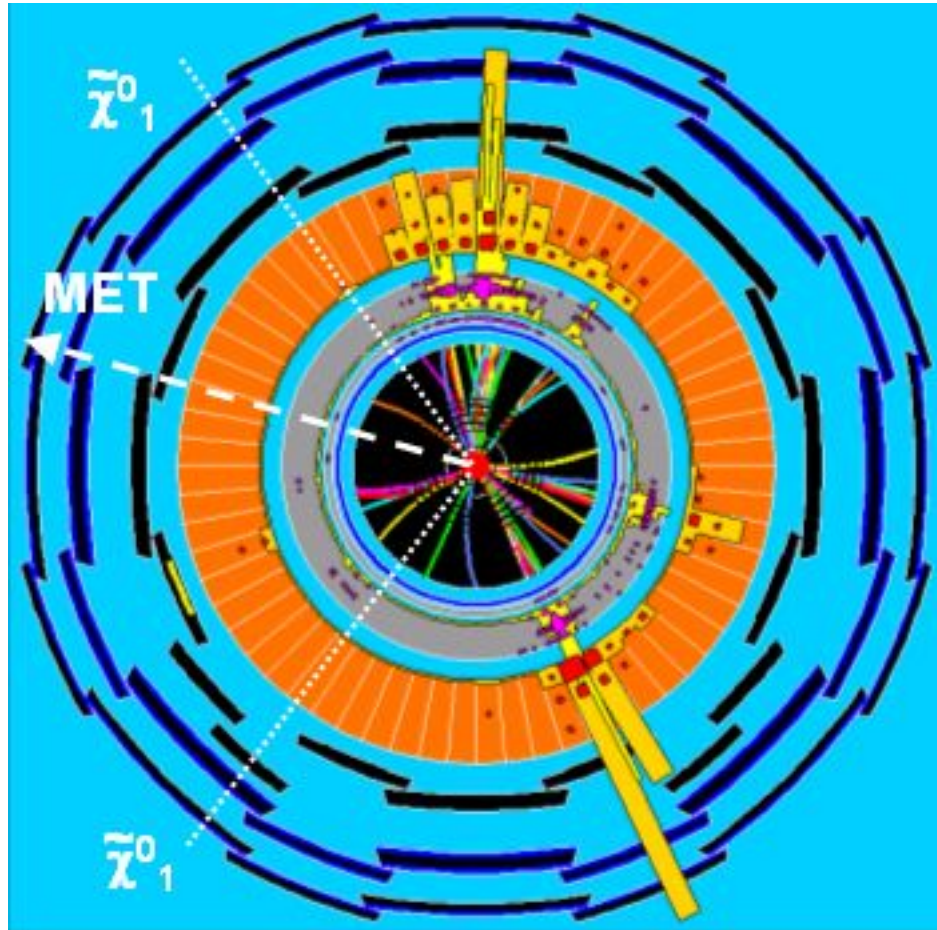
O calorímetro de telhas (TileCal)



- Calorímetro hadrónico da região central
 - matriz de aço com telhas cintilantes
 - luz transportada por fibra ópticas (deslocadoras do comprimento de onda)
 - cada célula lida por 2 fotomultiplicadores

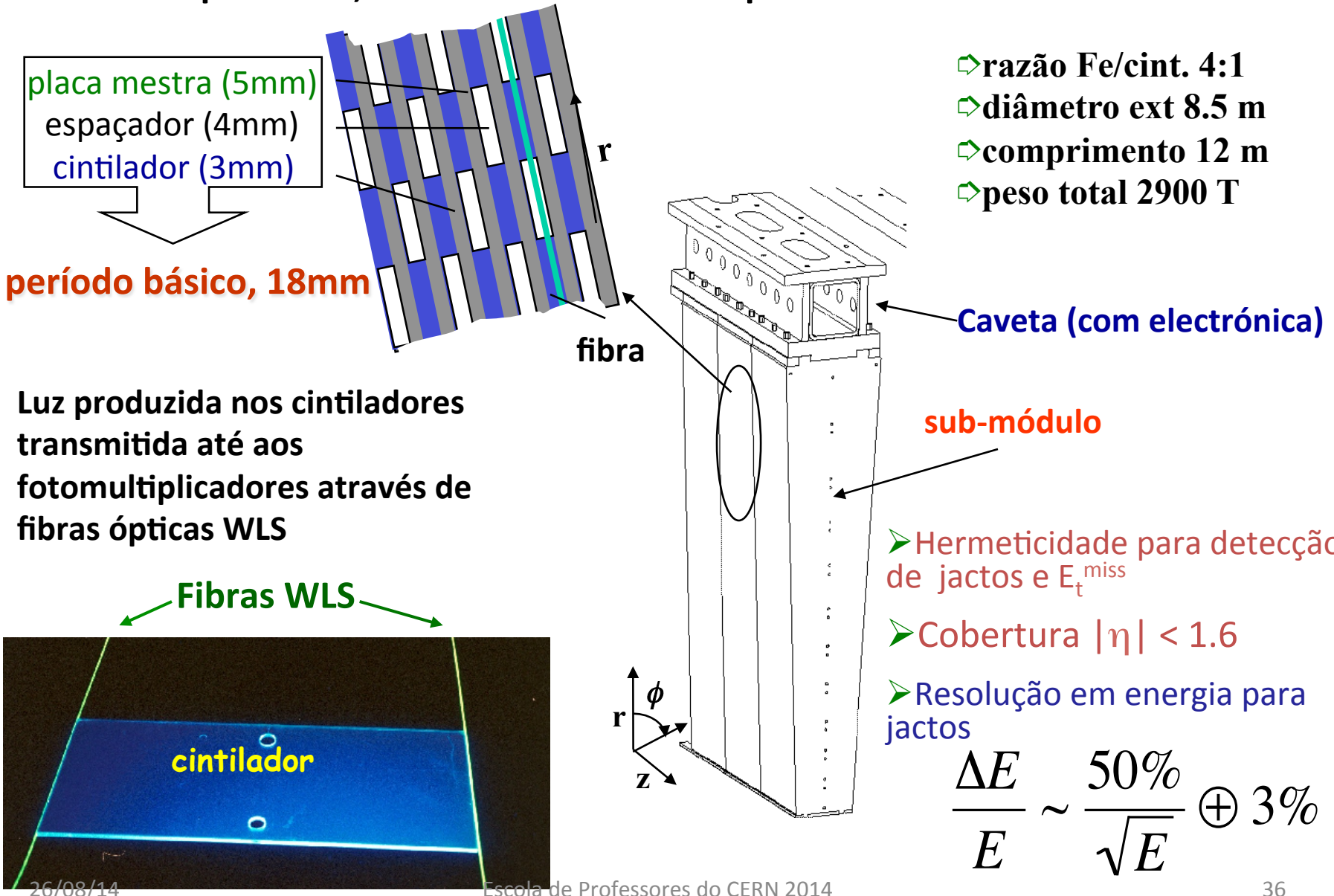
Para que serve o TileCal?

- Medir hadrões com boa resolução
 - espessura suficiente
 - boa amostragem, em três camadas
- Contribuir para a medição de muões
 - Estão no meio de hadrões ou isolados ?
- “Medir” neutrinos ou outras partículas com
 - interação muito fraca
 - A partir da energia “em falta”
- Hermeticidade, não deixar ângulos “mortos”

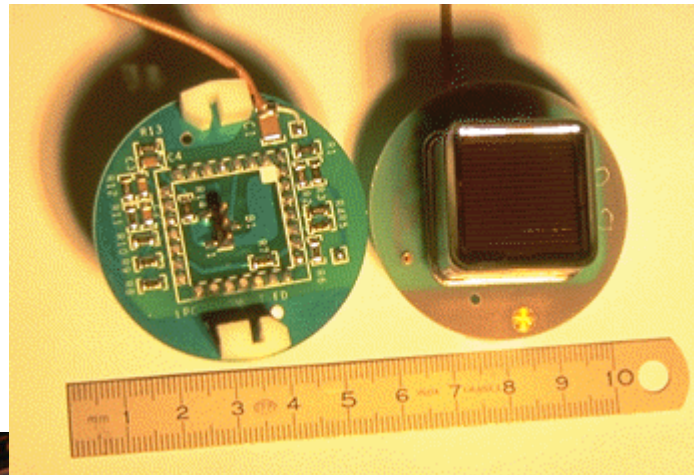
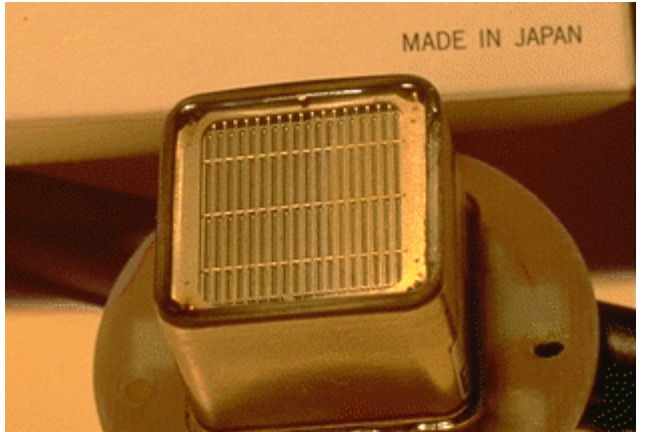


Estrutura e princípio de funcionamento do calorímetro Tilecal

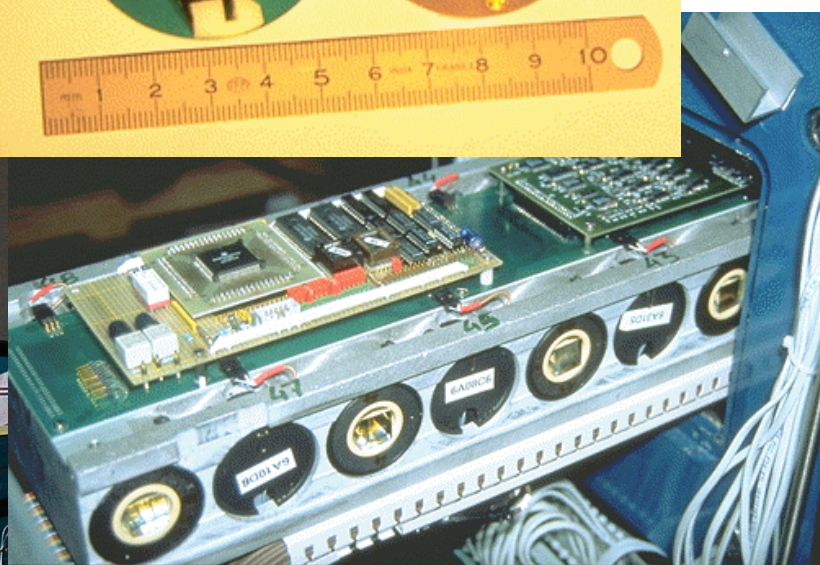
Estrutura periódica, ferro e cintiladores de plástico



Fotodetectores e electrónica do Tilecal



Fotomultiplicadores colectam a luz transmitida pelas fibras ópticas WLS

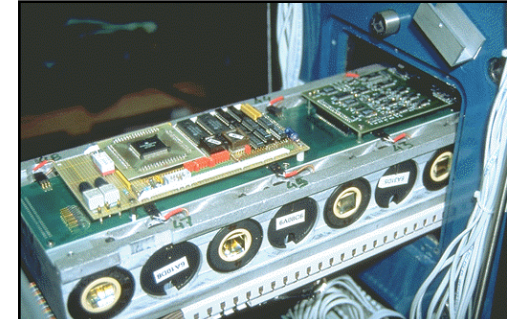


Electrónica dentro de “gavetas” digitaliza os sinais e envia-os para computadores.

Inclui fontes de alimentação (LV), distribuidor de alta tensão (HV), arrefecimento a água – controlo e monitorização pelo DCS



Etapas do projecto Tilecal (1993-2011)

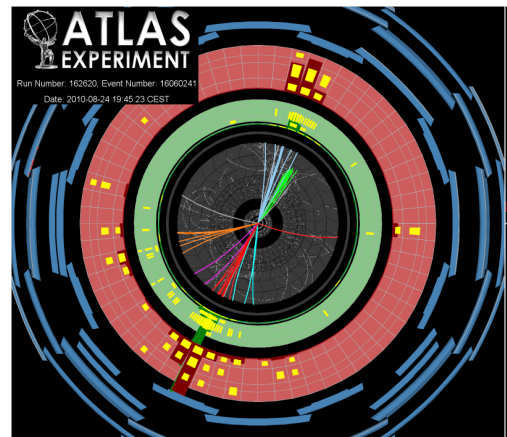
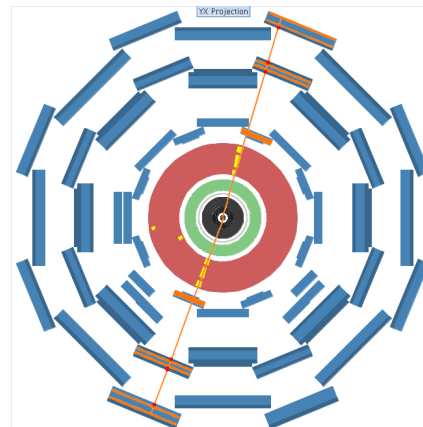
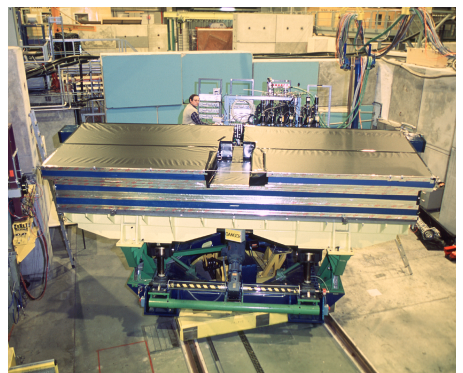


1993-1995 R&D-protótipos

1996-2002: construção

1999-2002 Instrumentação

1999-2004: Electrónica



2002-2004: calibrações

2004-2006 Instalação

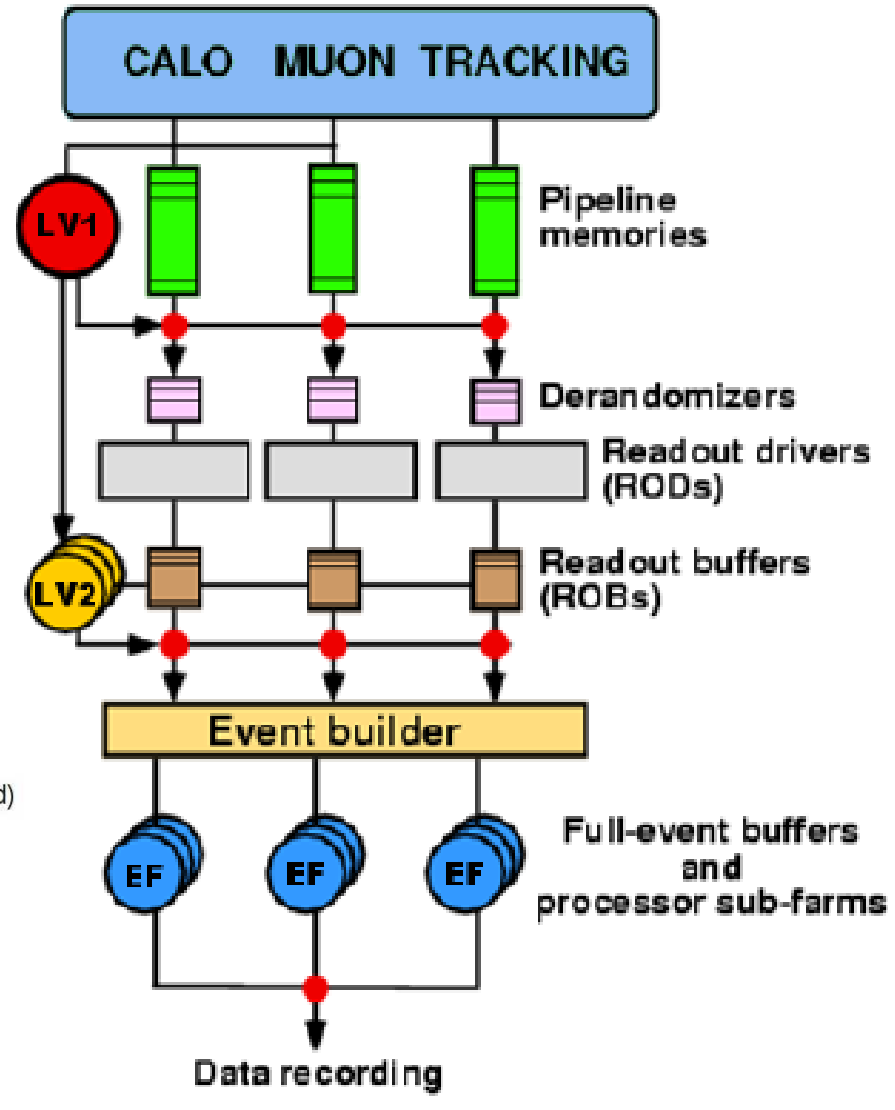
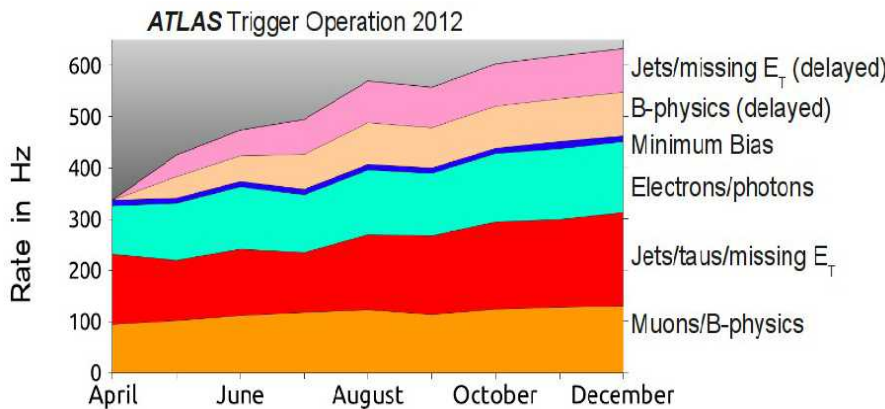
2007-2009 certificação
(raios cósmicos)

2009--→: aquisição/análise
dados LHC

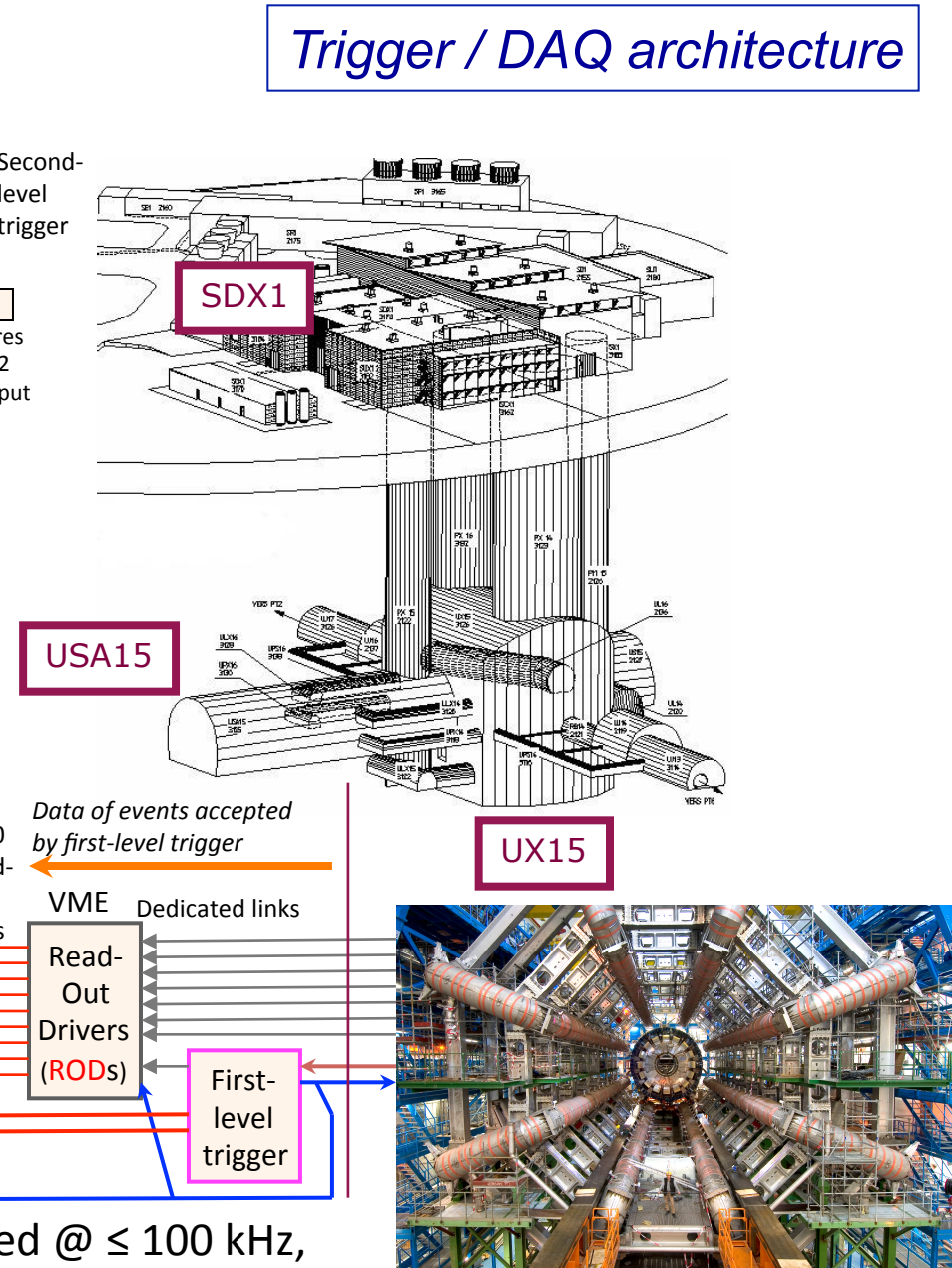
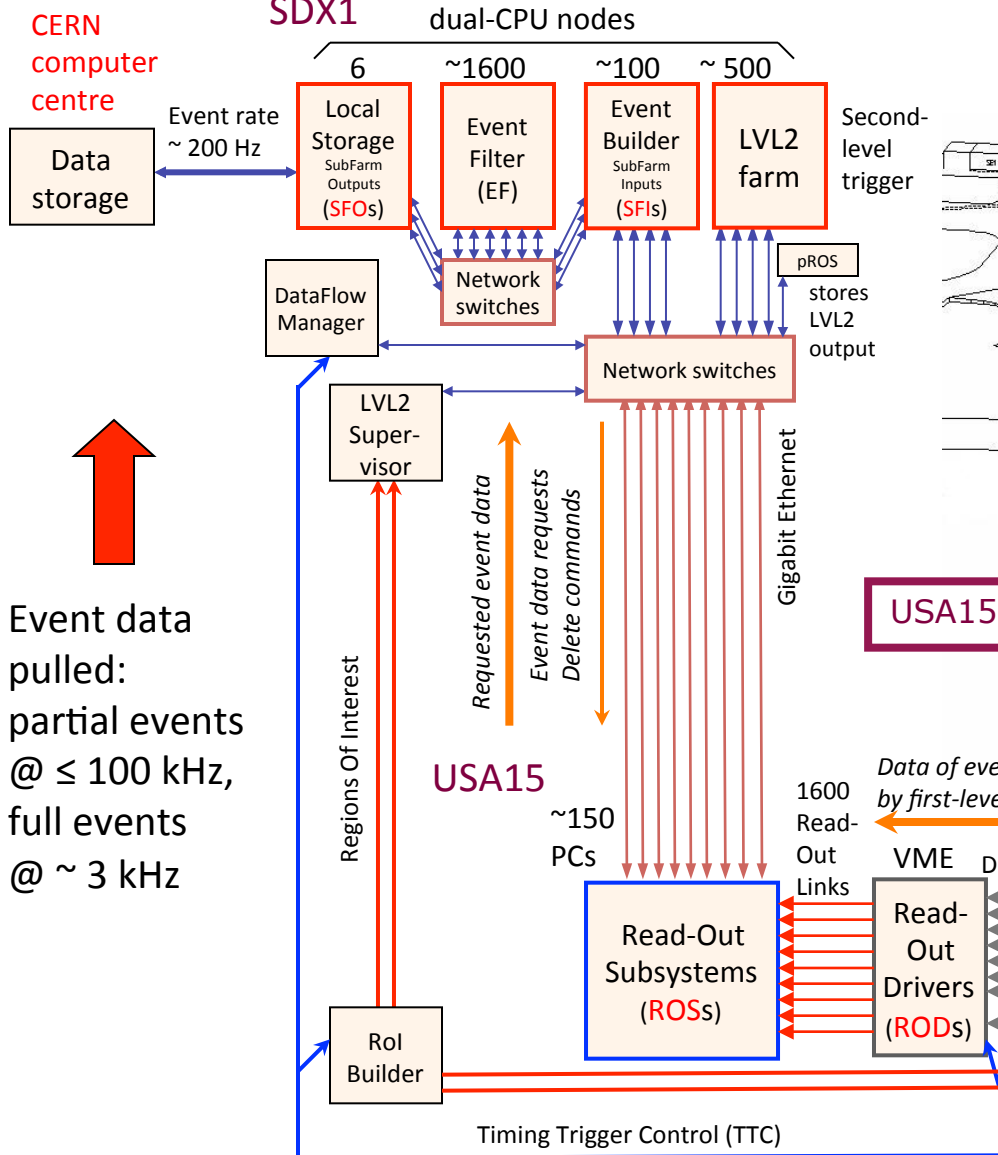
Um longo percurso para conseguir as excelentes características do Tilecal no ATLAS
Com participação portuguesa: LIP, FCUL, UMinho

Trigger: sistema de seleção em tempo real

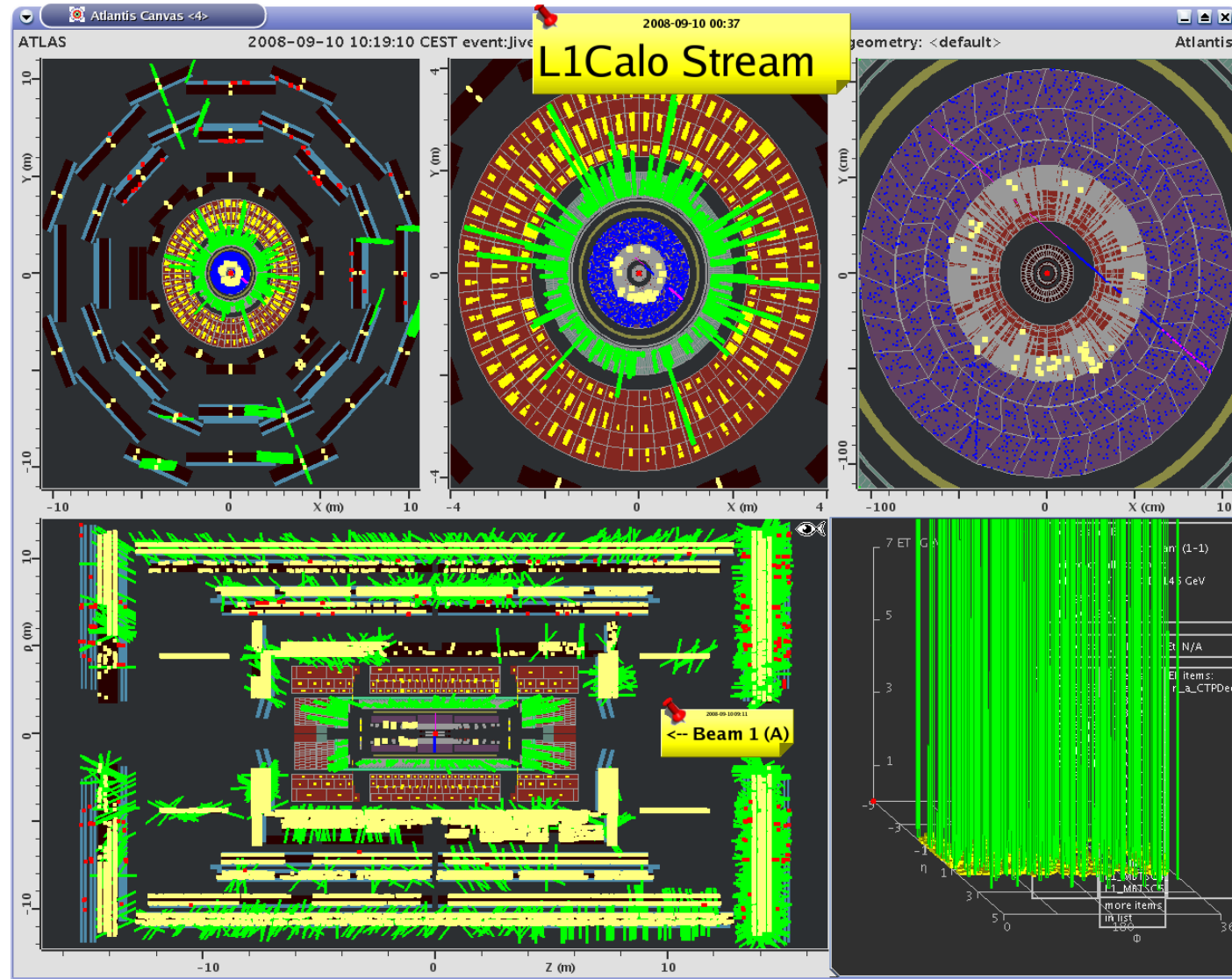
- 25 ns entre pacotes
 - (i.e. $\approx 7.5\text{m}$ à velocidade de c)
 - 40 milhões de cruzamentos de feixes por segundo
 - Cada colisão daria $\approx 1.5\text{Mb}$
 - $\Rightarrow 60\text{Tb}$ por segundo
- Impossível guardar todos os dados
 - E desnecessário!
 - A maioria das colisões é sem interesse
- O sistema de trigger guarda apenas $\approx 10\text{-}15$ colisões por cada milhão
- Mas tem que decidir em $2,5\mu\text{s}!!$



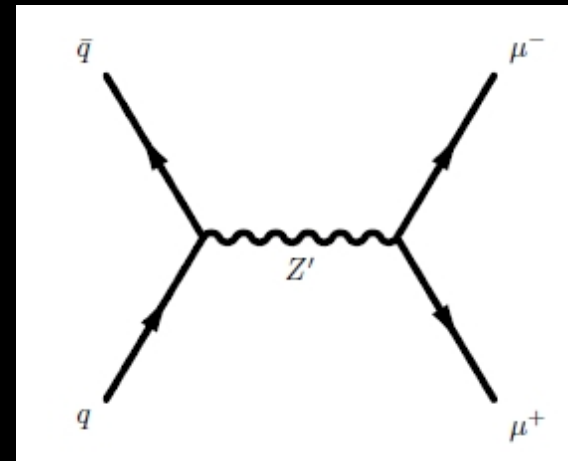
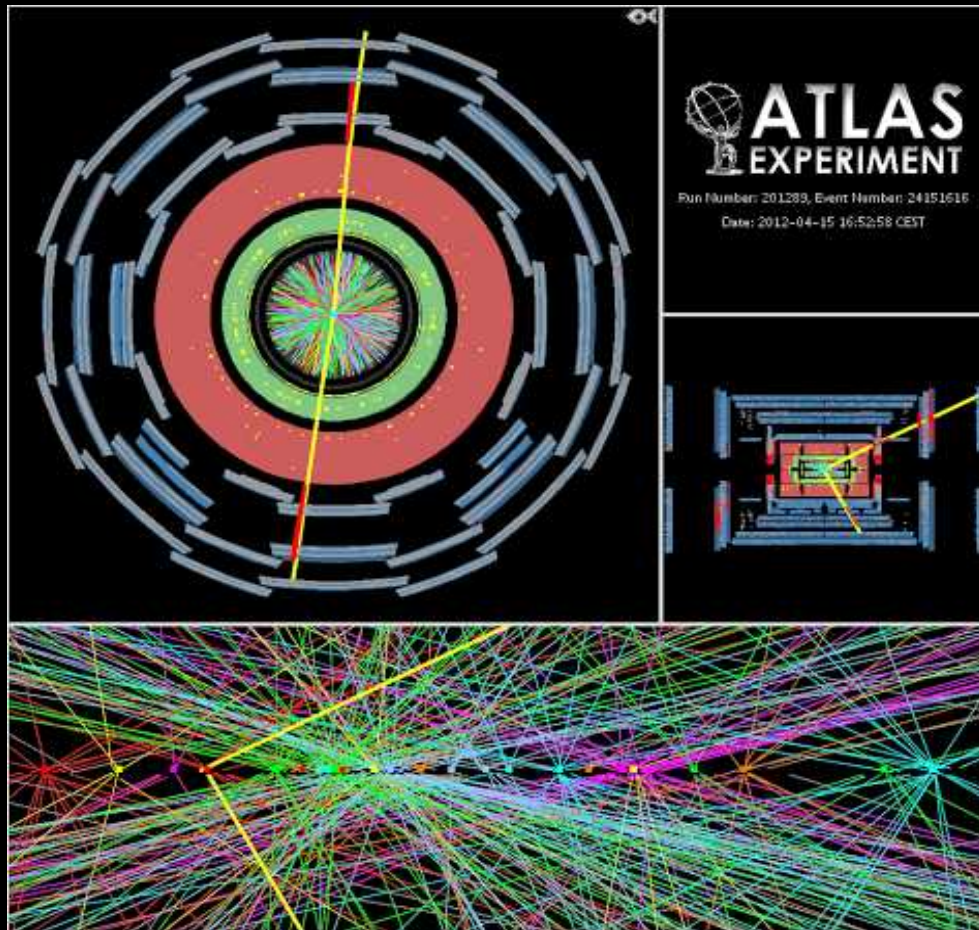
Trigger / DAQ architecture



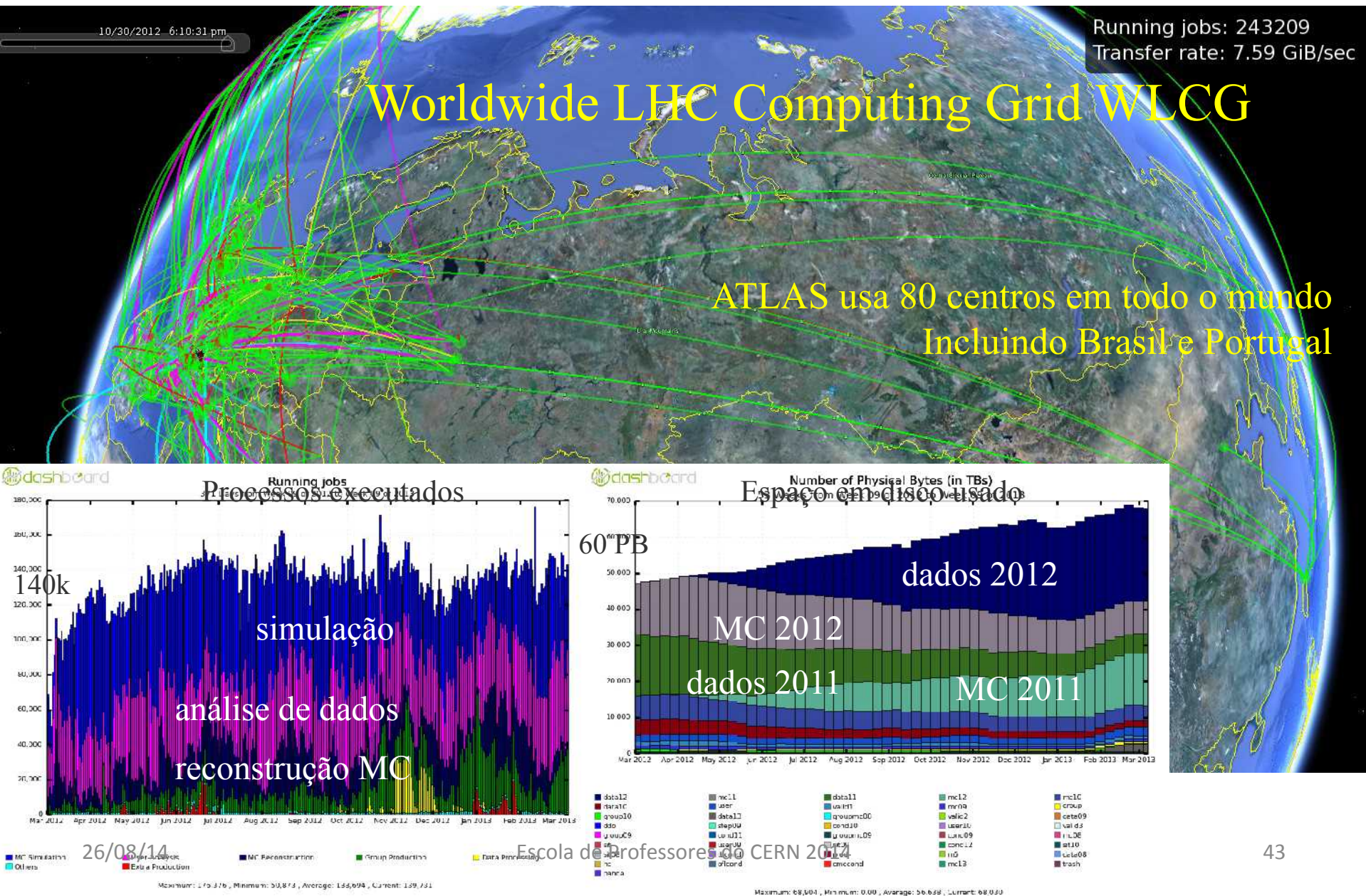
10 de Setembro 2008: primeiros feixes!



Do Detector até à Física



GRID: computação distribuída



A Colaboração ATLAS



3000 cientistas
(1000 estudantes)
33 países
177 universidades
e laboratórios

Pessoas e Instituições



LIP (Lisboa/Coimbra/Minho)

Em colaboração com:

FCUL

FCTUC

CFNUL

CEFITEC/UNL

IDMEC/IST

INESC

U. Minho

Programa de treino de engenheiros AdI

Investigadores ~ 20

Estudantes ~ 15

Engenheiros, pessoal técnico (em Portugal) ~ 10

Engenheiros no CERN do programa ADI > 5

Essa é uma pequena amostra dos grupos de pesquisadores participando das diferentes experiências

Brasileiros no LHC

ATLAS



Instituições : UFRJ-COPPE, UFJF, USP, UFSJ (UFBA,
CEFET-RJ, UFF)

CMS



Instituições : Unesp, UERJ, CBPF
(Unicamp,UFABC)

ALICE



Instituições :
Unicamp & USP

LHCb



Escola de Professores do CERN 2014

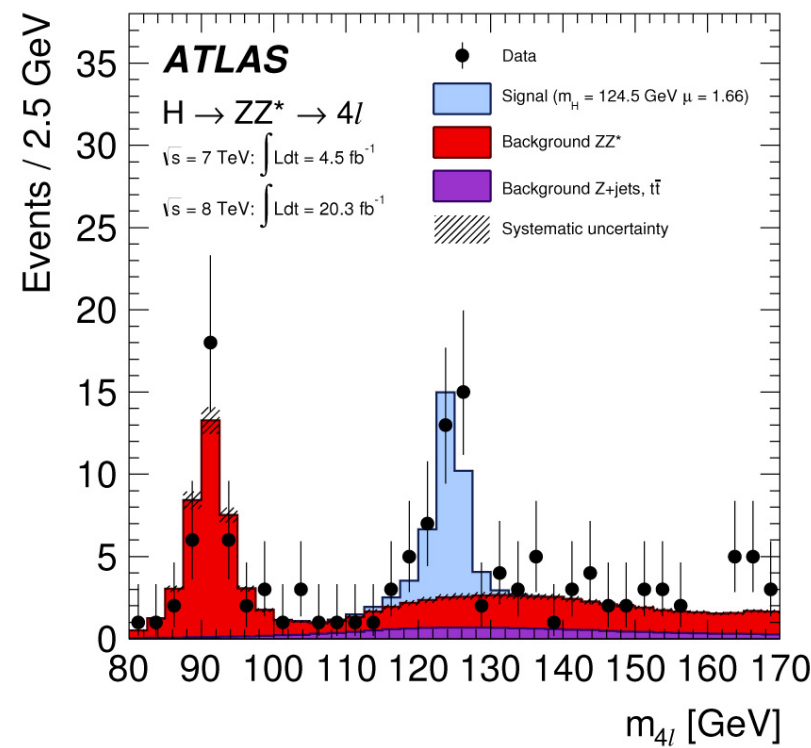
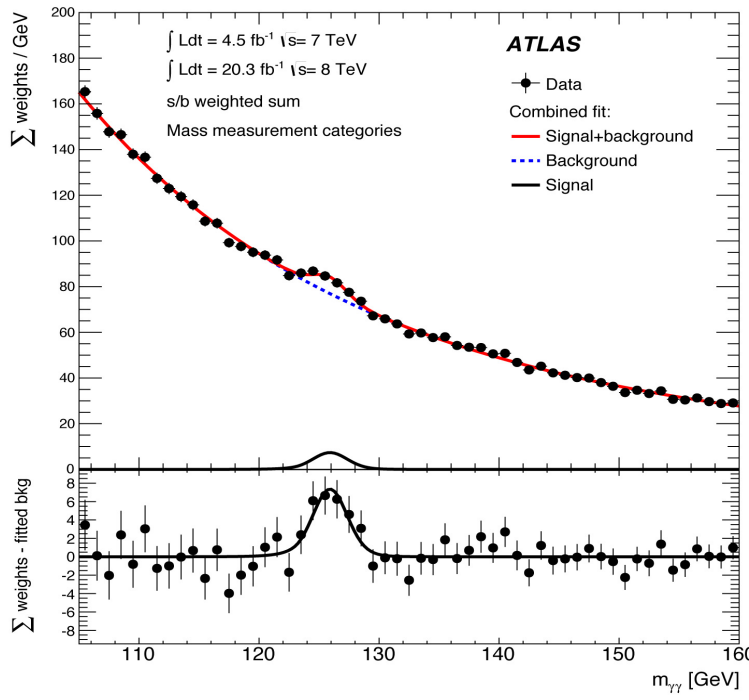
Instituições : CBPF, UFRJ, PUC-Rio

Massa do Higgs

<http://arxiv.org/abs/1406.3827>

- A massa do bosão de Higgs era até há pouco o totalmente desconhecida
- Combinando dois canais, conseguimos medi-la com $\approx 0.3\%$ de precisão
- A nossa medida é:

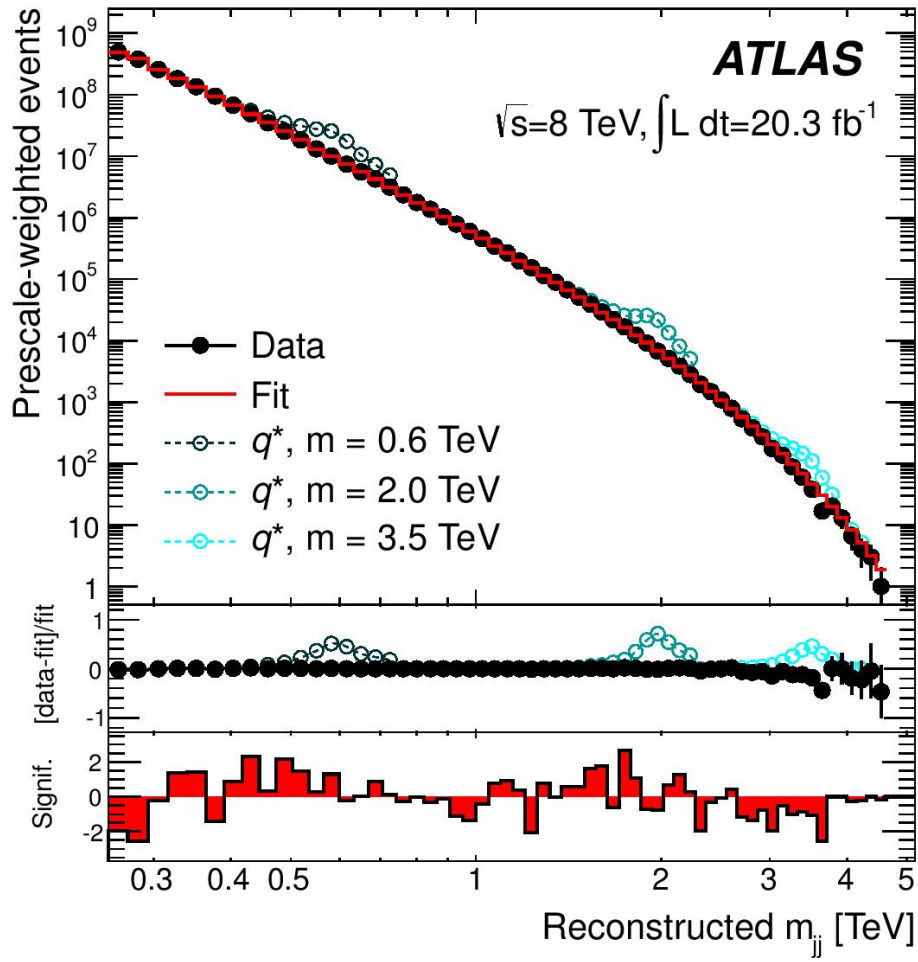
$$m_H = 125.36 \pm 0.37 \text{ (stat)} \pm 0.18 \text{ (syst)} \text{ GeV}$$



Procura da substrutura de quarks

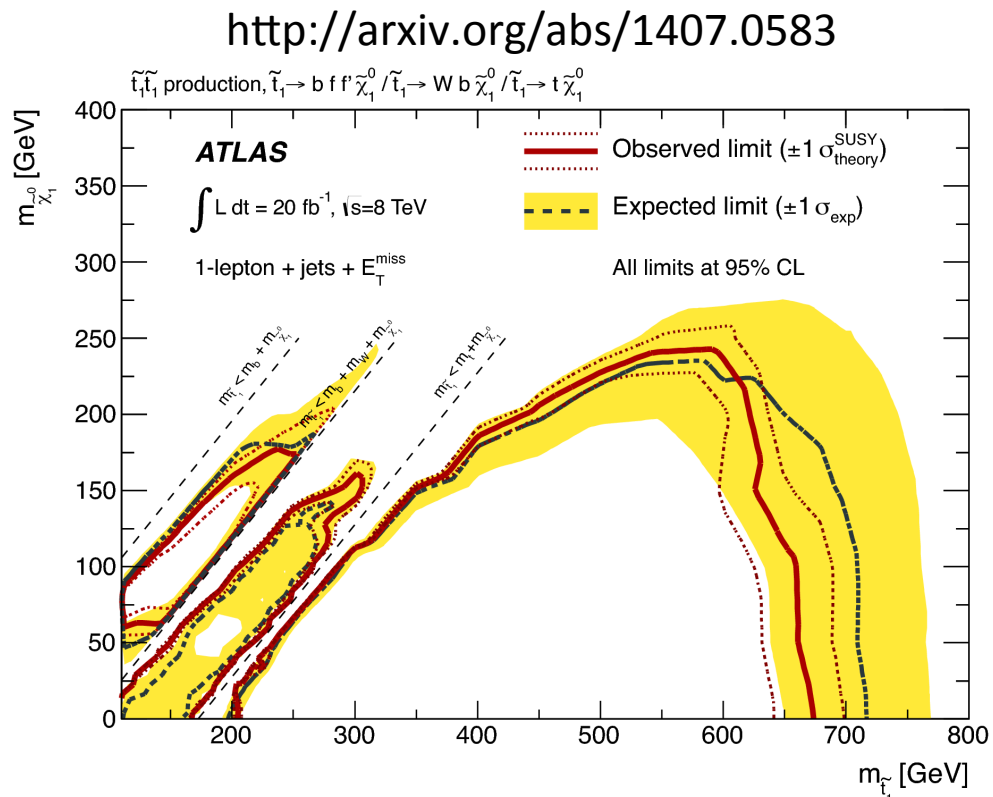
- Se os quarks não forem fundamentais, então podem ser **excitados a estados mais energéticos**
- Os seus constituintes seriam os mesmos, mas **a sua massa seria maior**
- O decaimento para quarks e gluões seria detectado como **dois jactos muito energéticos**
- Procuramos colisões com dois jactos muito energéticos e massa invariante elevada

<http://arxiv.org/abs/arXiv:1407.1376>



Procura de supersimetria

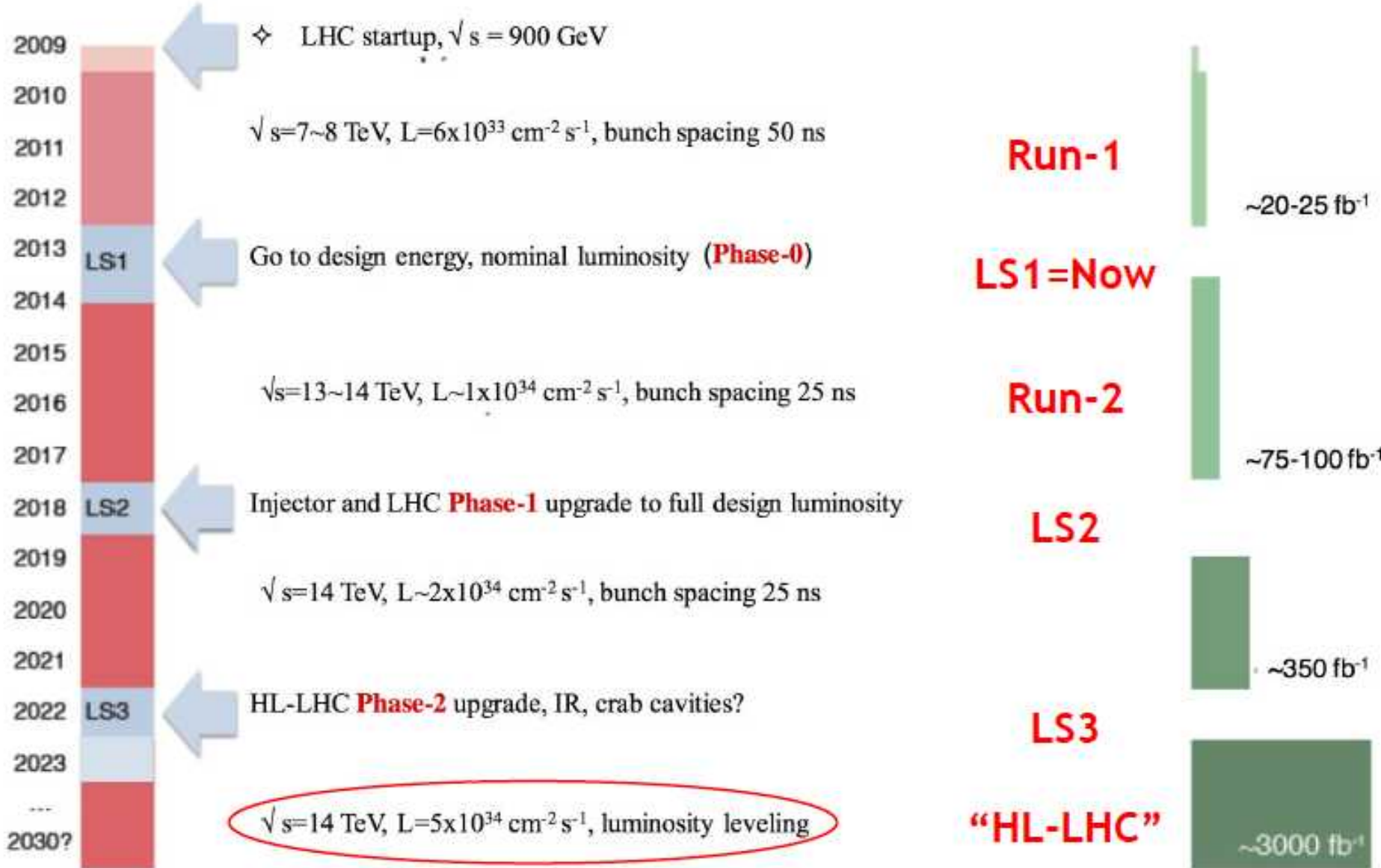
- A teoria mais popular que aumenta o Modelo Padrão (**supersimetria**) diz que as partículas que conhecemos têm parceiros mais pesados e com spin diferente em $\frac{1}{2}$
- A partícula mais leve nessa teoria ($\tilde{\chi}_1^0$) é um bom candidato para explicar a **origem da matéria escura**
- Procuramos canais específicos em que as partículas supersimétricas são produzidas
- Não encontrámos sinais de partículas supersimétricas, mas podemos dizer que, se existirem, a sua massa não estará em certos intervalos



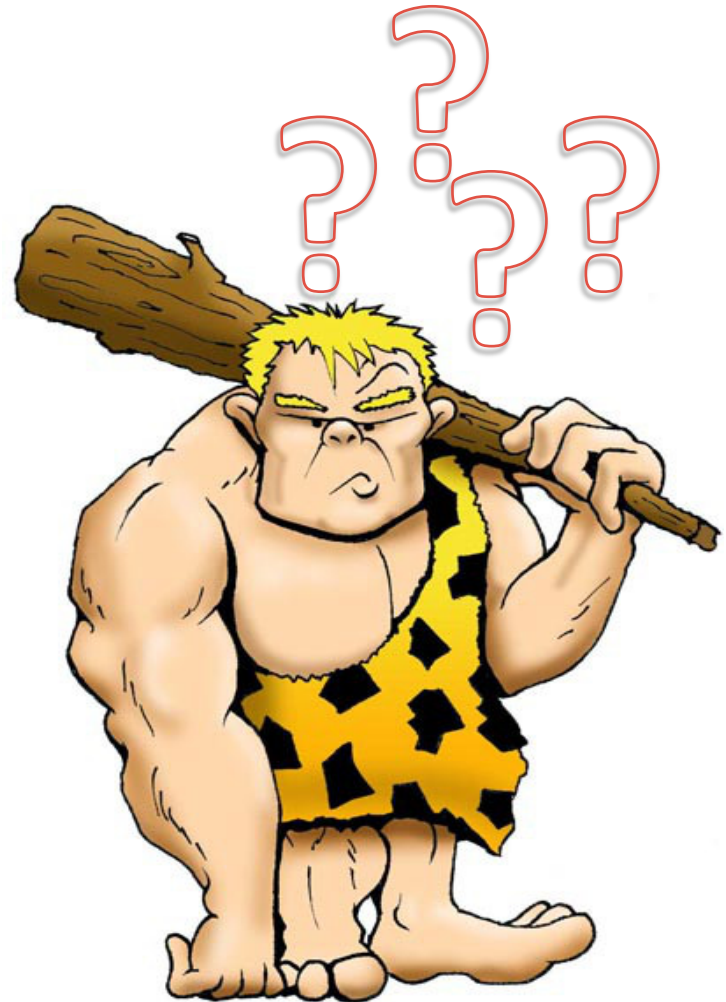
Conclusões:

- O LHC e ATLAS permitem explorar as ideias mais fundamentais sobre a constituição da matéria e das interacções
 - O Modelo Padrão está a ser sujeito a inúmeros testes
- A sua construção apenas foi possível com muita persistência e colaboração internacional
 - Portugal e Brasil participantes ativos
- Descoberta do bosão de Higgs de enorme importância, peça central do Modelo Padrão
 - Apenas um ou mais ? Modelos alternativos prevêm 5 ou mais Higgs, alguns carregados
- Nova Física para além do Modelo Padrão ?
 - Matéria escura? Energia Escura ?
 - Mini-Buracos negros? Gravitação quântica?
 - Qualquer coisa de completamente inesperado?

The landscape in the next decade(s)



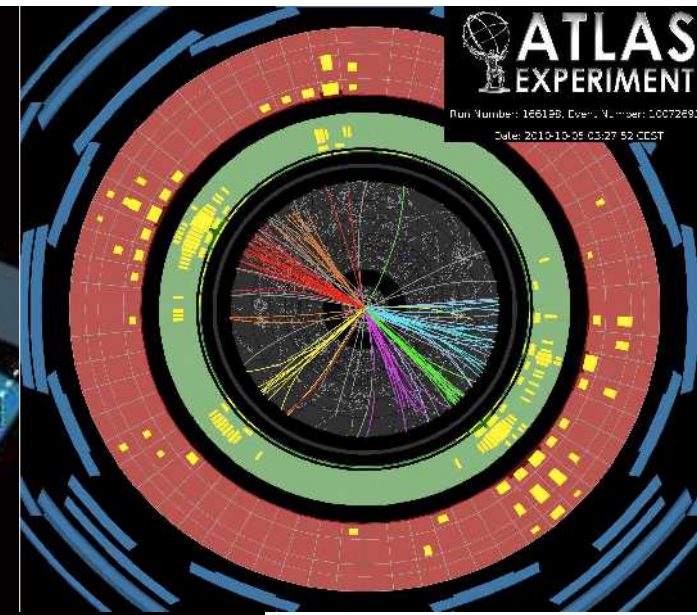
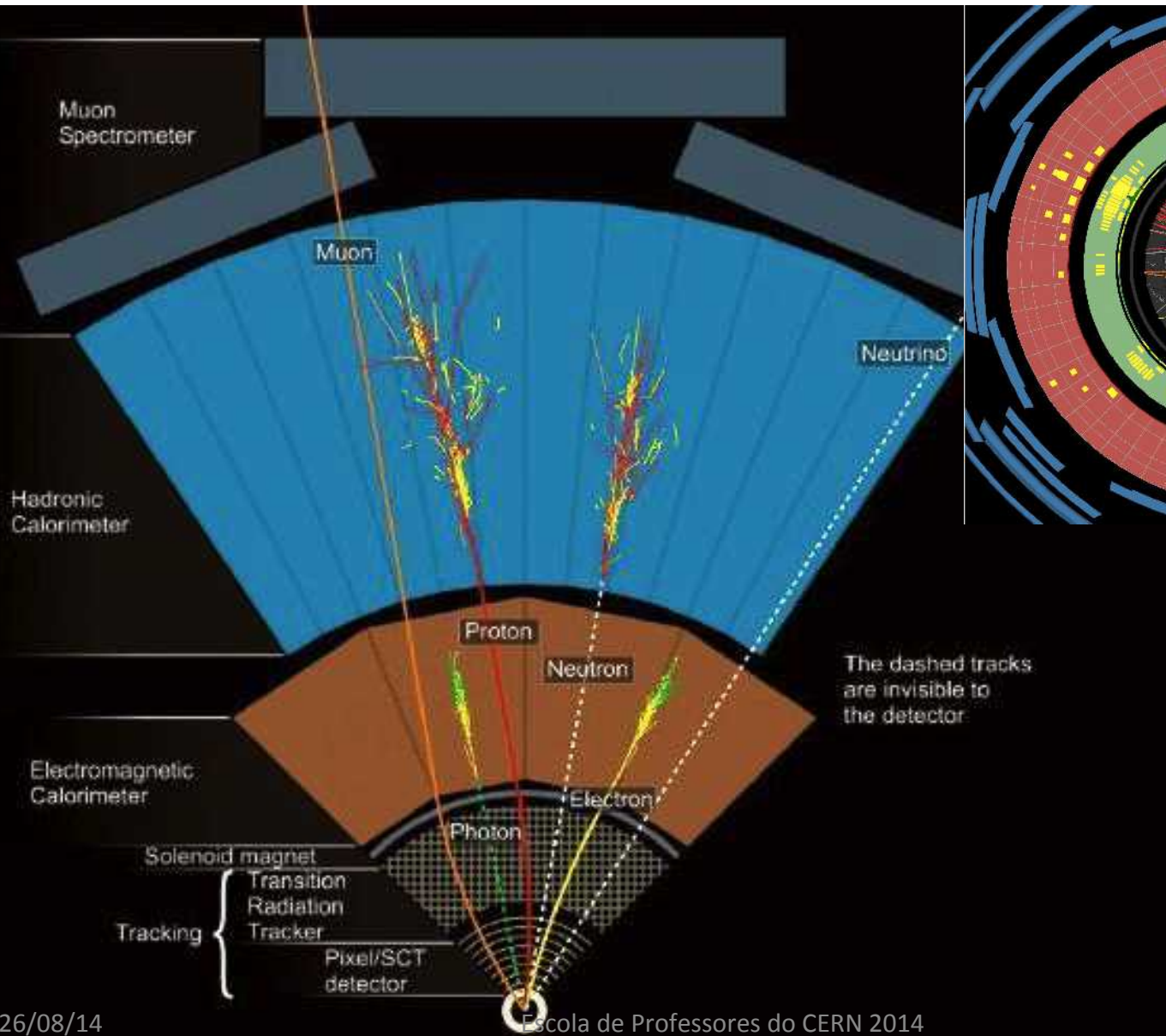
Perguntas?



Bonus slides



Como se detectam partículas



Instalação na caverna de ATLAS



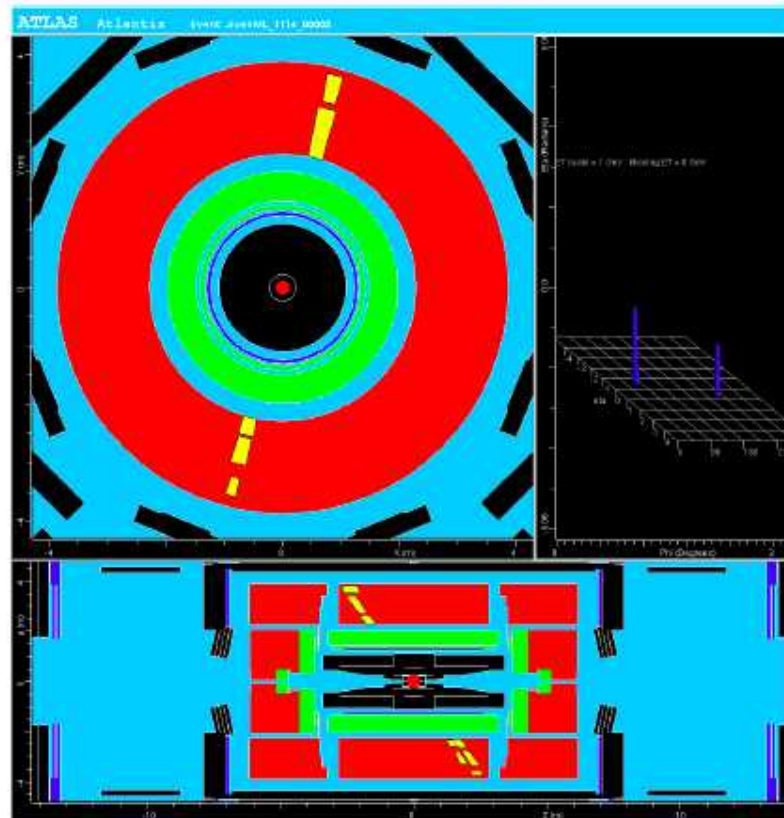
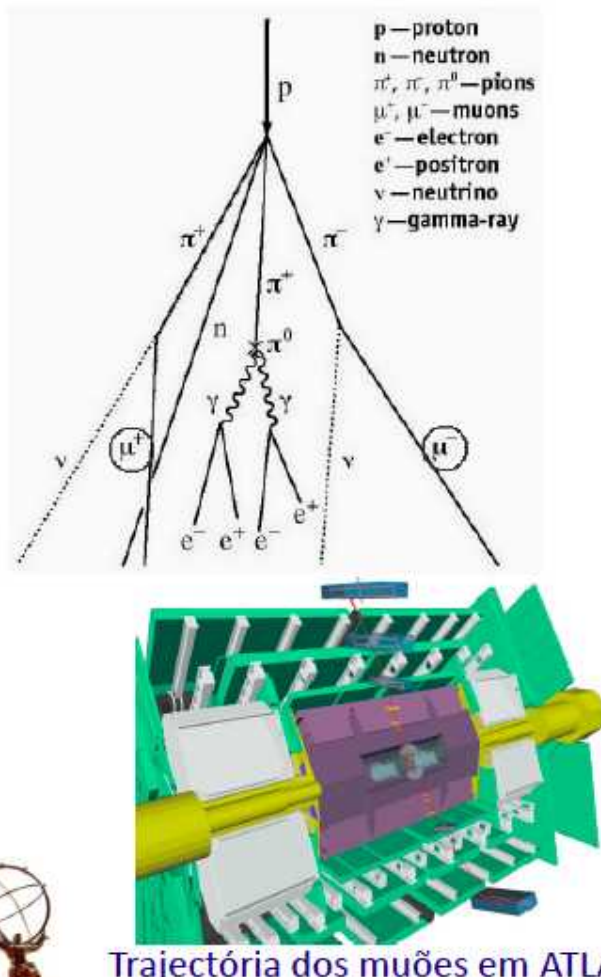
Instalação na caverna de ATLAS

Barril Central do TileCal, 2004



Antes do feixe estar pronto...

Certificação do Tilecal com muões cósmicos



Primeiros eventos em ATLAS

Nature, 2005



Trajectória dos muões em ATLAS

26/06/14

Escola de Professores do CERN 2014

Manutenção e operações

Tilecal Sistema de monitorização com laser

Tilecal “detector control system” (DCS)

Tilecal LVPS refurbishment

TDAQ Node2 (browser de histogramas)

TDAQ Level 2 Jet Trigger

ALFA “detector control system” (DCS)

Segurança na caverna de ATLAS

Desempenho

Energia transversa em falta (Missing Et)

Jactos

Física

W & Z secção eficaz e assimetria

Produção $W+j$ actos

Processos com di-bosões

Jactos & Iões pesados (Pb)

Quark Top: modelo padrão e nova física

Higgs $\rightarrow b\bar{b}$

Higgs $\rightarrow WW$

Divulgação

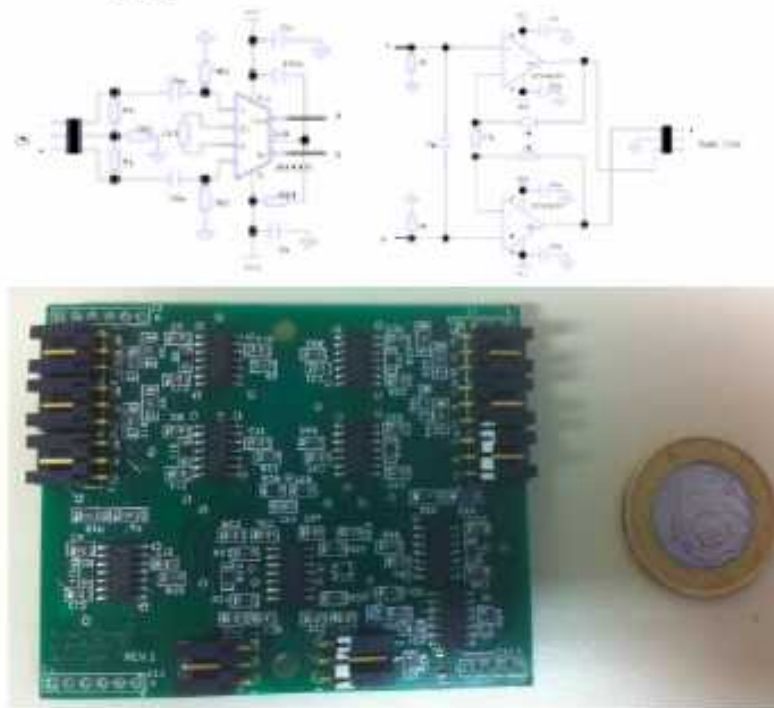
Computação

Forte participação do LIP na GRID

Participação Brasileira no ATLAS

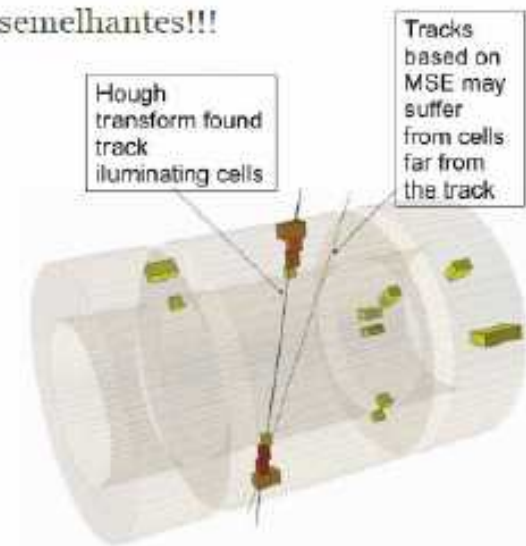
Hardware no Trigger nível 1/ TileCal

- A colaboração ATLAS/Brasil (na época somente na UFRJ) fez todo o desenho de uma placa usada dentro do calorímetro do ATLAS.
- A indústria brasileira foi usada pra construir as placas. Mais de 2000 placas de circuito foram entregues e integradas no resto da eletrônica do detector.
- Desenvolvimento, testes e integração feitos pelo, na época aluno de doutorado, Augusto Cerqueira (UFRJ) sob a orientação do professor J.M. Seixas, hoje coordenador do grupo de engenharia eletrônica da UFJF.

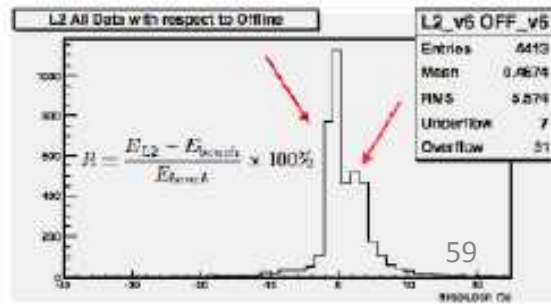


Estudos de desempenho do detector

- Como Luciano Manhaes (doutorando da UFRJ na época e professor na UFJF atuamente) fez, podemos também encontrar traços nos calorímetros usando técnicas semelhantes!!!



Estudos e
melhoramentos
no trigger de
alto nível
software

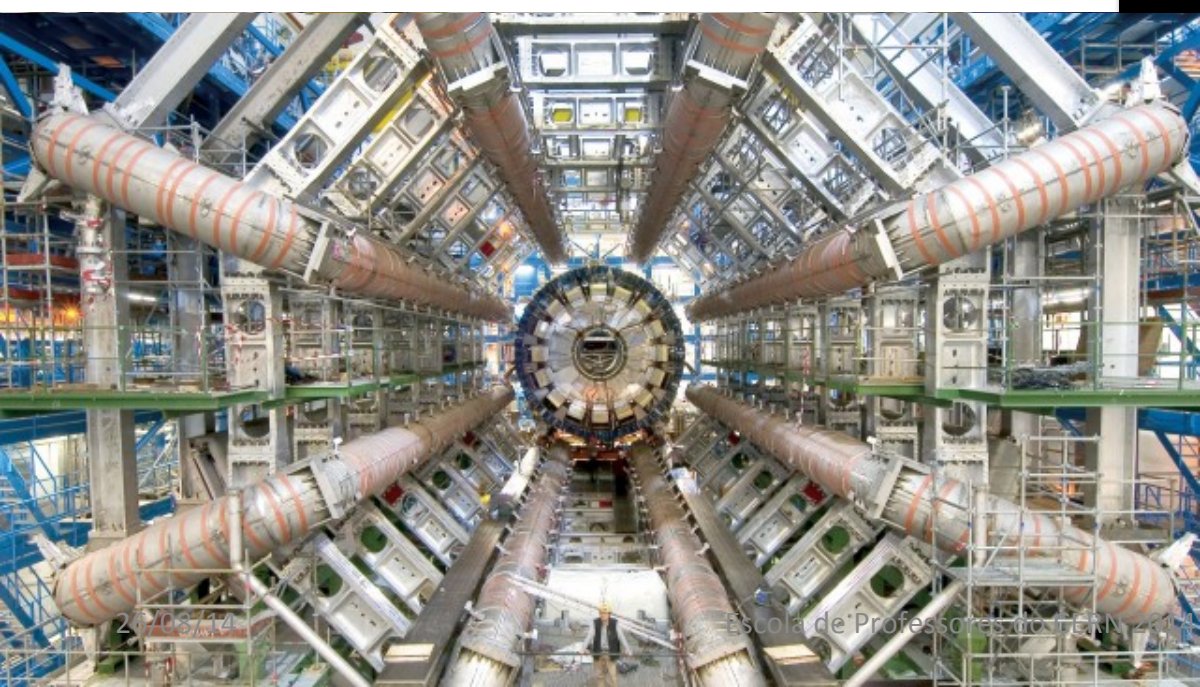
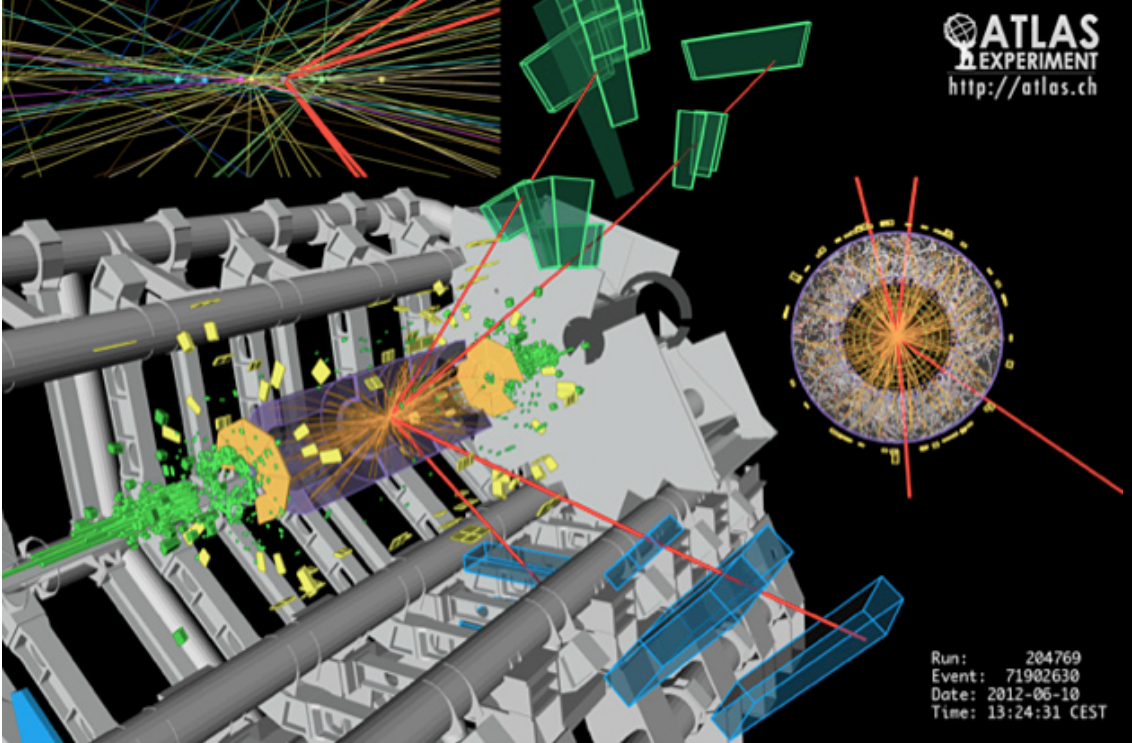


Uma aventura de mais de 20 anos !

1999

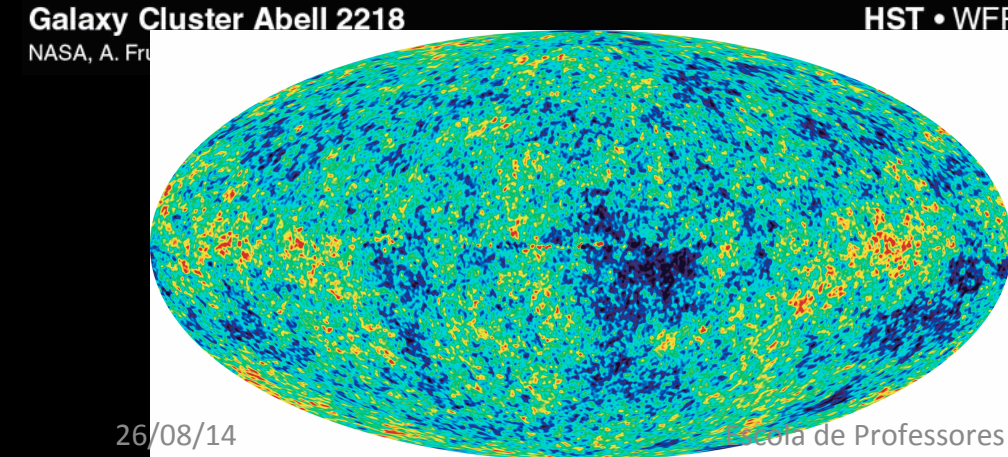
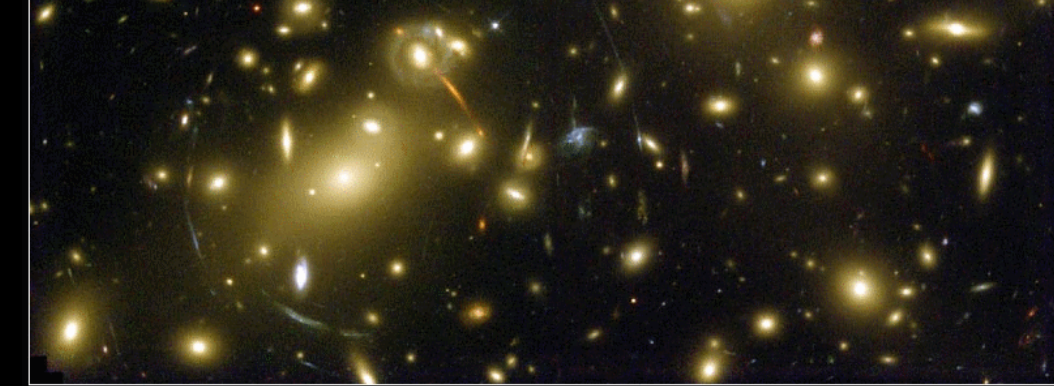
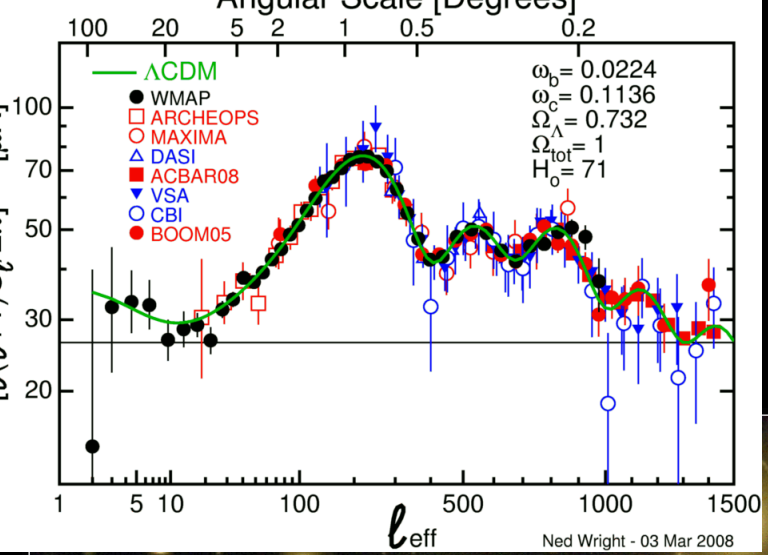


**ATLAS control room.
First collisions in 2009**

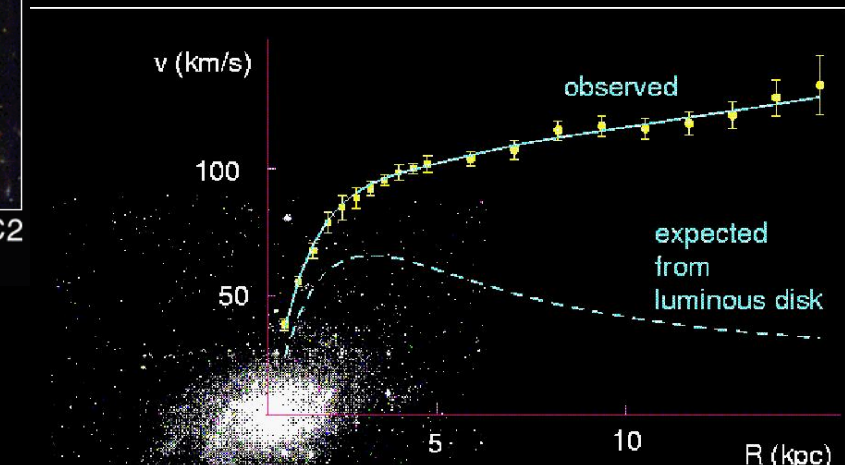
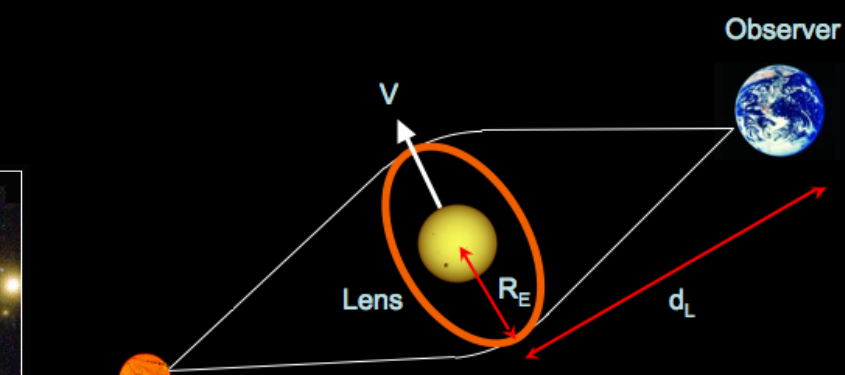


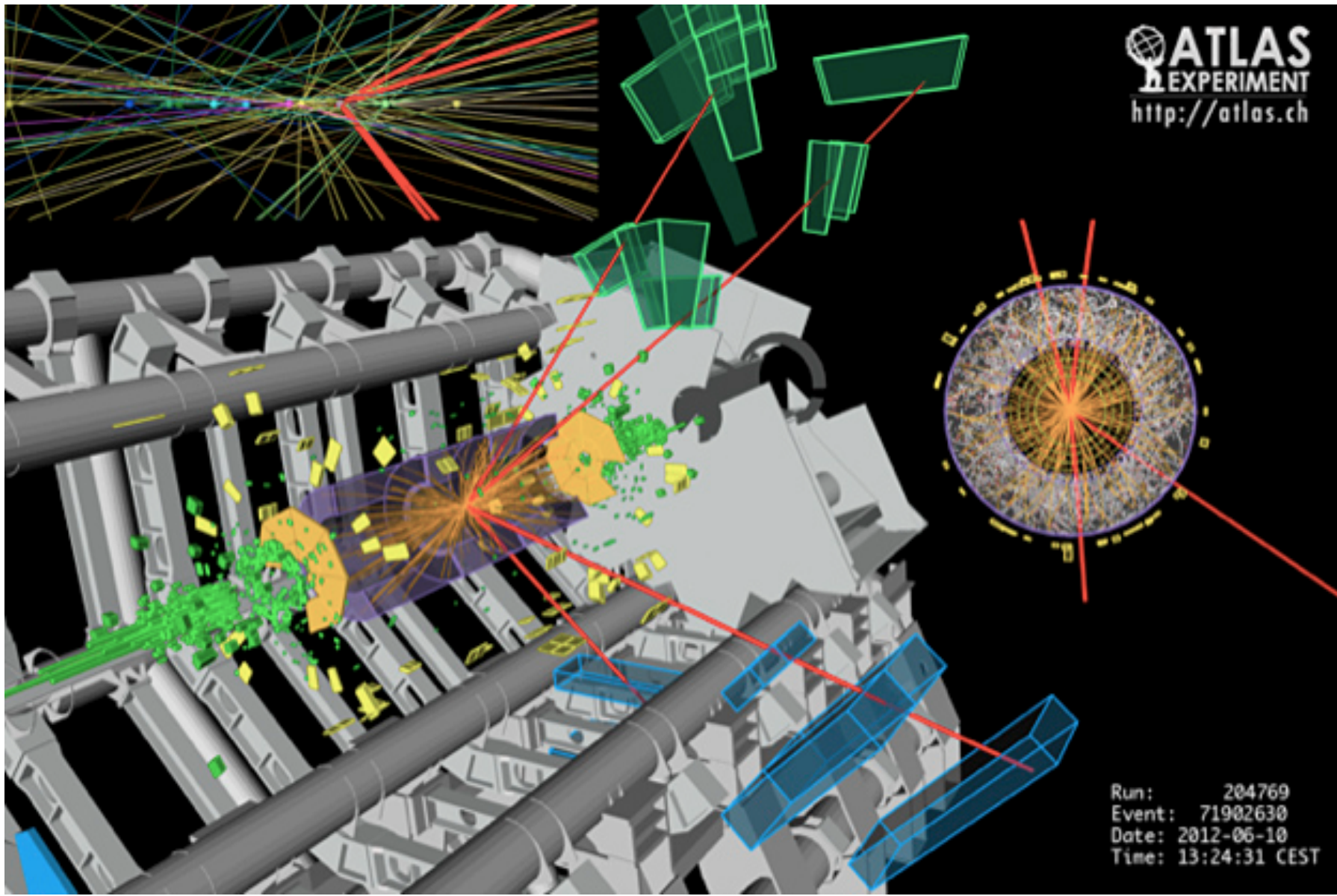


Est-ce le
vrai boson
de Higgs??



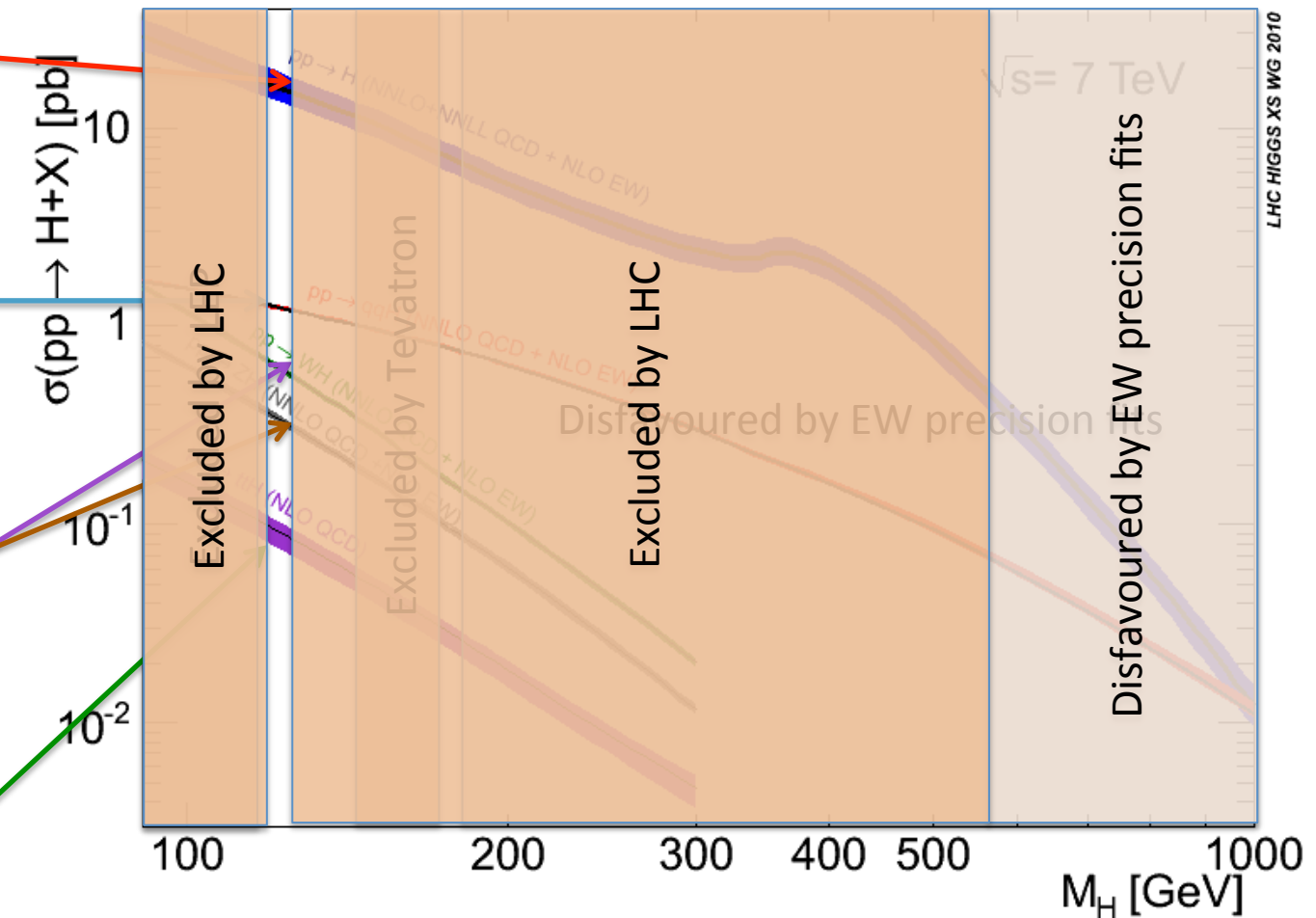
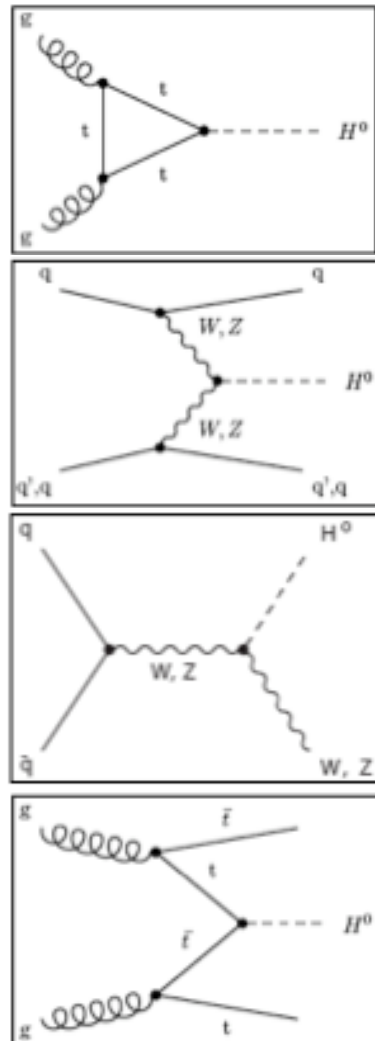
Juste le début!





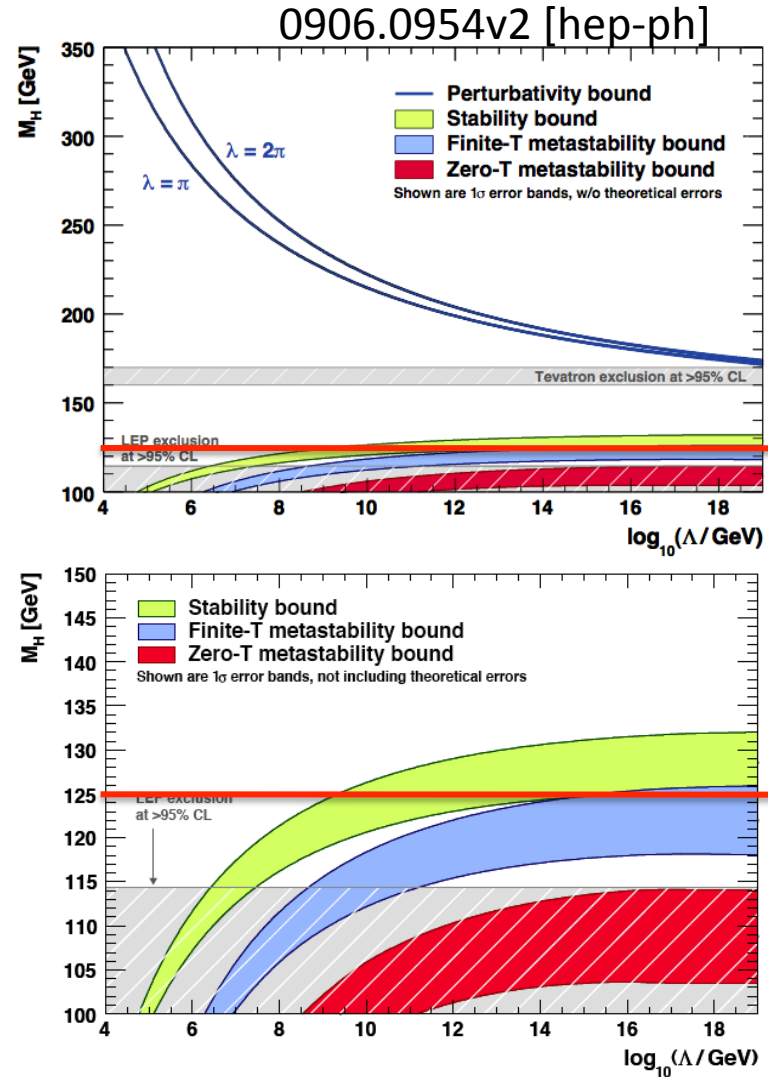
6 months ago: ICHEP 2012

CERN-2011-002; arXiv:1101.0593



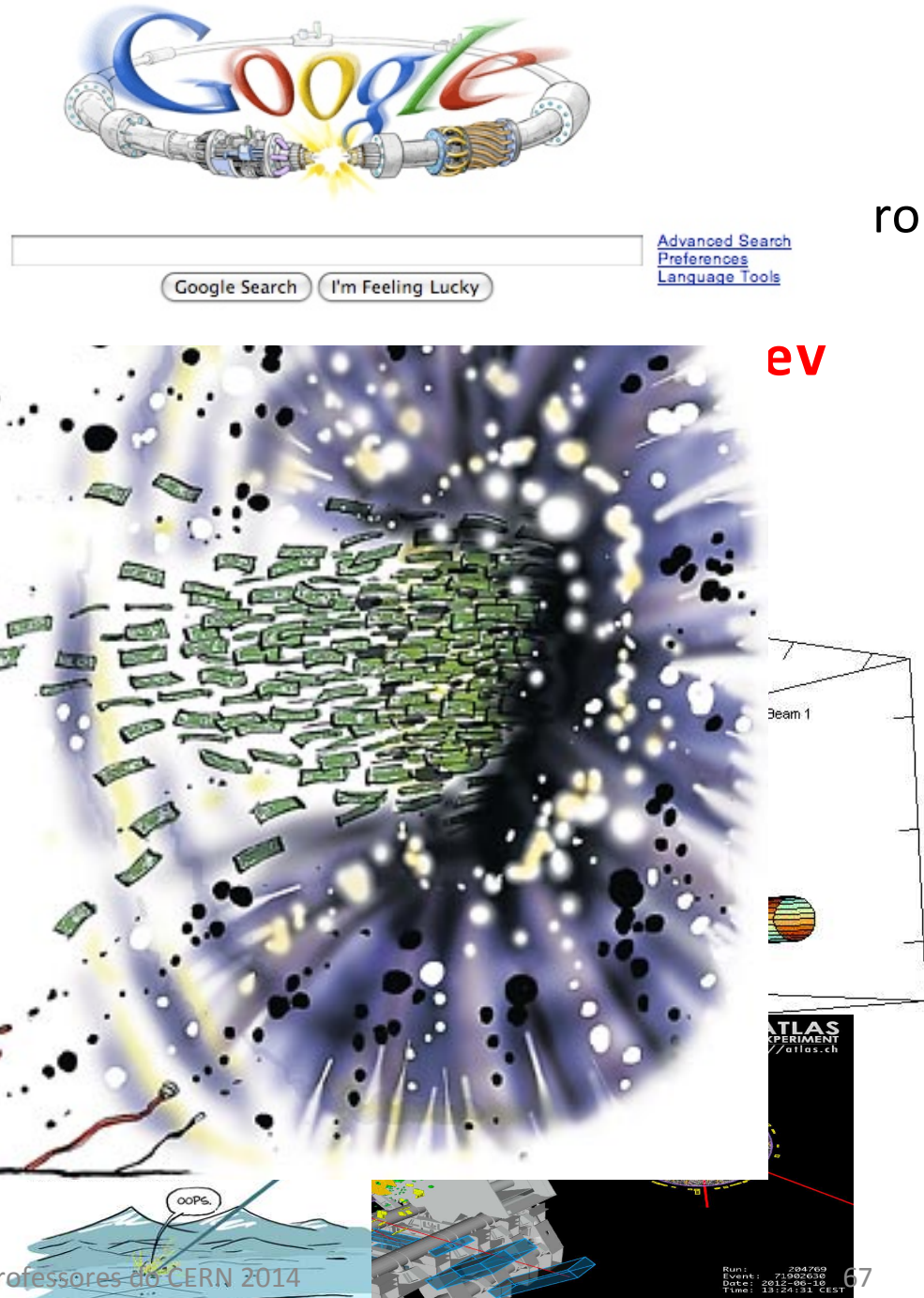
But there is more...

- We know the SM is incomplete
- For a low Higgs mass relative to the top quark mass, the quartic Higgs self-coupling runs at high energy towards lower values.
- At some point it would turn negative indicating that the vacuum is unstable.
- The universe could decay into a more stable lower energy vacuum state.
- Unless new physics appears at some energy scale
- The Higgs sector can give important clues to constrain new physics beyond the SM
- It is a great way to search for new physics!

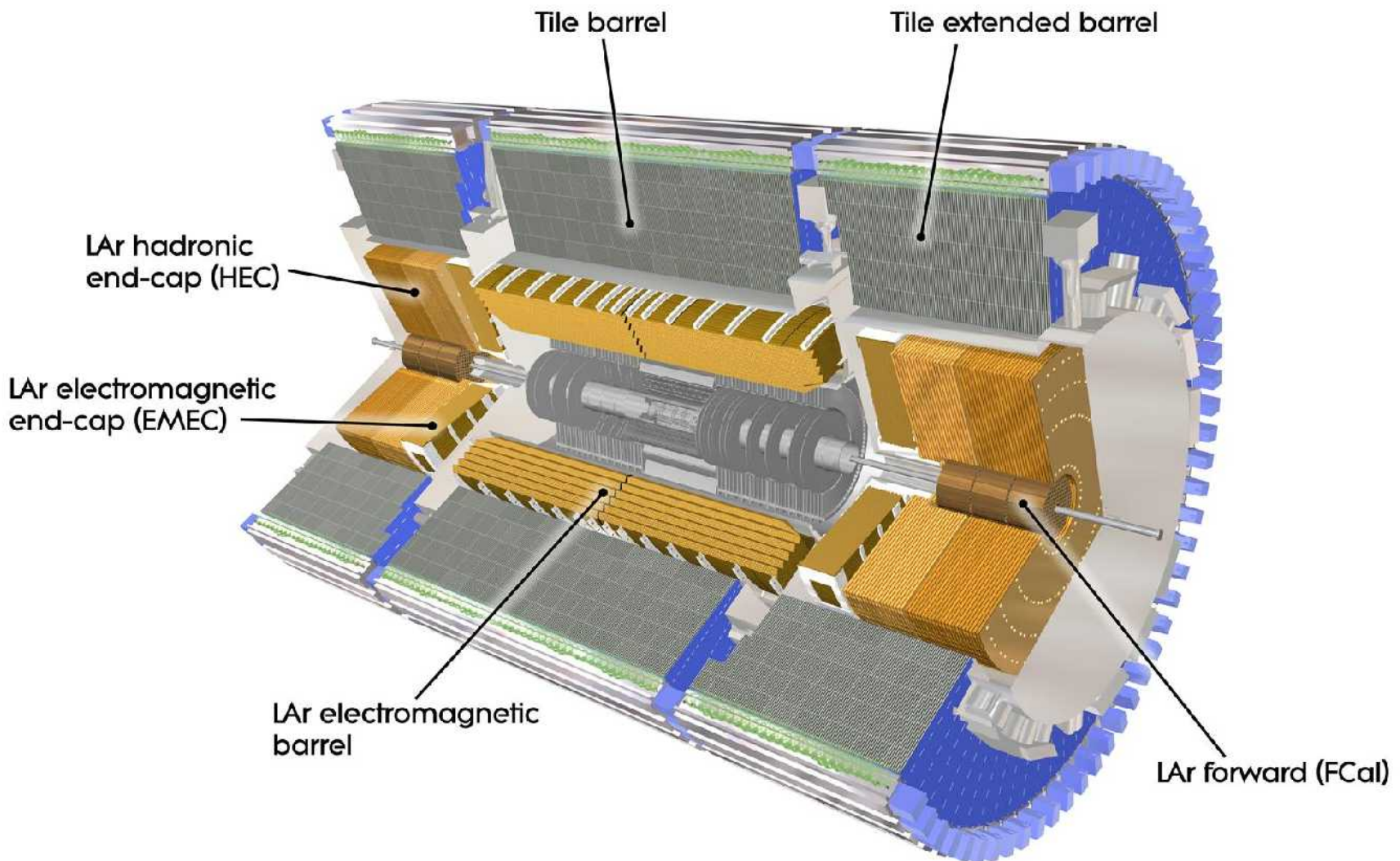


Sequência de aceleradores do CERN

LINAC2
Booster
Proton



Os calorímetros de ATLAS



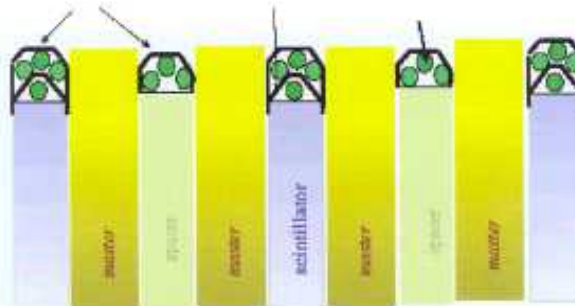
Inserção de fibras ópticas

~500 000 fibras

28 diferentes comprimentos (~2 m)

~160 000 perfis

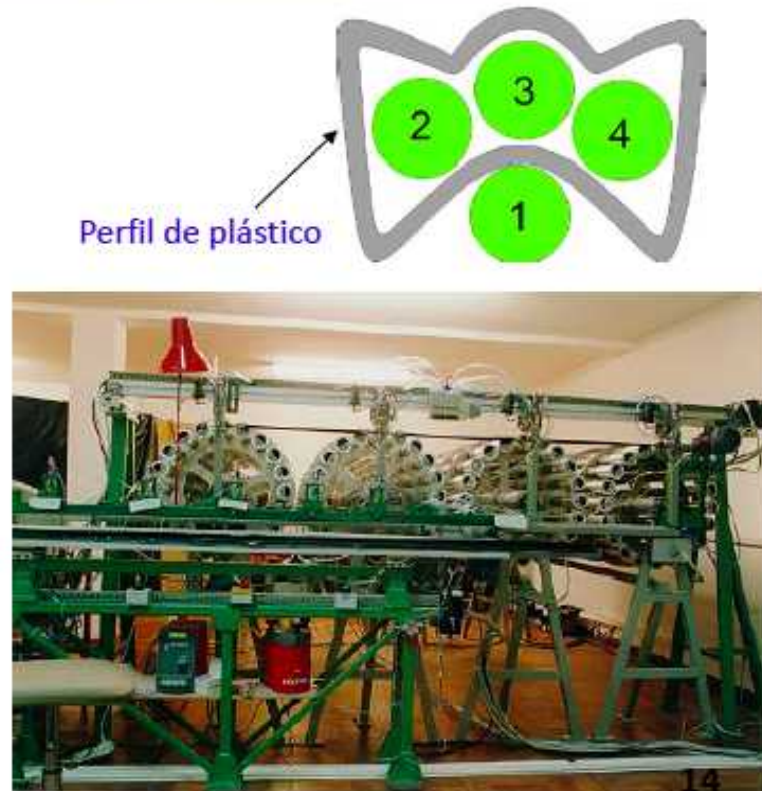
4 tipos, 2 comprimetros (~1 m each)



Robot para inserção de fibras ópticas em perfis de plástico desenvolvido e construído em Portugal

Fiável!

Vários anos de funcionamento em contínuo



Cintiladores R&D

Cintilador a ser introduzido num módulo do TileCal em Argonne (USA)



Cintiladores produzidos por injeção em moldes
Caras fotografadas através de cintiladores de 10cm de espessura



Cintiladores produzidos na Uminho I&D



Instrumentação do TileCal no CERN

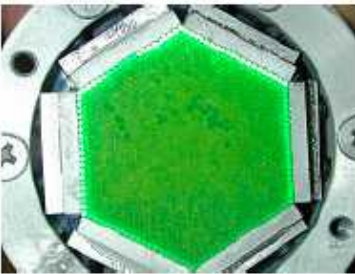


Desenho e construção do TileCal

Cintiladores de Plástico



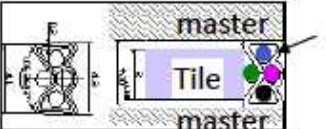
fibras ópticas WLS
 $\varnothing 1\text{ mm}$
~2 metros de comprimento



Inserção de fibras com robot



150 000 Perfis de plástico



Desenho das células e encaminhamento das fibras



Instrumentação dos modulos



Test beam – certificação e calibração



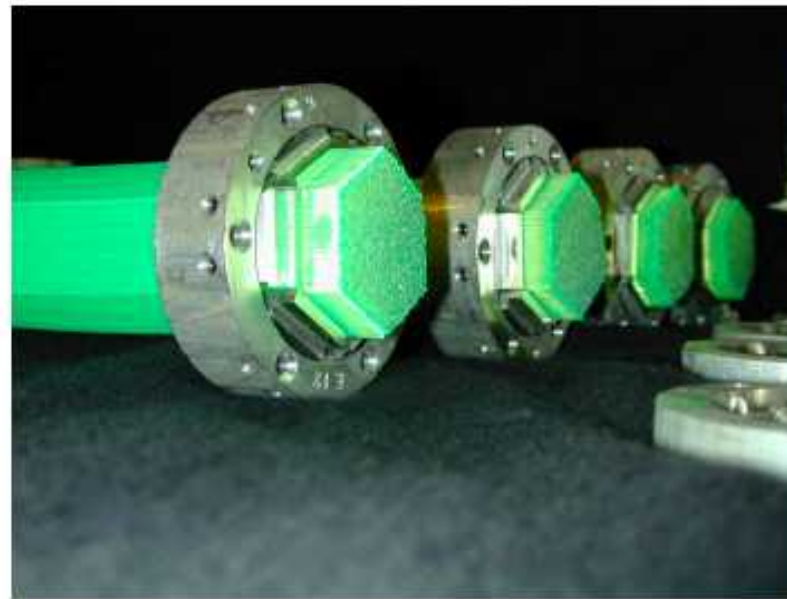
Suportes dos PMTs



Connectores e fibras laser

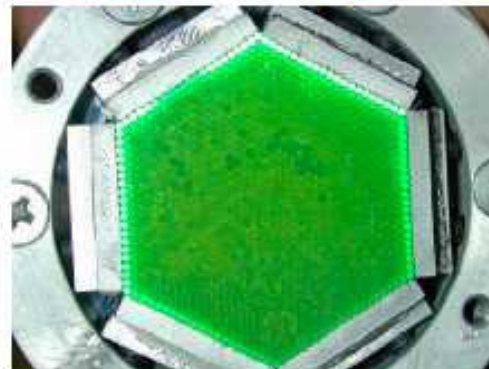


Corte, Polimento e Aluminização de fibras ópticas

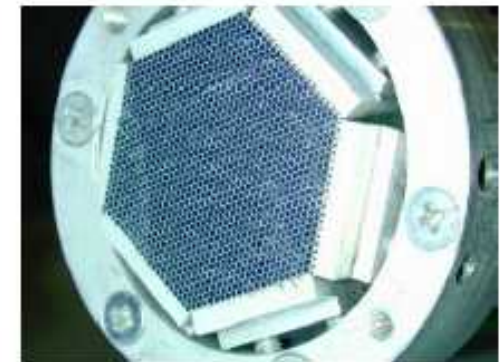


Molhos
com
1261 fibras

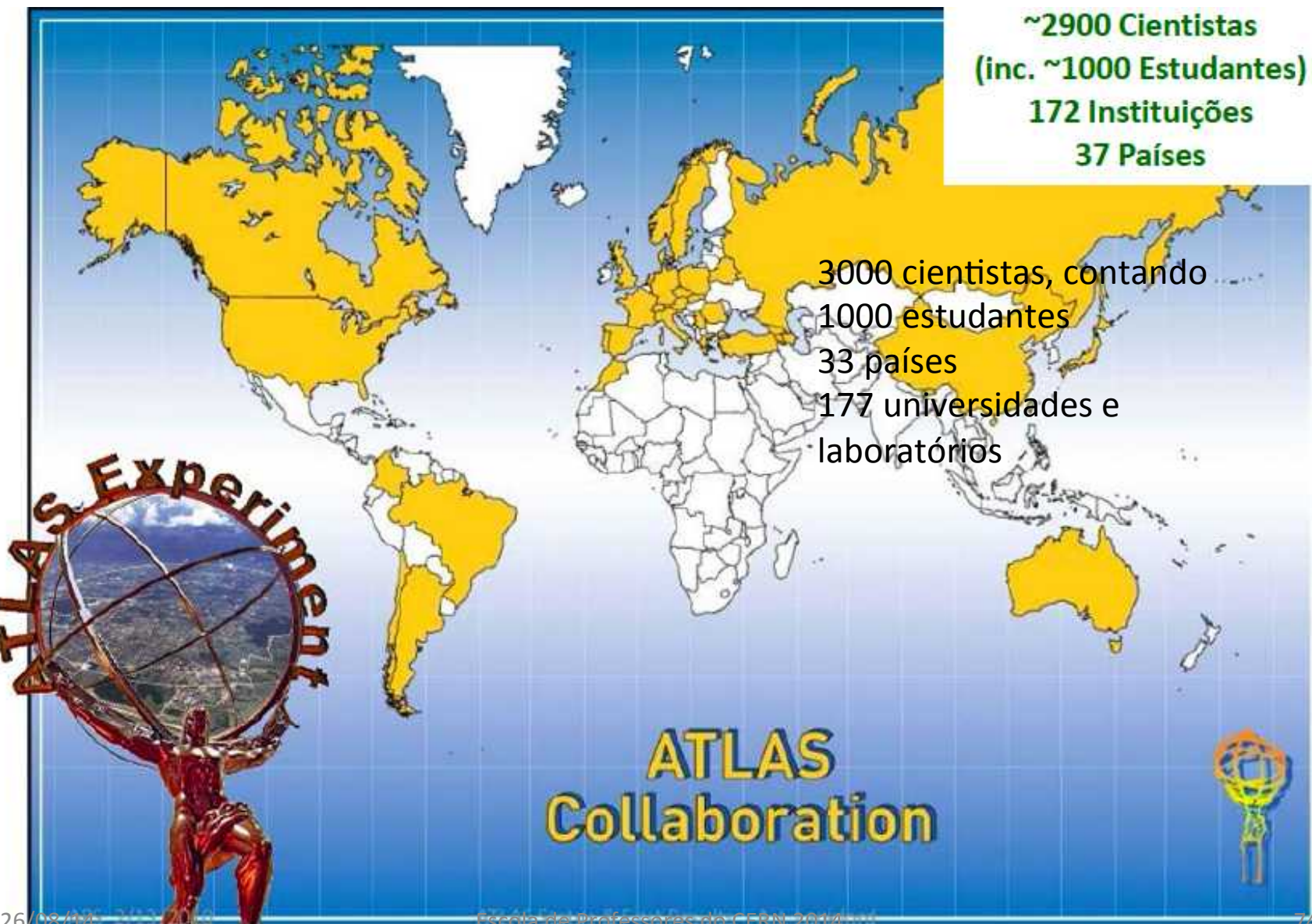
Polimento e corte



Aluminização



Colaboração verdadeiramente global!



Tomada de dados LHC

de eventos Secção eficaz
 (secção de choque)

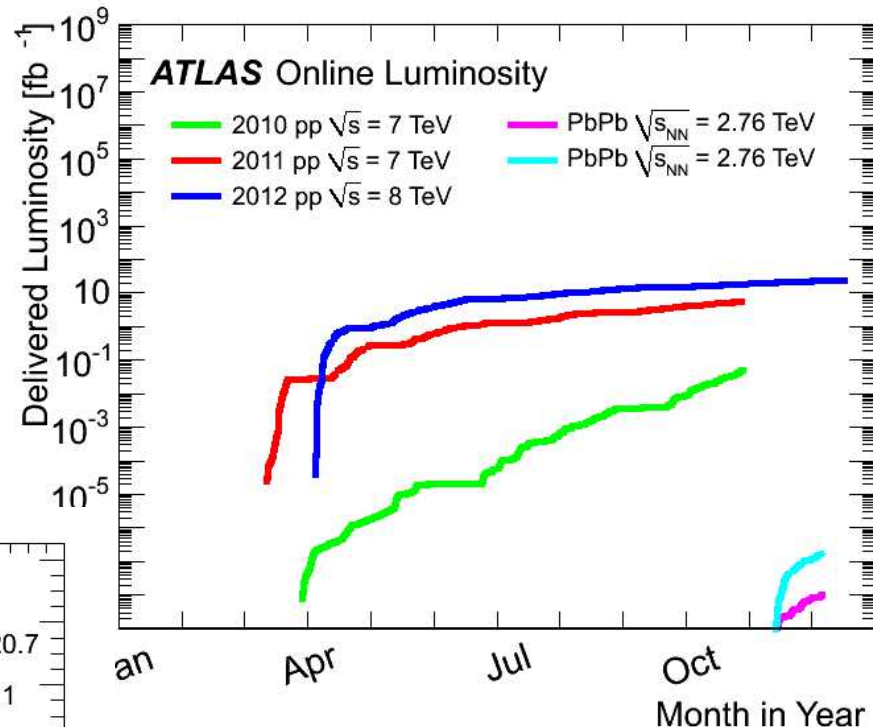
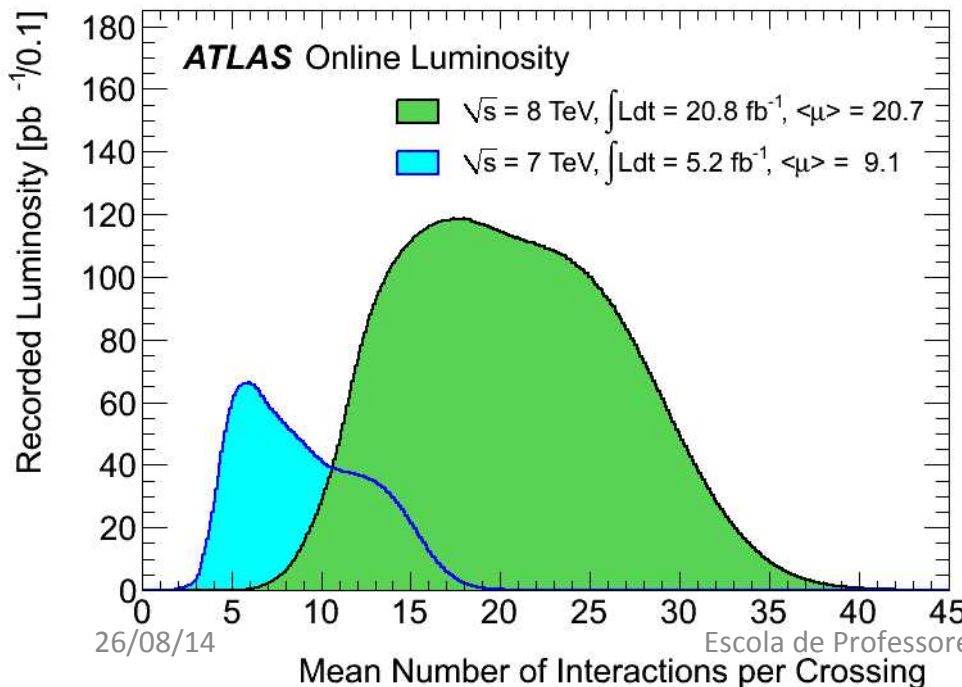
$$N = L \times \sigma$$

Luminosidade integrada

em femtobarn-1

barn = b = unidade de área

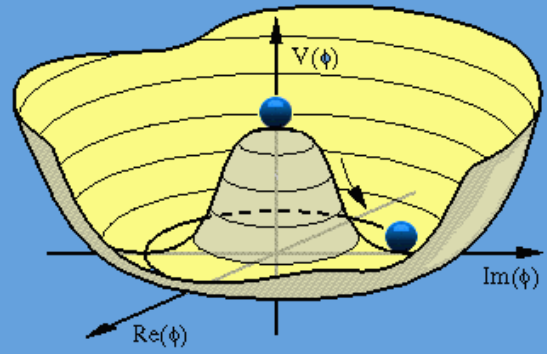
1 fb = 10-15 b = 10-39 cm²



desempenho excepcional do LHC:
 a intensidade dos feixes
 continua sempre a aumentar

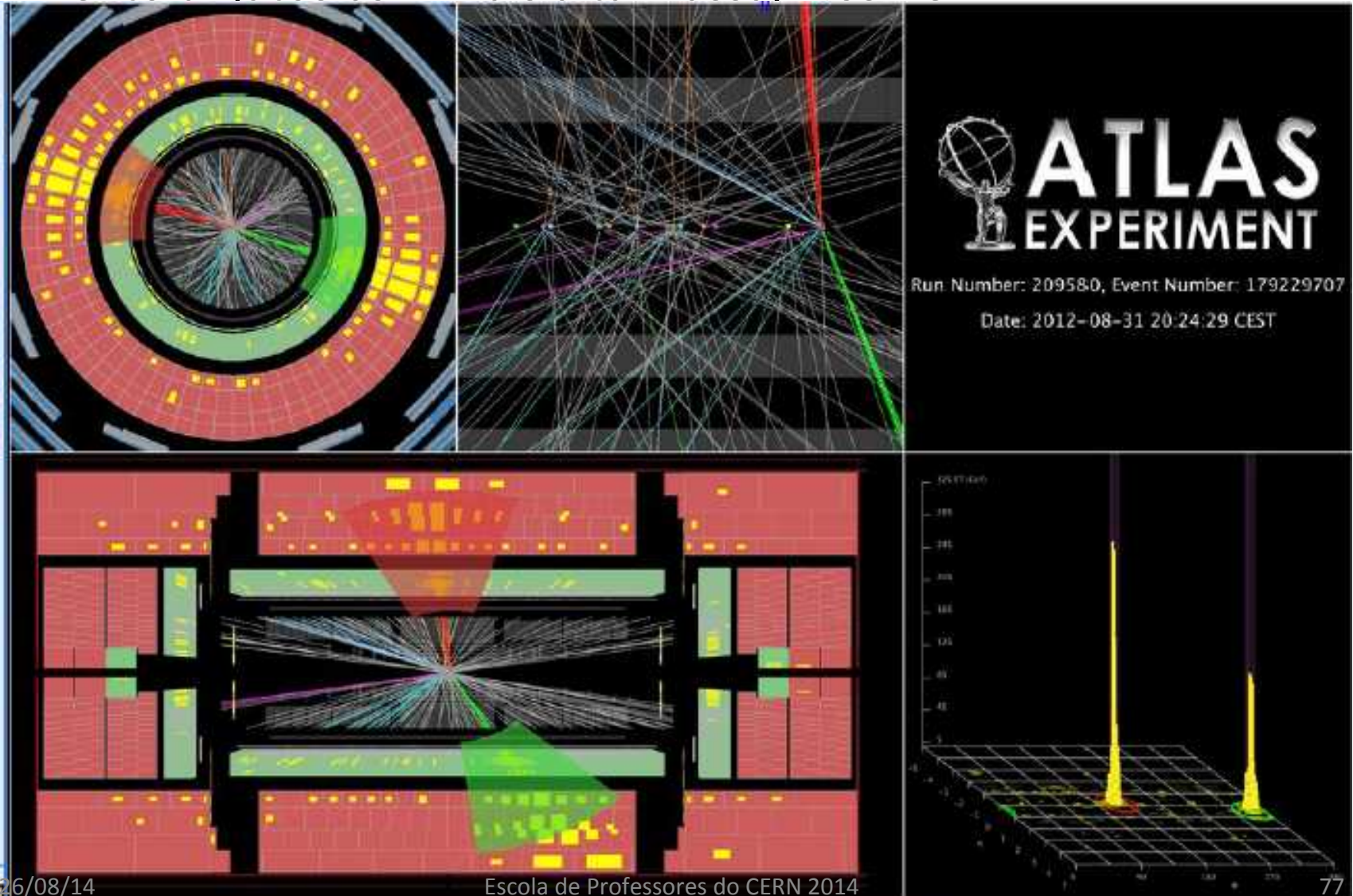
aumenta também o número médio
 de colisões por cruzamento de feixes

Seleção de alguns resultados



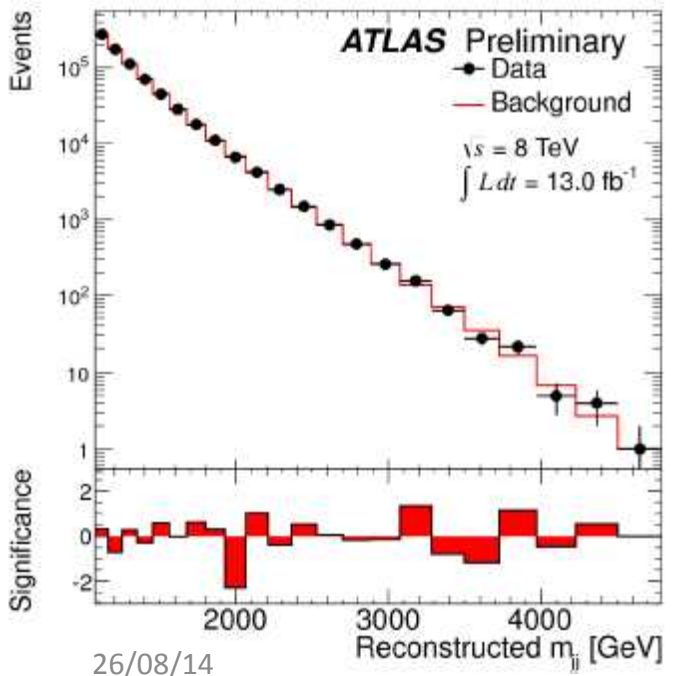
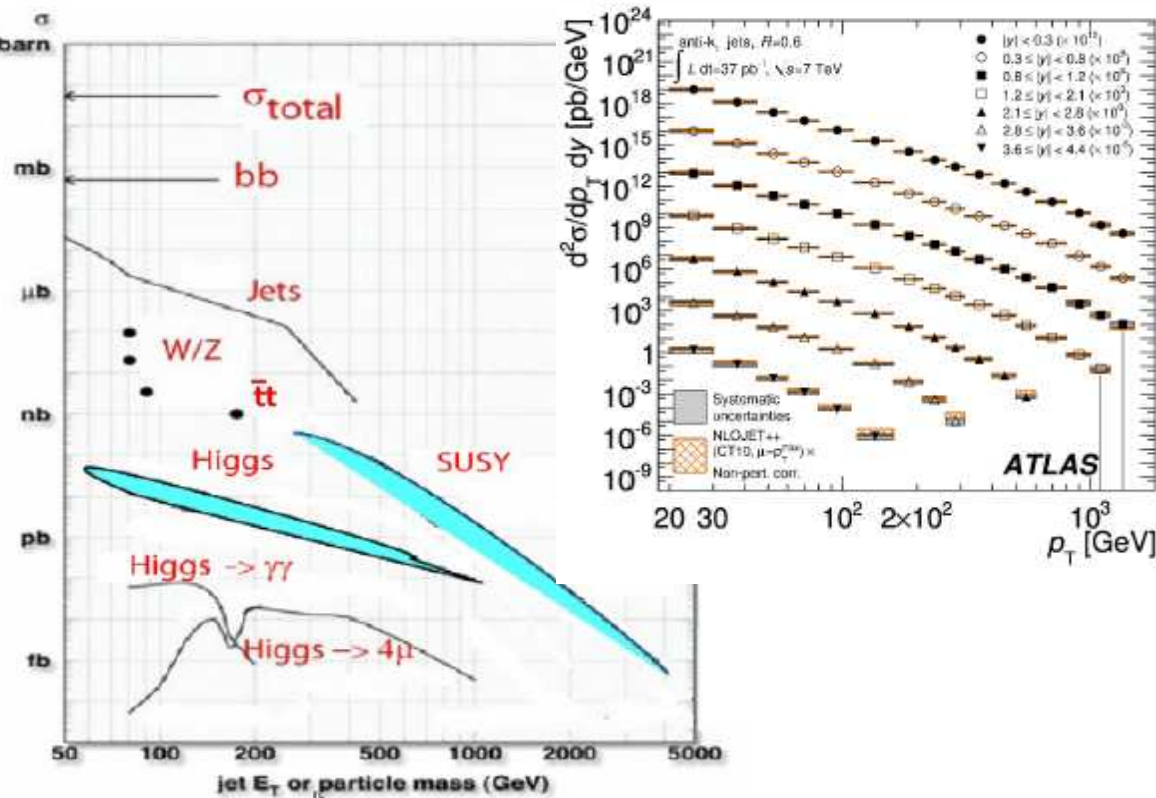
Jatos de partículas

- Evento di-iatos com mais alta massa, 4.69 TeV

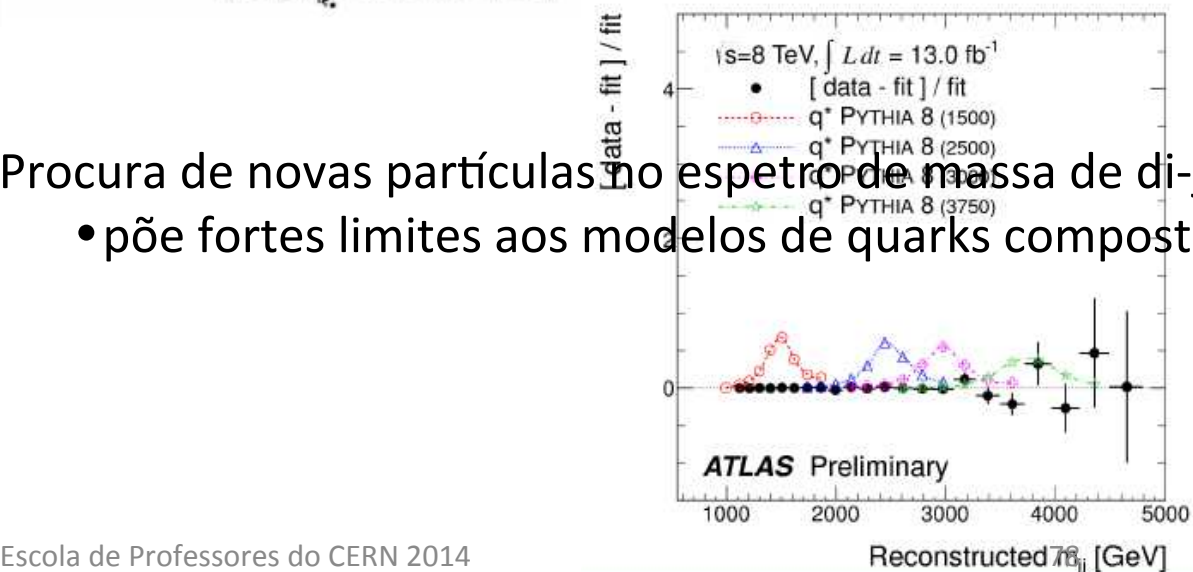


Jatos

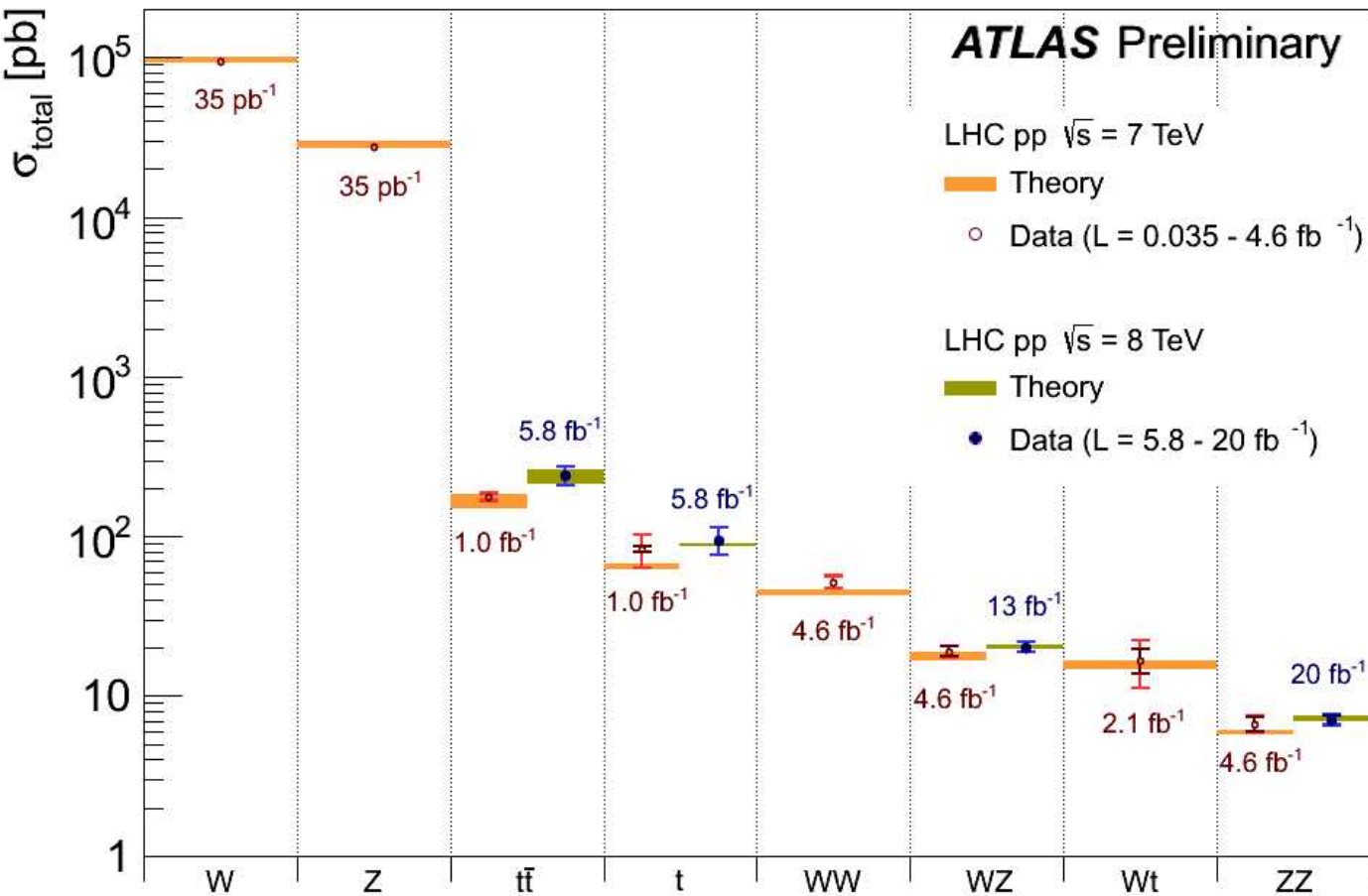
- Produção de jatos é o processo dominante
- Secção eficaz versus momento transversal
- teste muito preciso da CERN



- Procura de novas partículas no espetro de massa de di-jet
- põe fortes limites aos modelos de quarks compostos



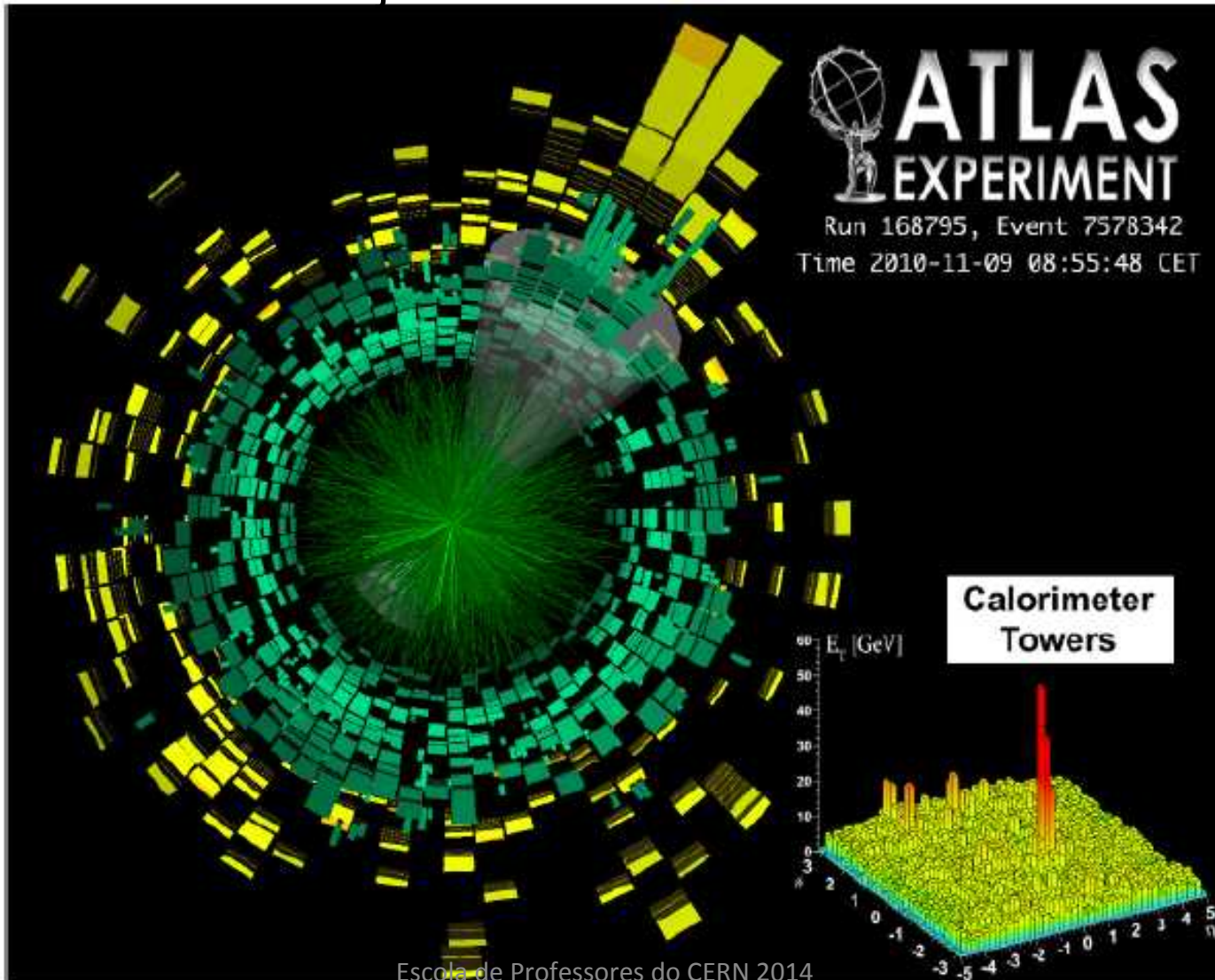
Secções eficazes inclusivas

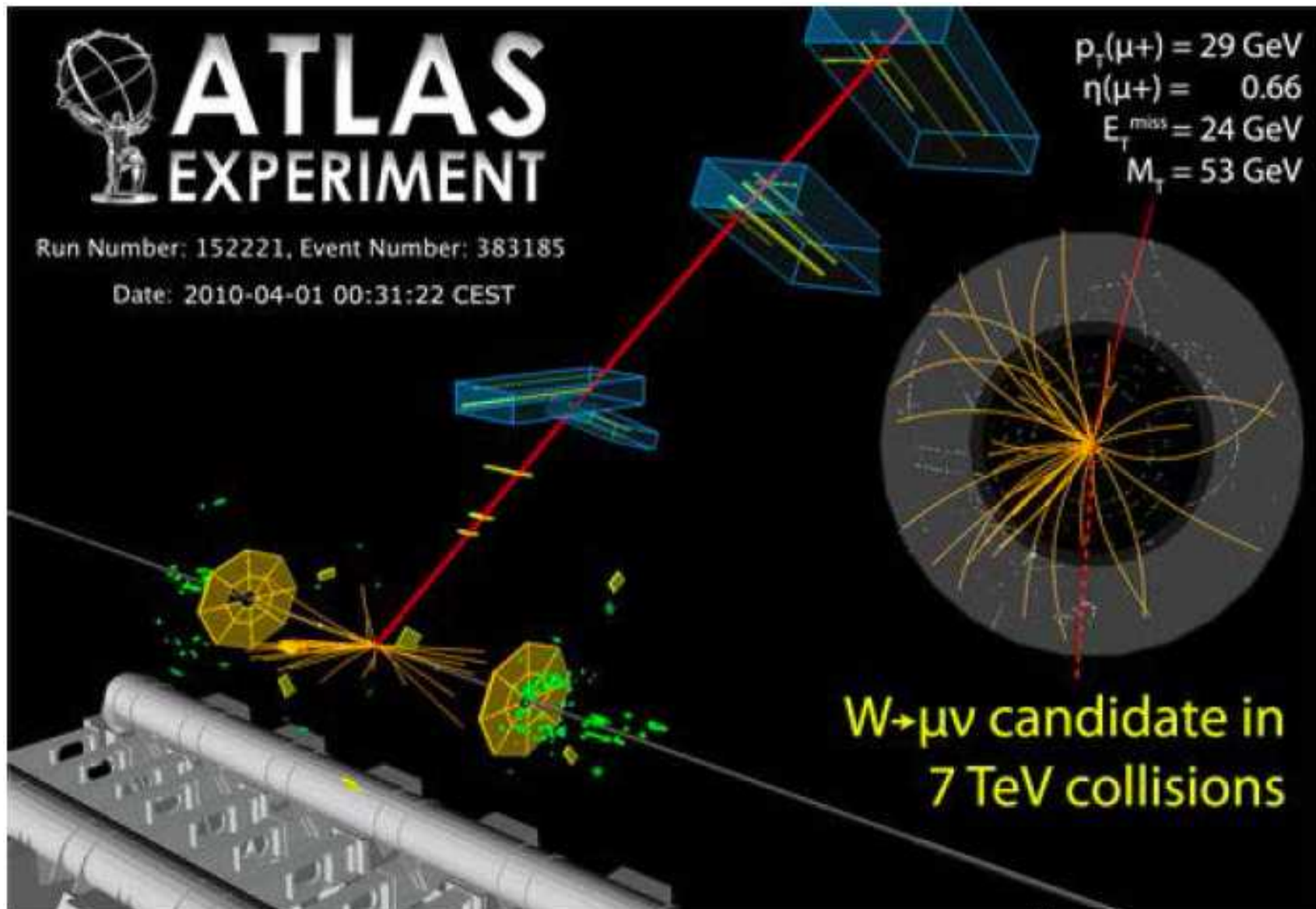


- Estatística de eventos em:
- 1015 colisões pp
- 3 mil milhões registadas
- 100 milhões $W \rightarrow l\nu$
- 10 milhões $Z \rightarrow ll$
- 400 mil $t\bar{t} \rightarrow ll$
- centenas de Higgs

Plasma de quarks-gluões

Assimetria nos jatos em colisões Chumbo-Chumbo

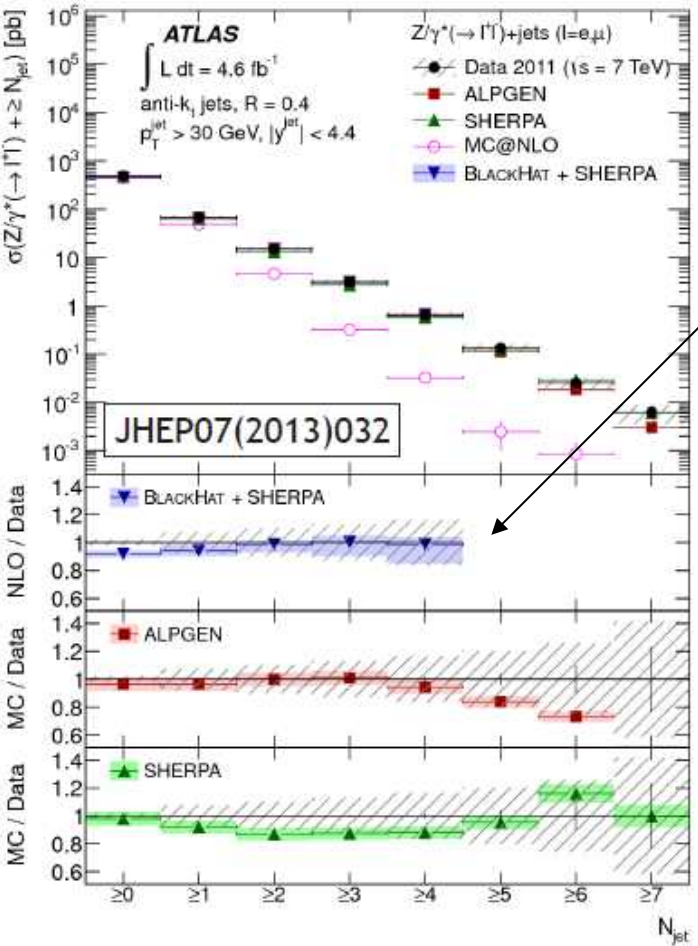




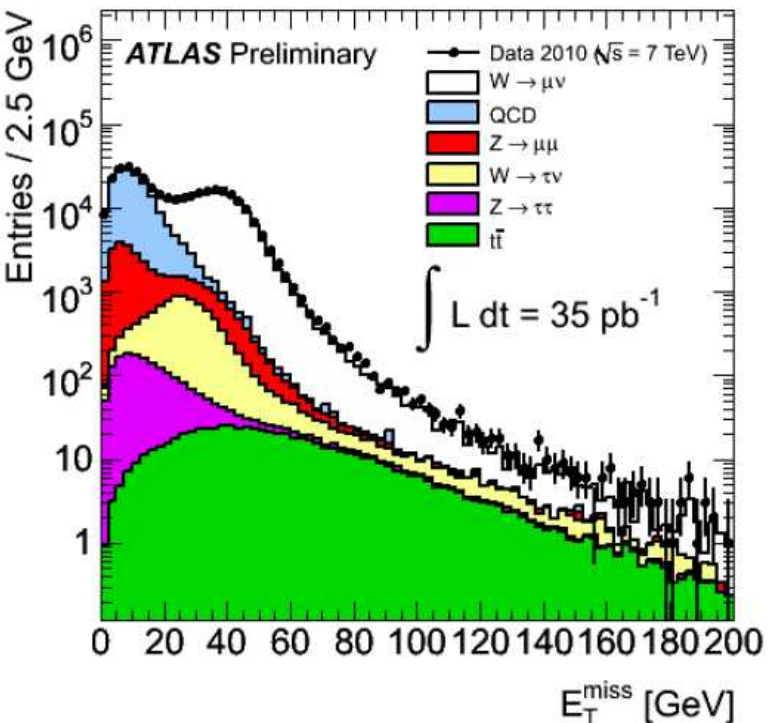
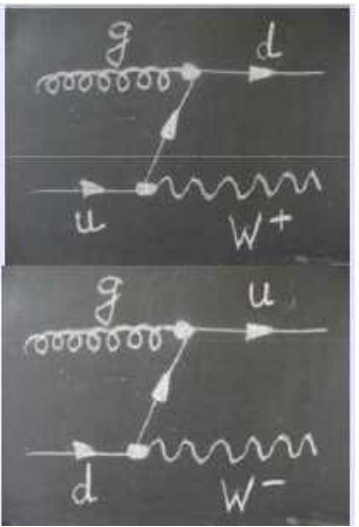
Bosões W/Z

Z + n jatos

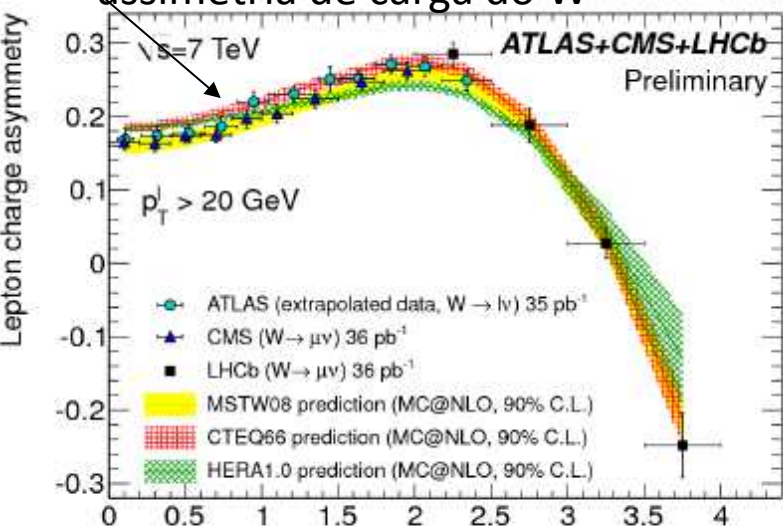
$p_T(j) > 30 \text{ GeV}$, $|y(j)| < 4.4$, $\Delta R(\ell j) > 0.5$



Conseguem-se
discriminar os
melhores
modelos!



assimetria de carga do W

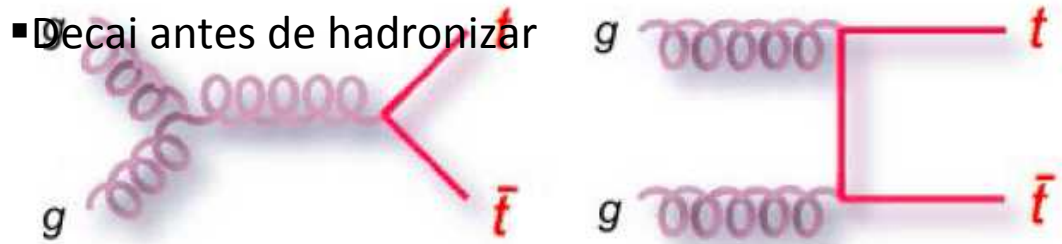


Quark top

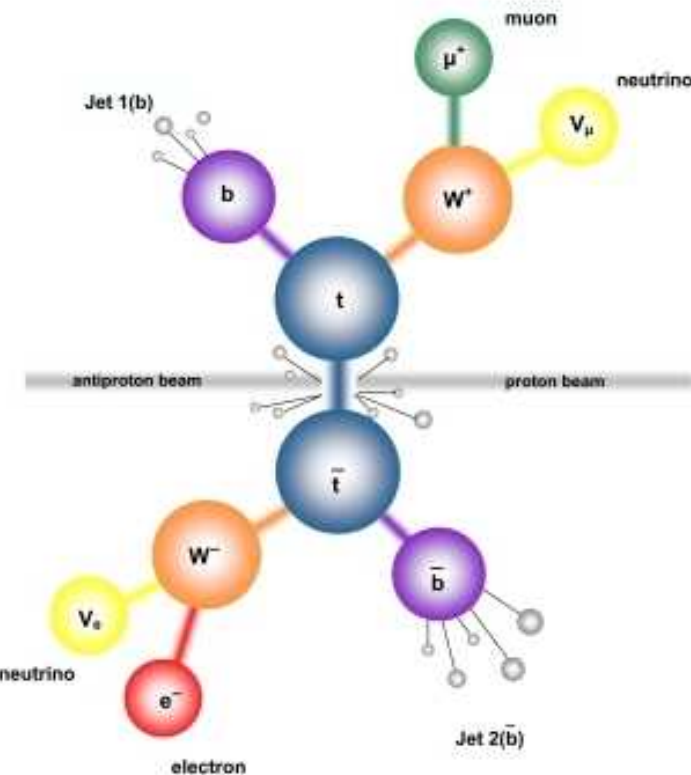
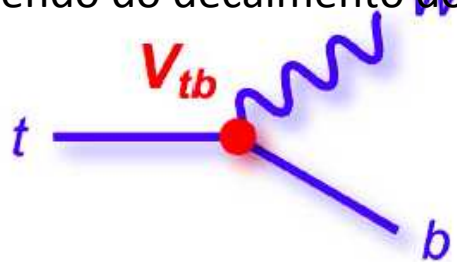
- É a partícula elementar mais massiva de todas. $M(\text{top}) = 173.2 \text{ GeV}$.
 - Produzida principalmente aos pares em fusão de gluões

	I	II	III	
Quarks	u	c	t	γ
Leptons	d	s	b	g
	ν_e	ν_μ	ν_τ	Z
Force Carriers	e	μ	τ	W

Three Generations of Matter



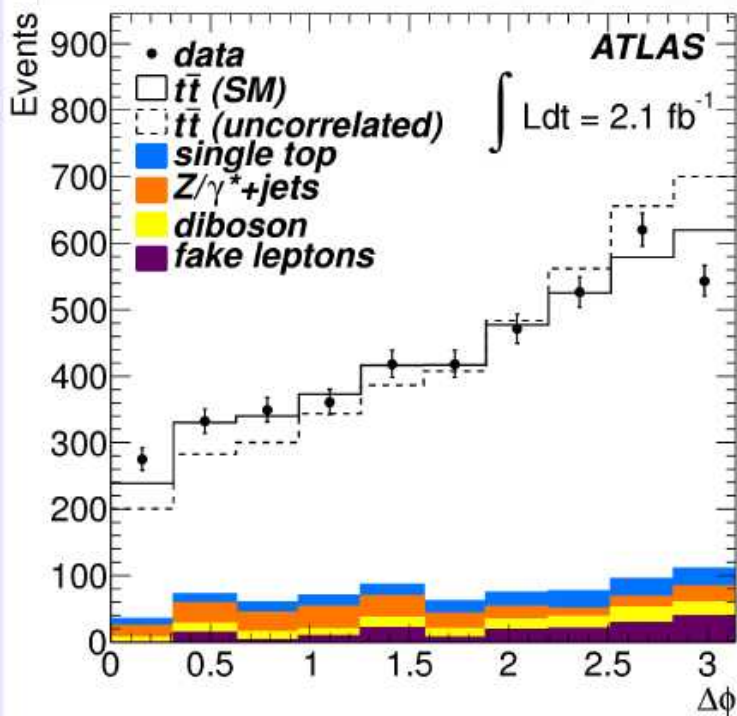
- Estado final com 0, 1 ou 2 leptões
 - dependendo do decaimento do W



Medições com o top

■ Correlação de spin entre os leptões

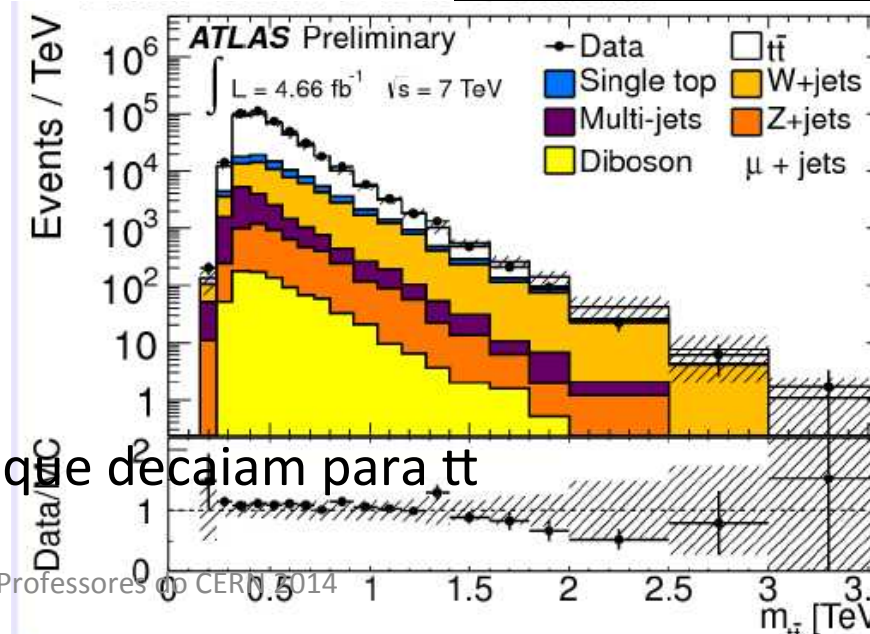
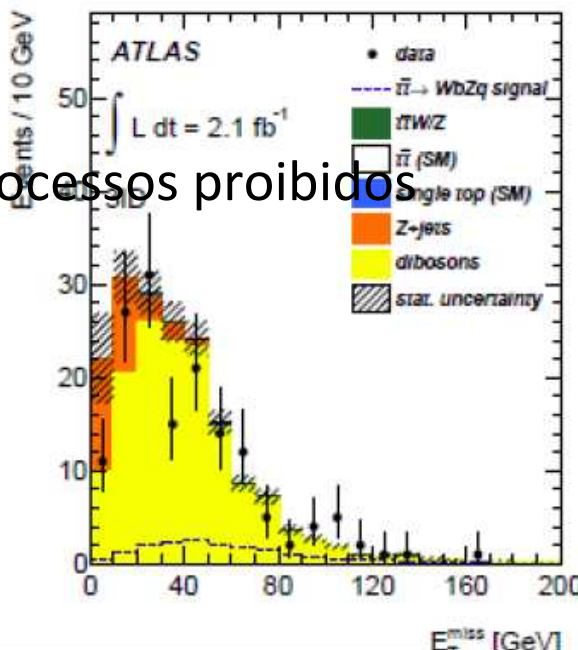
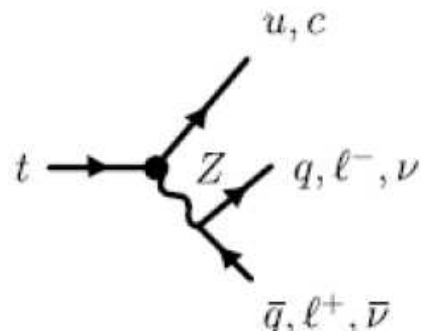
$$A = \frac{N(\uparrow\uparrow) + N(\downarrow\downarrow) - N(\uparrow\downarrow) - N(\downarrow\uparrow)}{N(\uparrow\uparrow) + N(\downarrow\downarrow) + N(\uparrow\downarrow) + N(\downarrow\uparrow)}$$



■ Procura de novas partículas

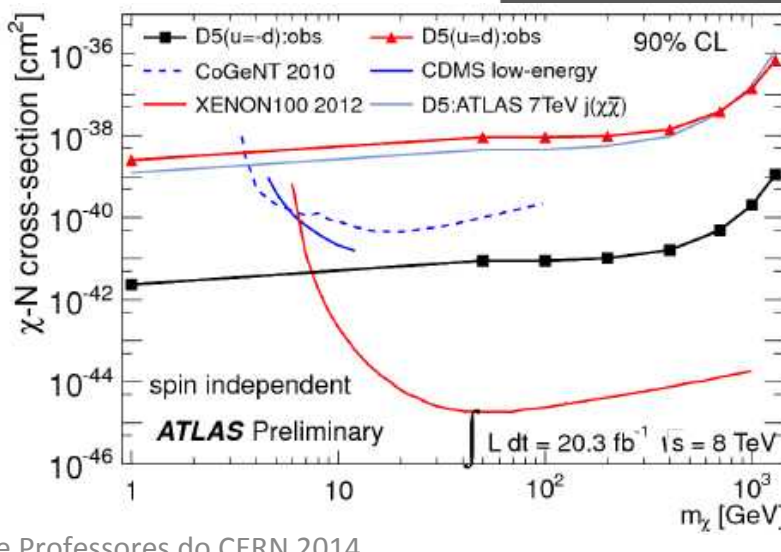
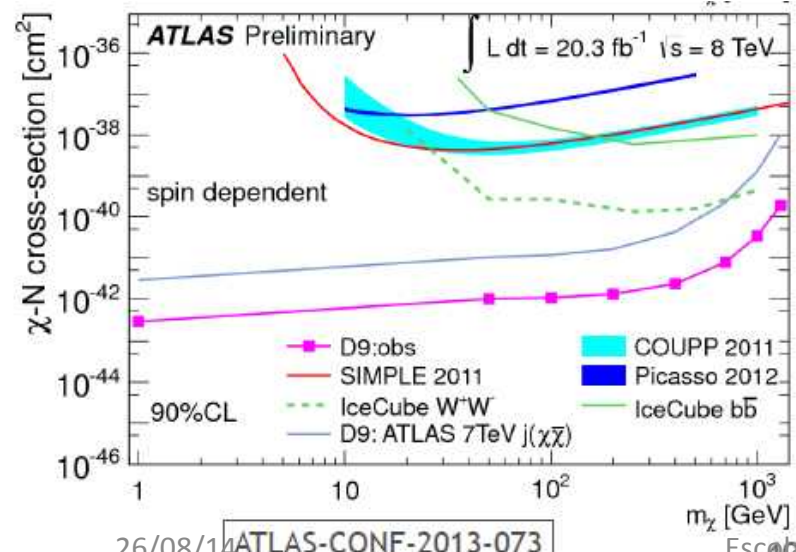
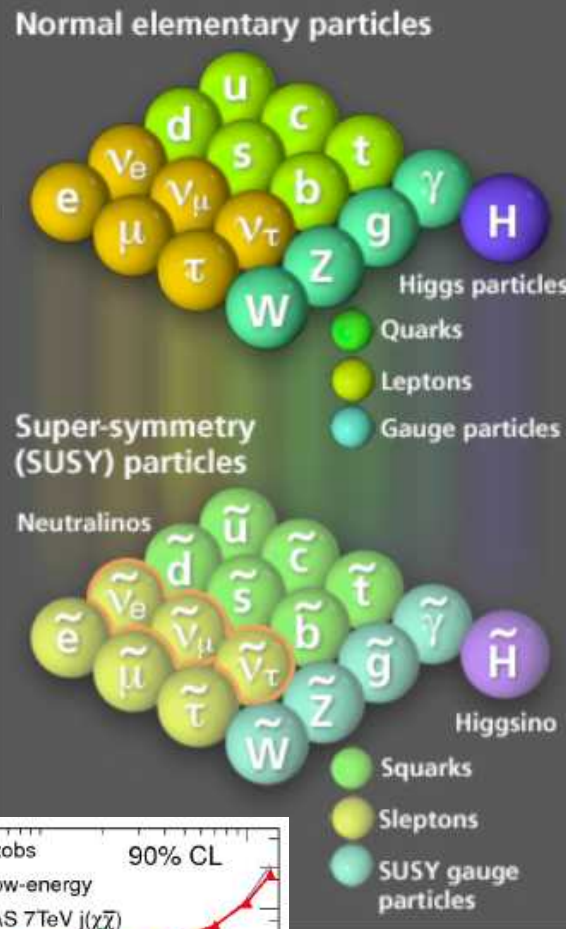
$t\bar{t} \rightarrow bWqZ \rightarrow b\nu q\ell\ell$

■ Procura de processos proibidos



Supersimetria

- Modelo que resolve vários problemas teóricos
 - Mas traz uma simetria extra: cada fermião tem um superpartner
- A partícula supersimétrica mais leve seria provavelmente deixa o detector sem interagir, produzindo energia
- comparação com procura direta:



ATLAS SUSY Searches* - 95% CL Lower Limits

ATLAS Preliminary

Status: SUSY 2013

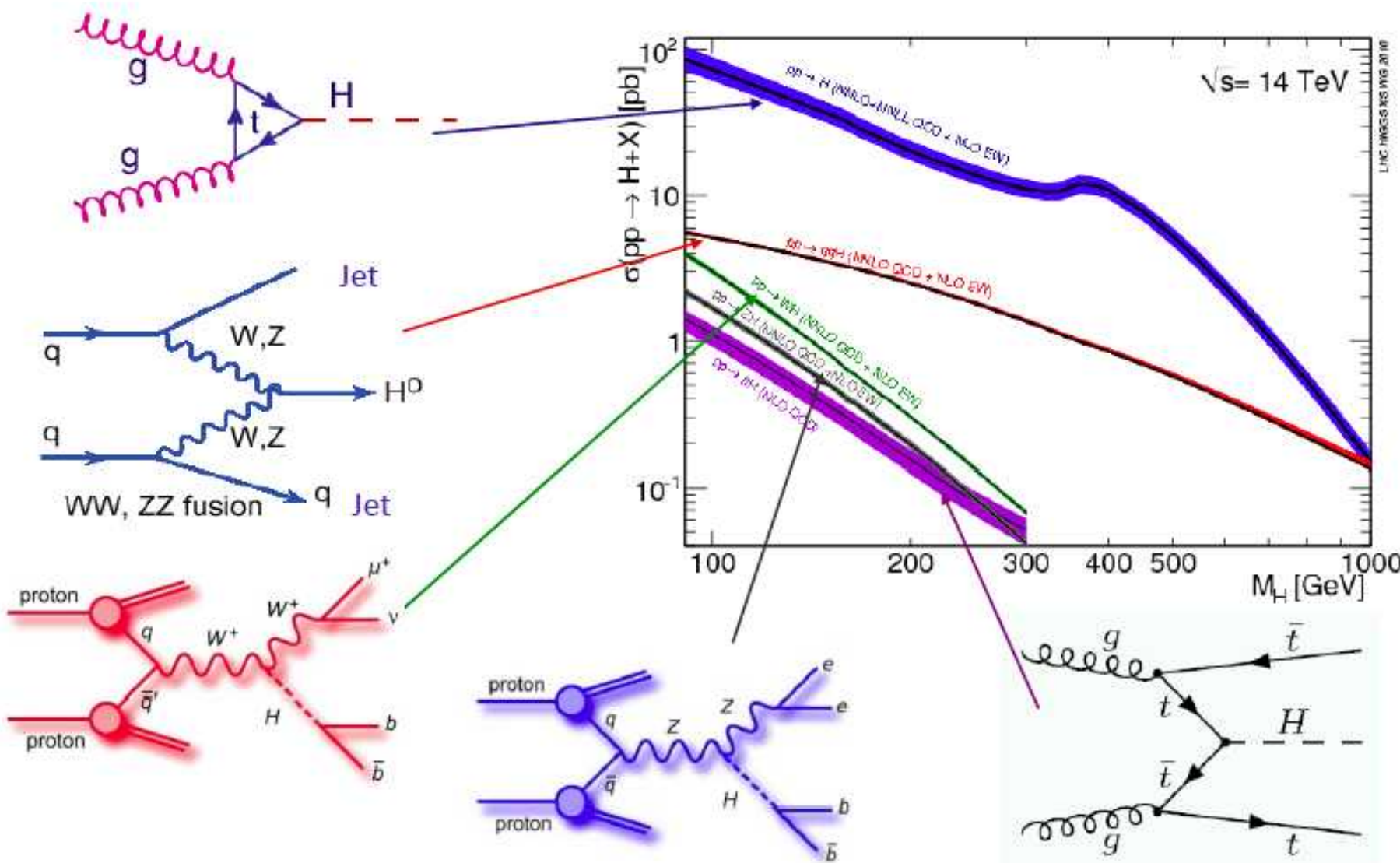
$\int \mathcal{L} dt = (4.6 - 22.9) \text{ fb}^{-1}$

$\sqrt{s} = 7, 8 \text{ TeV}$

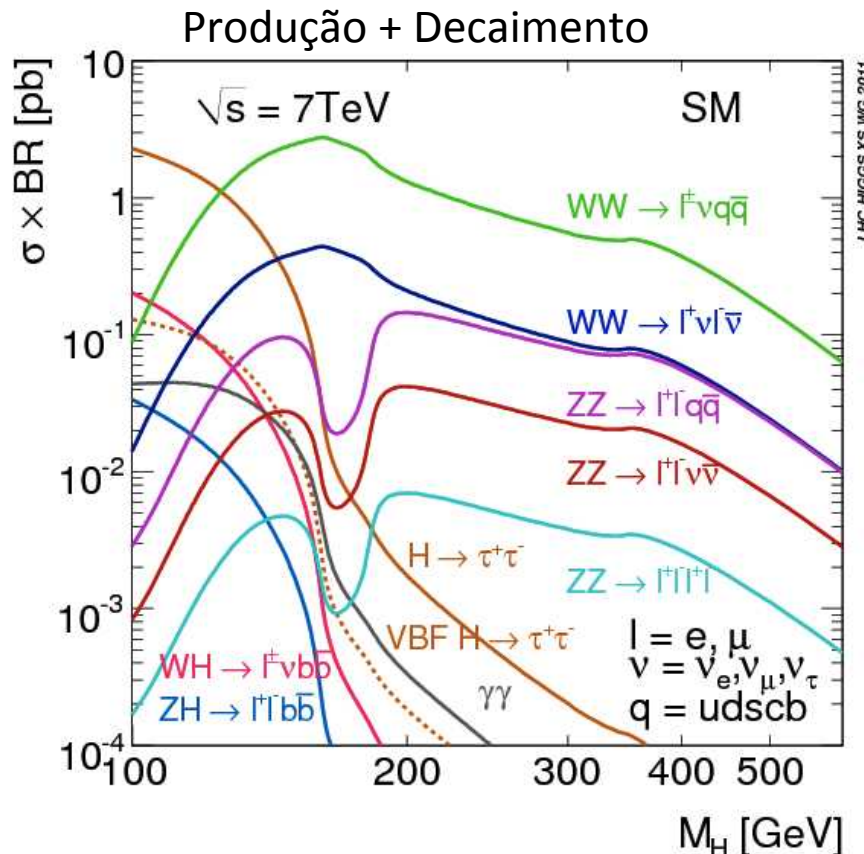
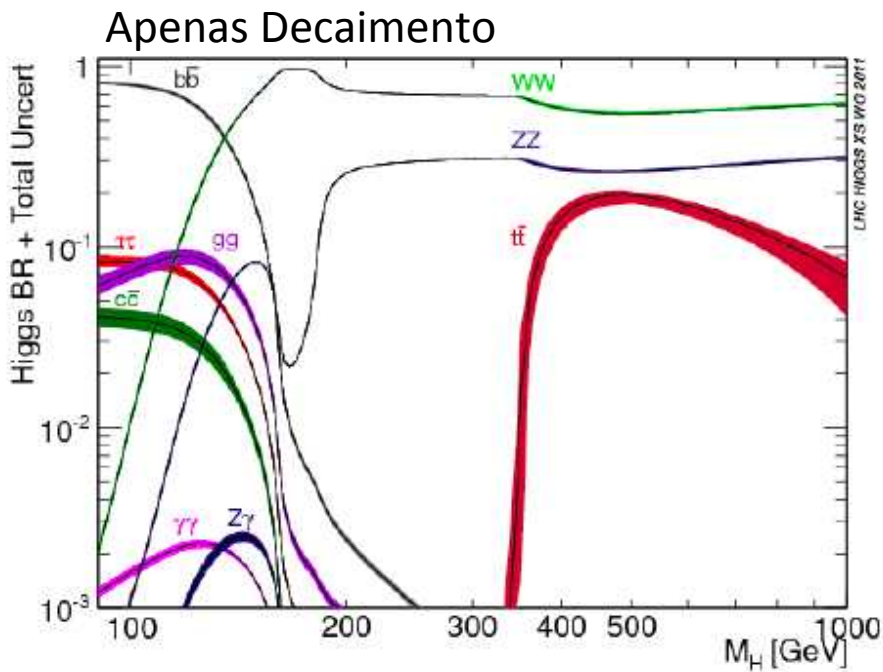
Model	e, μ, τ, γ	Jets	E_T^{miss}	$\int \mathcal{L} dt [\text{fb}^{-1}]$	Mass limit	Reference
Inclusive Searches	MSUGRA/CMSSM	0	2-6 jets	Yes	20.3	\tilde{q}, \tilde{g} 1.7 TeV
	MSUGRA/CMSSM	1 e, μ	3-6 jets	Yes	20.3	\tilde{q} 1.2 TeV
	MSUGRA/CMSSM	0	7-10 jets	Yes	20.3	\tilde{q} 1.1 TeV
	$\tilde{q}\tilde{q}, \tilde{q} \rightarrow \tilde{q}\tilde{q}^0$	0	2-6 jets	Yes	20.3	\tilde{q} 740 GeV
	$\tilde{g}\tilde{g}, \tilde{g} \rightarrow \tilde{q}\tilde{q}^0$	0	2-6 jets	Yes	20.3	\tilde{q} 1.3 TeV
	$\tilde{g}\tilde{g}, \tilde{g} \rightarrow q\tilde{q}\tilde{q}^0 \rightarrow qqW=\tilde{\chi}_1^0$	1 e, μ	3-6 jets	Yes	20.3	\tilde{q} 1.18 TeV
	$\tilde{g}\tilde{g}, \tilde{g} \rightarrow q\tilde{q}\tilde{q}^0 \rightarrow q\tilde{q}(f/f'/vv)\tilde{\chi}_1^0$	2 e, μ	0-3 jets	-	20.3	\tilde{q} 1.12 TeV
	GMSB ($\tilde{\ell}$ NLSP)	2 e, μ	2-4 jets	Yes	4.7	\tilde{q} 1.24 TeV
	GMSB ($\tilde{\ell}$ NLSP)	1-2 τ	0-2 jets	Yes	20.7	\tilde{q} 1.4 TeV
	GGM (bino NLSP)	2 γ	-	Yes	4.8	\tilde{q} 619 GeV
	GGM (wino NLSP)	1 $e, \mu + \gamma$	-	Yes	4.8	\tilde{q} 900 GeV
	GGM (higgsino-bino NLSP)	γ	1 b	Yes	4.8	\tilde{q} 690 GeV
	GGM (higgsino NLSP)	2 $e, \mu (Z)$	0-3 jets	Yes	5.8	\tilde{q} 645 GeV
	Gravitino LSP	0	mono jet	Yes	10.5	$F^{1/2}$ scale
3 rd gen. \tilde{g} med.	$\tilde{g}\tilde{g} \rightarrow b\tilde{b}\tilde{l}_1^0$	0	3 b	Yes	20.1	\tilde{g} 1.2 TeV
	$\tilde{g}\tilde{g} \rightarrow t\tilde{t}\tilde{l}_1^0$	0	7-10 jets	Yes	20.3	\tilde{g} 1.1 TeV
	$\tilde{g}\tilde{g} \rightarrow t\tilde{t}\tilde{l}_1^0$	0-1 e, μ	3 b	Yes	20.1	\tilde{g} 1.34 TeV
	$\tilde{g}\tilde{g} \rightarrow b\tilde{t}\tilde{l}_1^0$	0-1 e, μ	3 b	Yes	20.1	\tilde{g} 1.3 TeV
3 rd gen. squarks direct production	$\tilde{b}_1 \tilde{b}_1, \tilde{b}_1 \rightarrow \tilde{b}\tilde{l}_1^0$	0	2 b	Yes	20.1	\tilde{b}_1 100-620 GeV
	$\tilde{b}_1 \tilde{b}_1, \tilde{b}_1 \rightarrow \tilde{t}\tilde{l}_1^0$	2 $e, \mu (\text{SS})$	0-3 b	Yes	20.7	\tilde{b}_1 275-430 GeV
	\tilde{b}_1 (light), $\tilde{b}_1 \rightarrow \tilde{b}\tilde{l}_1^0$	1-2 e, μ	1-2 b	Yes	4.7	\tilde{b}_1 110-167 GeV
	\tilde{b}_1 (light), $\tilde{b}_1 \rightarrow W\tilde{b}\tilde{l}_1^0$	2 e, μ	0-2 jets	Yes	20.3	\tilde{b}_1 130-220 GeV
	\tilde{b}_1 (medium), $\tilde{b}_1 \rightarrow \tilde{t}\tilde{l}_1^0$	2 e, μ	2 jets	Yes	20.3	\tilde{b}_1 225-525 GeV
	\tilde{b}_1 (medium), $\tilde{b}_1 \rightarrow b\tilde{l}_1^0$	0	2 b	Yes	20.1	\tilde{b}_1 150-580 GeV
	\tilde{b}_1 (heavy), $\tilde{b}_1 \rightarrow \tilde{t}\tilde{l}_1^0$	1 e, μ	1 b	Yes	20.7	\tilde{b}_1 200-610 GeV
	\tilde{b}_1 (heavy), $\tilde{b}_1 \rightarrow \tilde{t}\tilde{l}_1^0$	0	2 b	Yes	20.5	\tilde{b}_1 320-660 GeV
	\tilde{b}_1 , $\tilde{b}_1 \rightarrow c\tilde{l}_1^0$	0	mono-jet/c-tag	Yes	20.3	\tilde{b}_1 90-200 GeV
	\tilde{b}_1 (natural GMSB)	2 $e, \mu (Z)$	1 b	Yes	20.7	\tilde{b}_1 500 GeV
	$\tilde{b}_2, \tilde{b}_2 \rightarrow \tilde{t}_1 \rightarrow Z$	3 $e, \mu (Z)$	1 b	Yes	20.7	\tilde{b}_2 271-520 GeV
EW direct	$\tilde{\ell}_R \tilde{\ell}_L, \tilde{\ell}_R \rightarrow \tilde{\ell}\tilde{\ell}^0$	2 e, μ	0	Yes	20.3	$\tilde{\ell}^\pm$ 85-315 GeV
	$\tilde{\chi}_1^0 \tilde{\chi}_1^0, \tilde{\chi}_1^0 \rightarrow \tilde{\ell}\nu(\tilde{\tau}\nu)$	2 e, μ	0	Yes	20.3	$\tilde{\chi}_1^0$ 125-450 GeV
	$\tilde{\chi}_1^0 \tilde{\chi}_1^0, \tilde{\chi}_1^0 \rightarrow \tilde{\tau}\nu(\tilde{\tau}\nu)$	2 τ	-	Yes	20.7	$\tilde{\chi}_1^0$ 180-330 GeV
	$\tilde{\chi}_1^0 \tilde{\chi}_1^0 \rightarrow \tilde{\ell}_L \nu_L \tilde{\ell}_R \nu_R, \tilde{\ell} \ell \tilde{\ell} \ell \nu_R$	3 e, μ	0	Yes	20.7	$\tilde{\chi}_1^0 \tilde{\chi}_1^0$ 600 GeV
	$\tilde{\chi}_1^0 \tilde{\chi}_1^0 \rightarrow W\tilde{\chi}_1^0 Z\tilde{\chi}_1^0$	3 c, μ	0	Yes	20.7	$\tilde{\chi}_1^0 \tilde{\chi}_1^0$ 315 GeV
	$\tilde{\chi}_1^0 \tilde{\chi}_1^0 \rightarrow W\tilde{\chi}_1^0 h\tilde{\chi}_1^0$	1 e, μ	2 b	Yes	20.3	$\tilde{\chi}_1^0 \tilde{\chi}_1^0$ 285 GeV
	Direct $\tilde{\chi}_1 \tilde{\chi}_1$ prod., long-lived $\tilde{\chi}_1^\pm$	Disapp. trk	1 jet	Yes	20.3	$\tilde{\chi}_1^\pm$ 270 GeV
Long-lived particles	Stable, stopped \tilde{g} R-hadron	0	1-5 jets	Yes	22.9	\tilde{g} 832 GeV
	GMSB, stable $\tilde{\tau}$, $\tilde{\chi}_1^0 \rightarrow \tilde{\tau}(\tilde{s}, \tilde{b}) \tau \nu (\text{e}, \mu)$	1-2 μ	-	-	15.9	$\tilde{\chi}_1^0$ 475 GeV
	GMSB, $\tilde{\chi}_1^0 \rightarrow yG$, long-lived $\tilde{\chi}_1^0$	2 γ	-	Yes	4.7	$\tilde{\chi}_1^0$ 230 GeV
	$\tilde{q}\tilde{q}, \tilde{q}\tilde{q} \rightarrow q\bar{q}u (RPV)$	1 μ , displ. vtx	-	-	20.3	\tilde{q} 1.0 TeV
RPV	LFV $pp \rightarrow \tilde{\tau}_1 \rightarrow X, \tilde{\tau}_1 \rightarrow c + \mu$	2 e, μ	-	-	4.6	$\tilde{\tau}_1$ 1.61 TeV
	LFV $pp \rightarrow \tilde{\tau}_1 \rightarrow X, \tilde{\tau}_1 \rightarrow e(\mu) + \tau$	1 $e, \mu + \tau$	-	-	4.6	$\tilde{\tau}_1$ 1.1 TeV
	Bilinear RPV CMSSM	1 e, μ	7 jets	Yes	4.7	\tilde{q}, \tilde{g} 1.2 TeV
	$\tilde{\chi}_1^0 \tilde{\chi}_1^0 \rightarrow W\tilde{\chi}_1^0 Z\tilde{\chi}_1^0 \rightarrow ee\tilde{\nu}_\mu, ee\tilde{\nu}_e$	4 e, μ	-	Yes	20.7	$\tilde{\chi}_1^0 \tilde{\chi}_1^0$ 760 GeV
	$\tilde{\chi}_1^0 \tilde{\chi}_1^0 \rightarrow W\tilde{\chi}_1^0 Z\tilde{\chi}_1^0 \rightarrow \tau\tau\tilde{\nu}_e, e\tau\tilde{\nu}_e$	3 $e, \mu + \tau$	-	Yes	20.7	$\tilde{\chi}_1^0 \tilde{\chi}_1^0$ 350 GeV
	$\tilde{g} \rightarrow q\bar{q}g$	0	6-7 jets	-	20.3	$\tilde{g} \rightarrow q\bar{q}g$ 916 GeV
	$\tilde{g} \rightarrow \tilde{\tau}_1 \tilde{\tau}_1$	2 $e, \mu (\text{SS})$	0-3 b	Yes	20.7	$\tilde{g} \rightarrow \tilde{\tau}_1 \tilde{\tau}_1$ 880 GeV
	Scalar gluon pair, sgluon $\rightarrow q\bar{q}$	0	4 jets	-	4.6	Incl. limit from 1110.2693
	Scalar gluon pair, sgluon $\rightarrow t\bar{t}$	2 $e, \mu (\text{SS})$	1 b	Yes	14.3	Incl. limit from 1110.2693
	WIMP interaction (D5, Dirac χ)	0	mono-jet	Yes	10.5	M^* scale 704 GeV
Other	$\sqrt{s} = 7 \text{ TeV}$ 26/08/14	$\sqrt{s} = 8 \text{ TeV}$ partial data	$\sqrt{s} = 8 \text{ TeV}$ full data			incl. limit from 1110.2693
						$m(\chi) < 80 \text{ GeV}$, limit of < 687 GeV for D8

Higgs!

Modos de produção do bosão de Higgs



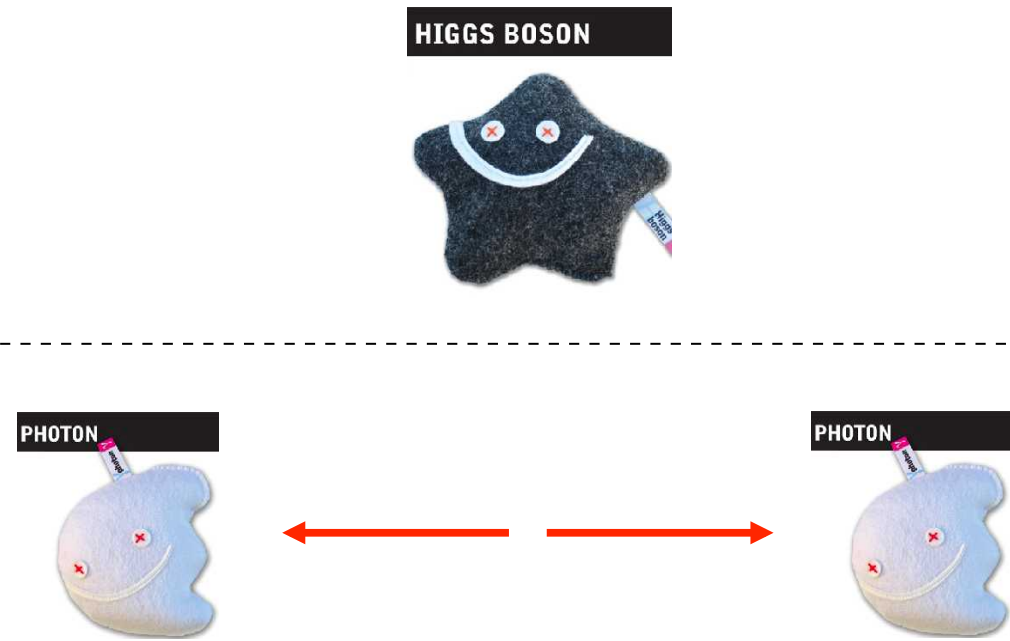
Produção e decaimento do Higgs



- Modos principais
 - Massa elevada: WW , ZZ
 - Massa baixa: $\gamma\gamma$, bb , $\tau\tau$, WW , ZZ
 - Melhor resolução: $\gamma\gamma$, ZZ

Os modos (canais) mais intensos podem não ser os mais fáceis, devido ao ruído de fundo (outros processos com o mesmo padrão).

Detectar partículas instáveis



■ Antes

- $E_{tot} = M_H c^2$
○ M_H = massa do Higgs

■ Depois

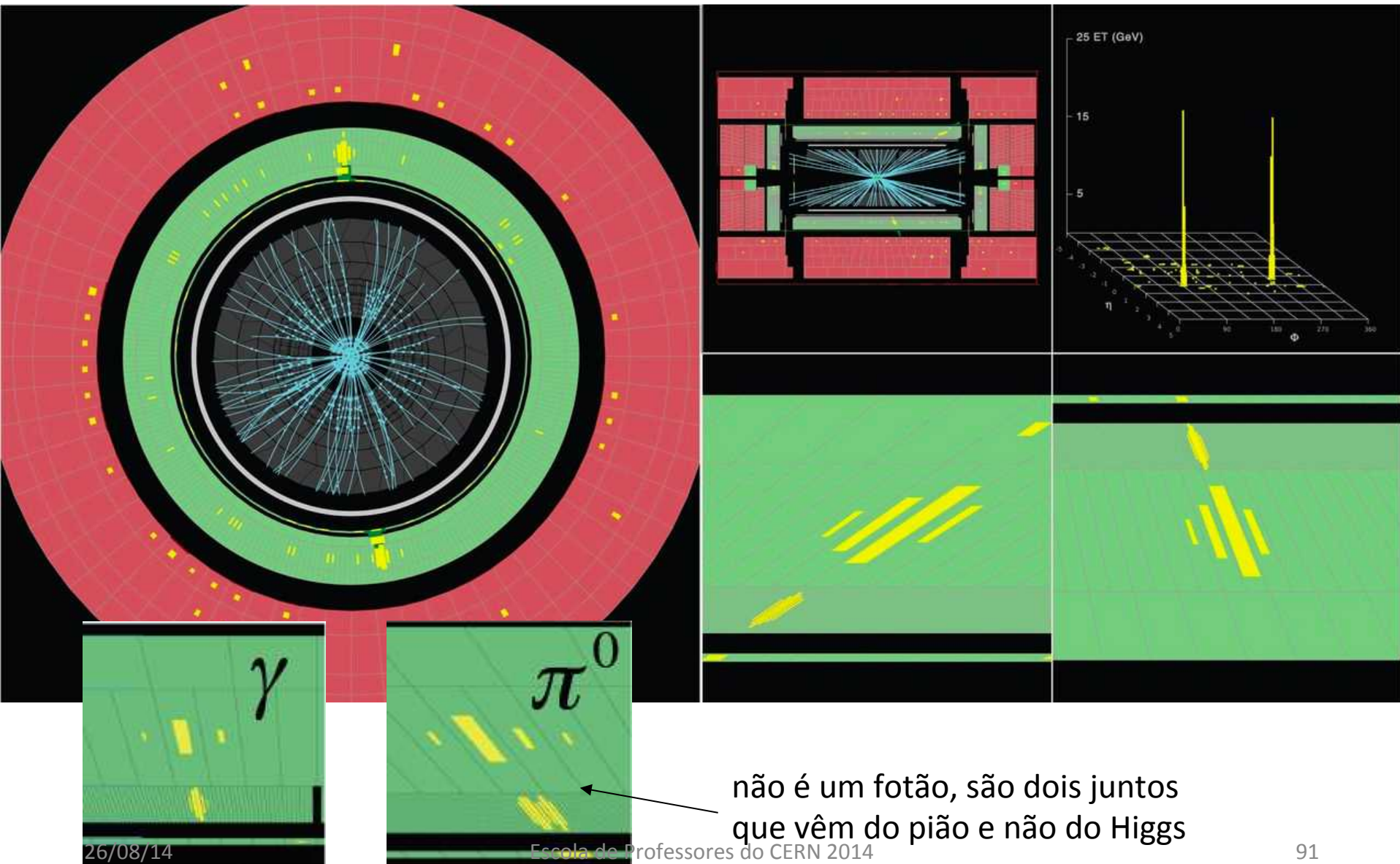
- $E_{tot} = E_1 + E_2$
- $E_1 = E_2 = \frac{1}{2} M_H c^2$

Na prática é mais complicado porque o bosão de Higgs está em movimento, mas o princípio é o mesmo

$$M^2 = (E_1 + E_2)^2 - (\overrightarrow{p_1} + \overrightarrow{p_2})^2$$

Massa invariante do estado final dá-nos a massa da partícula que decaiu

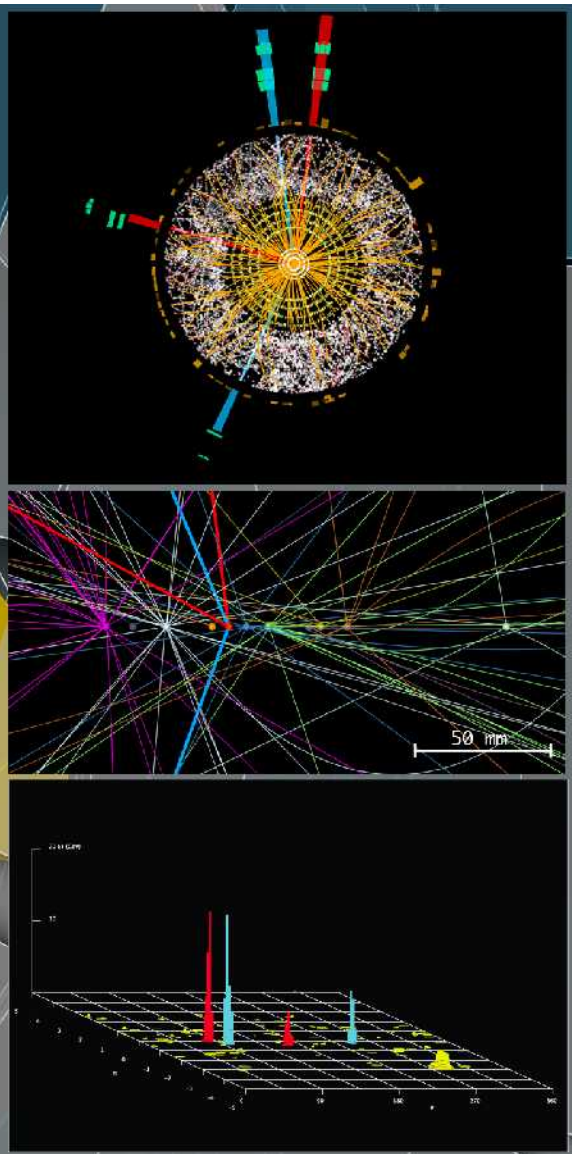
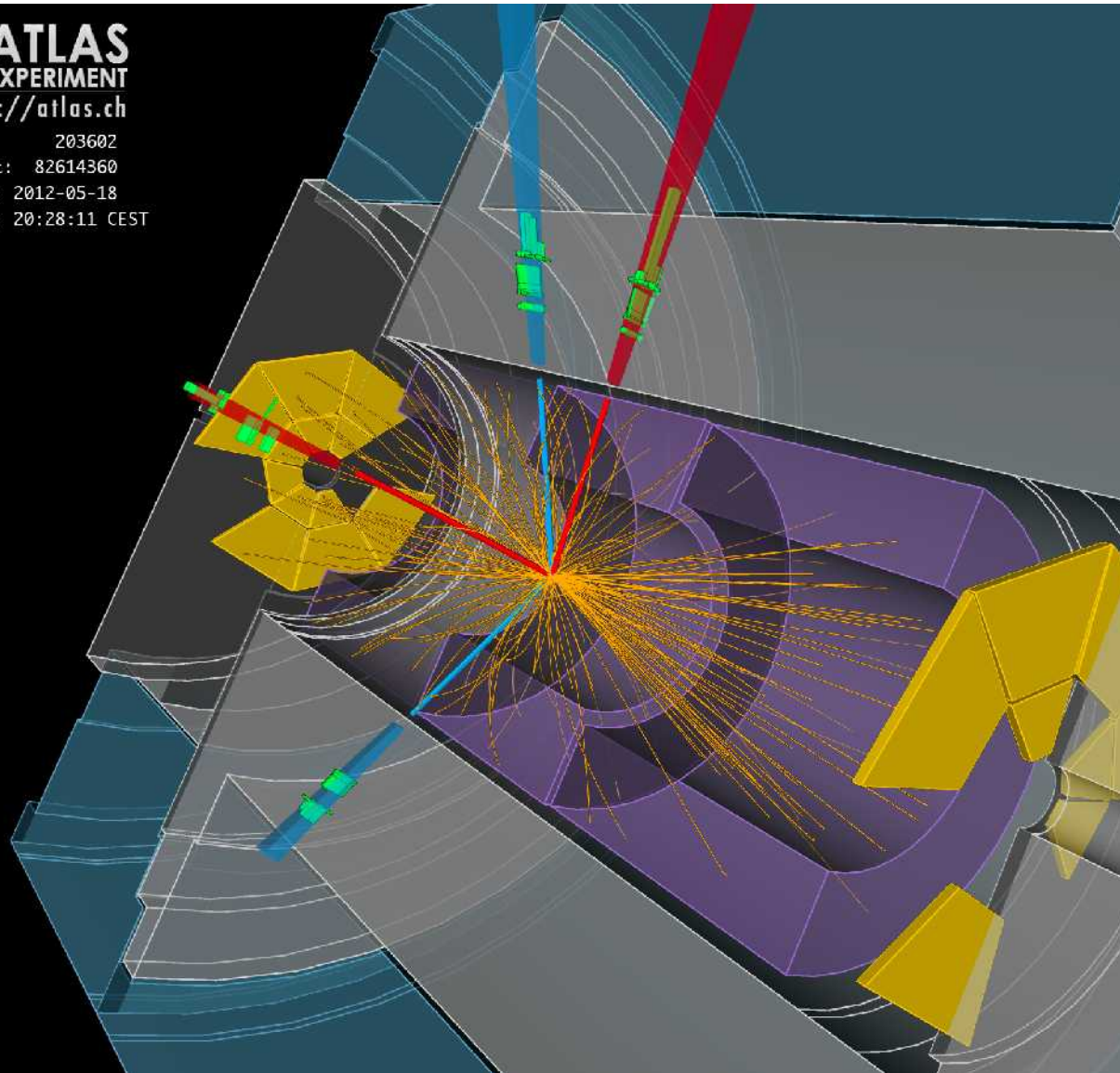
$$M^2(\gamma\gamma) = 2E_1 E_2 (1 - \cos\alpha)$$



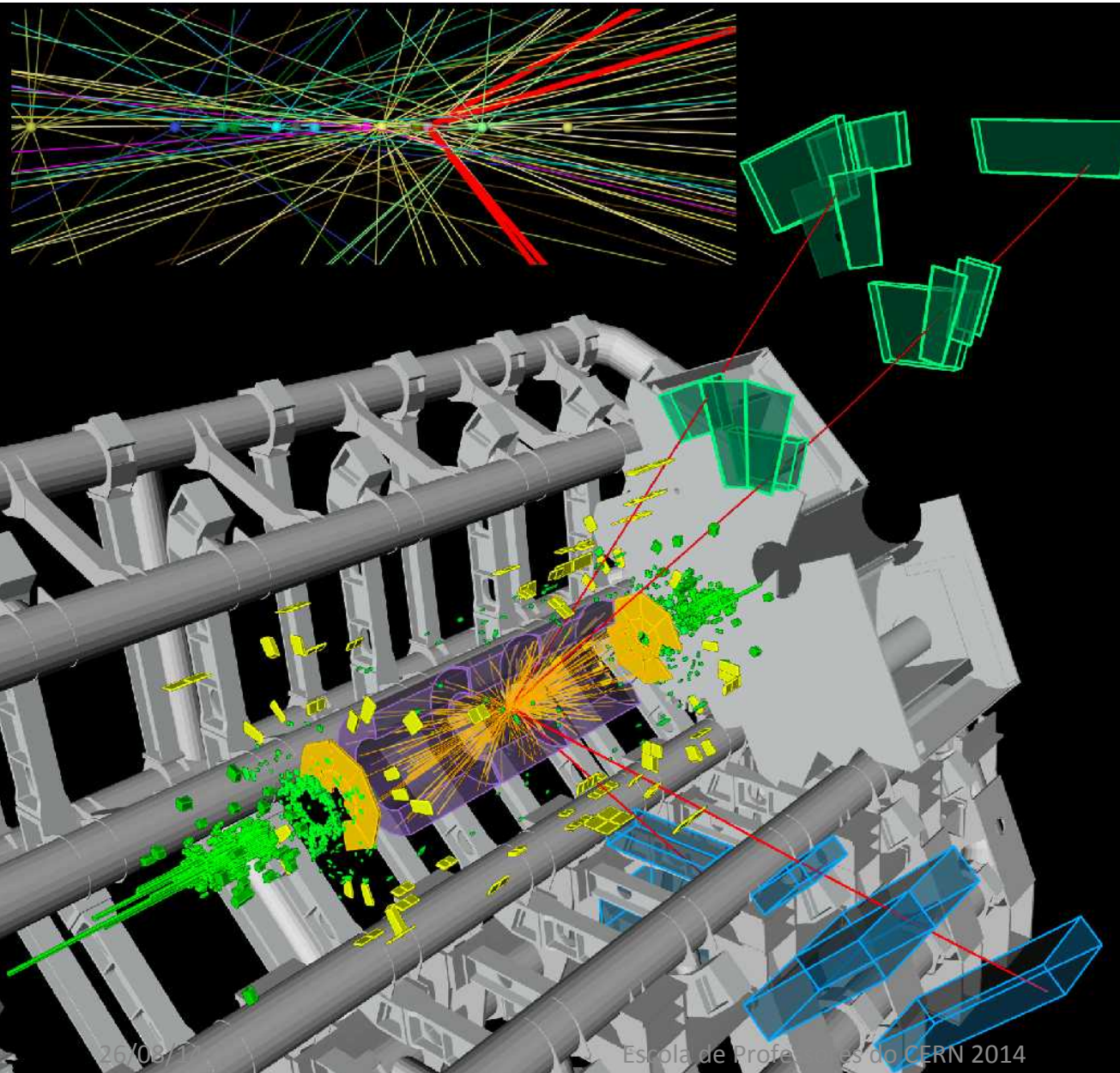
Higgs \rightarrow 2Z \rightarrow 4e



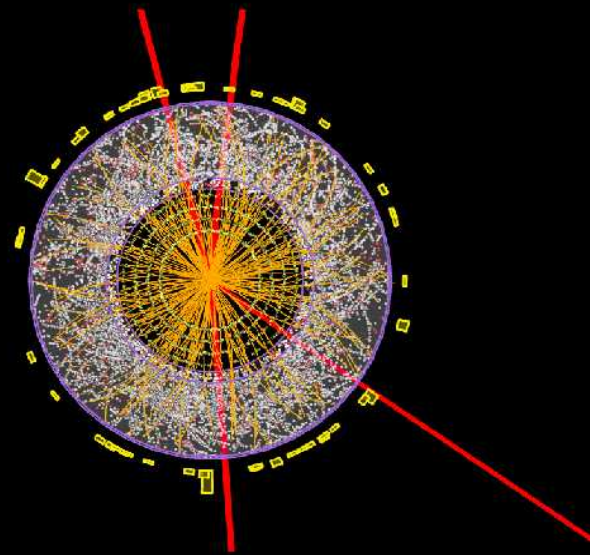
http://atlas.ch
Run: 203602
Event: 82614360
Date: 2012-05-18
Time: 20:28:11 CEST



Higgs \rightarrow 2Z \rightarrow 4 μ



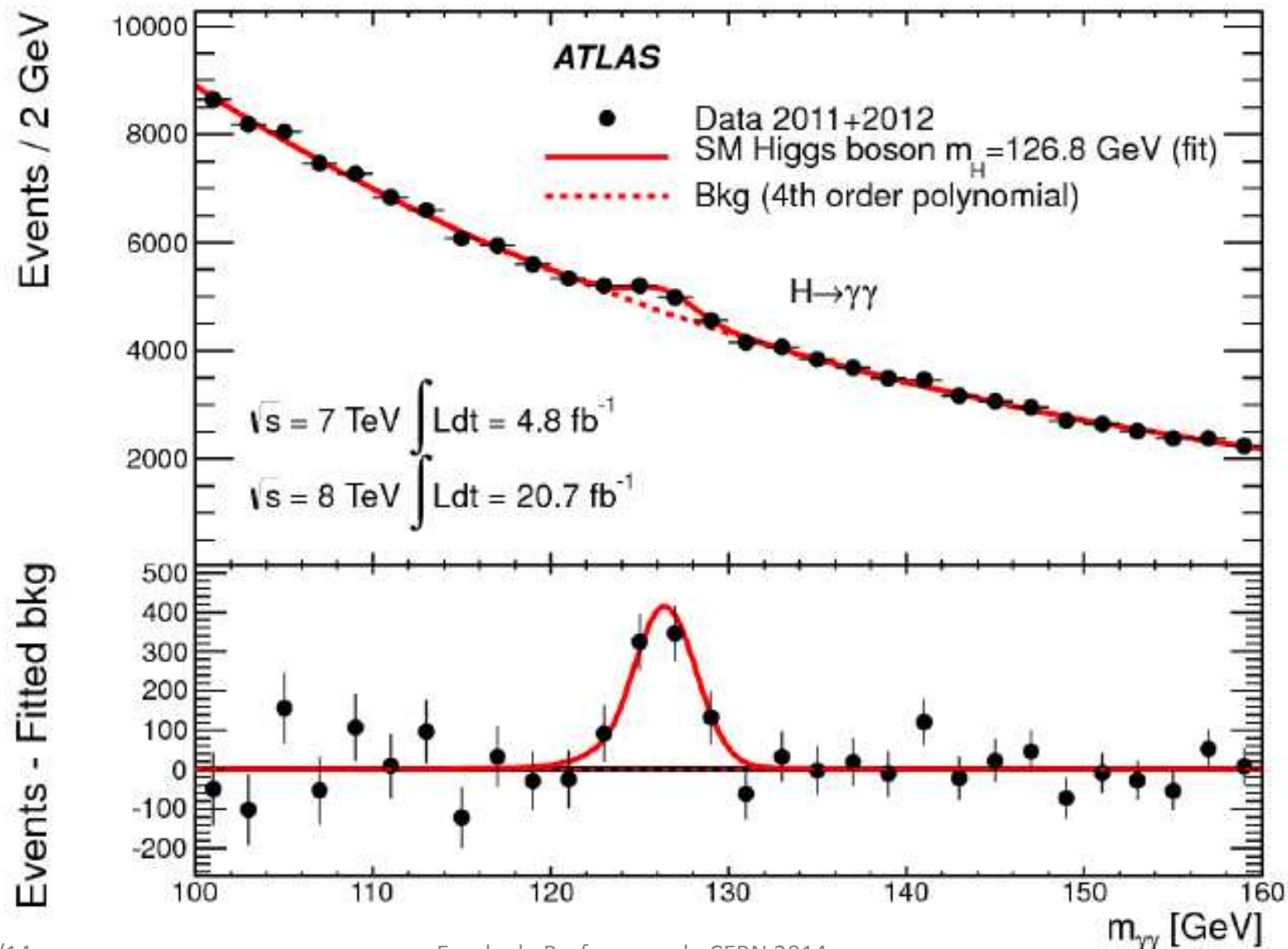
ATLAS
EXPERIMENT
<http://atlas.ch>



Run: 204769
Event: 71902630
Date: 2012-06-10
Time: 13:24:31 CEST

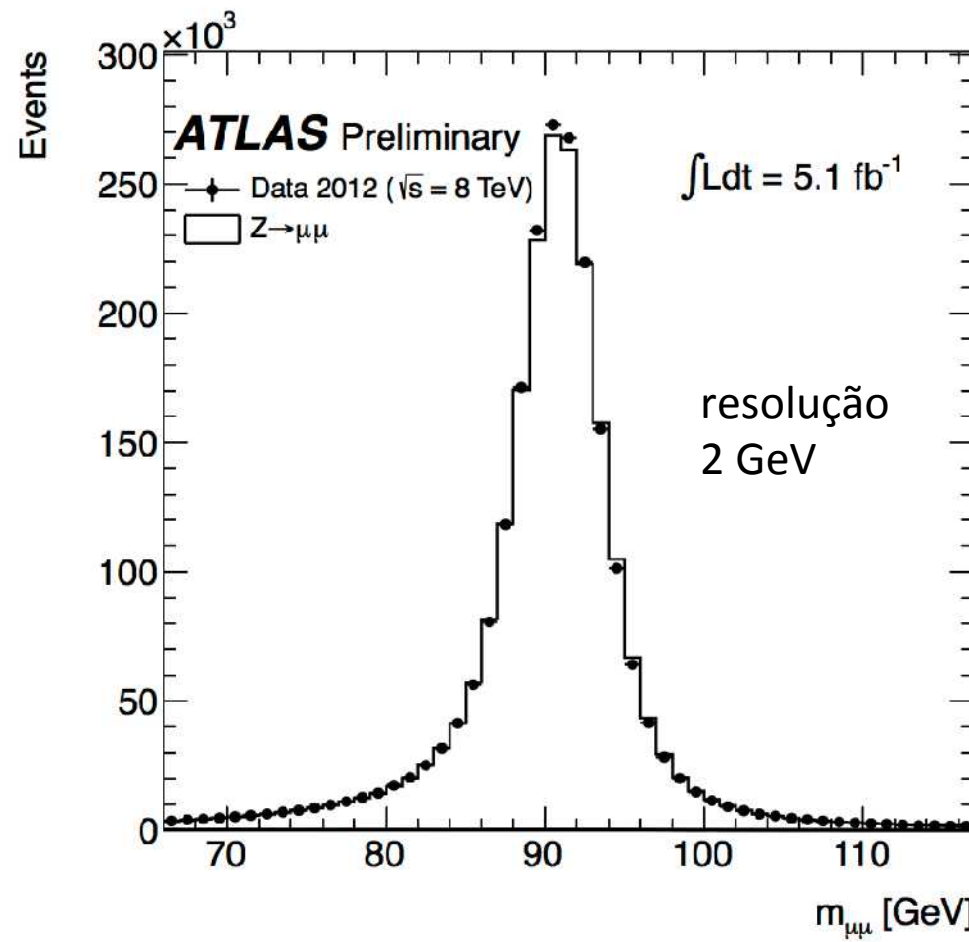


Espectro de massa dois fotões

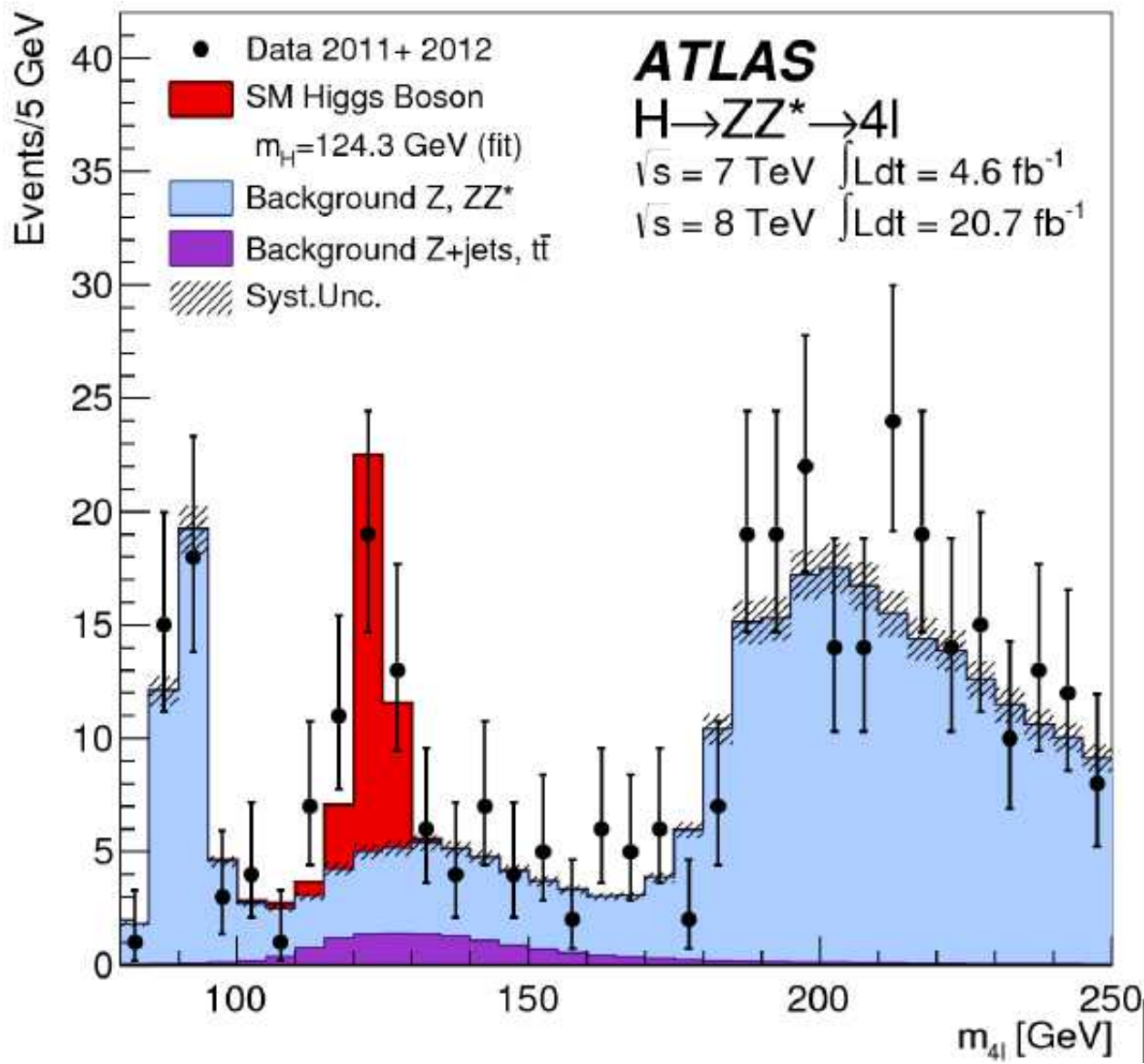


Controlo: espectro de massa 2 muões

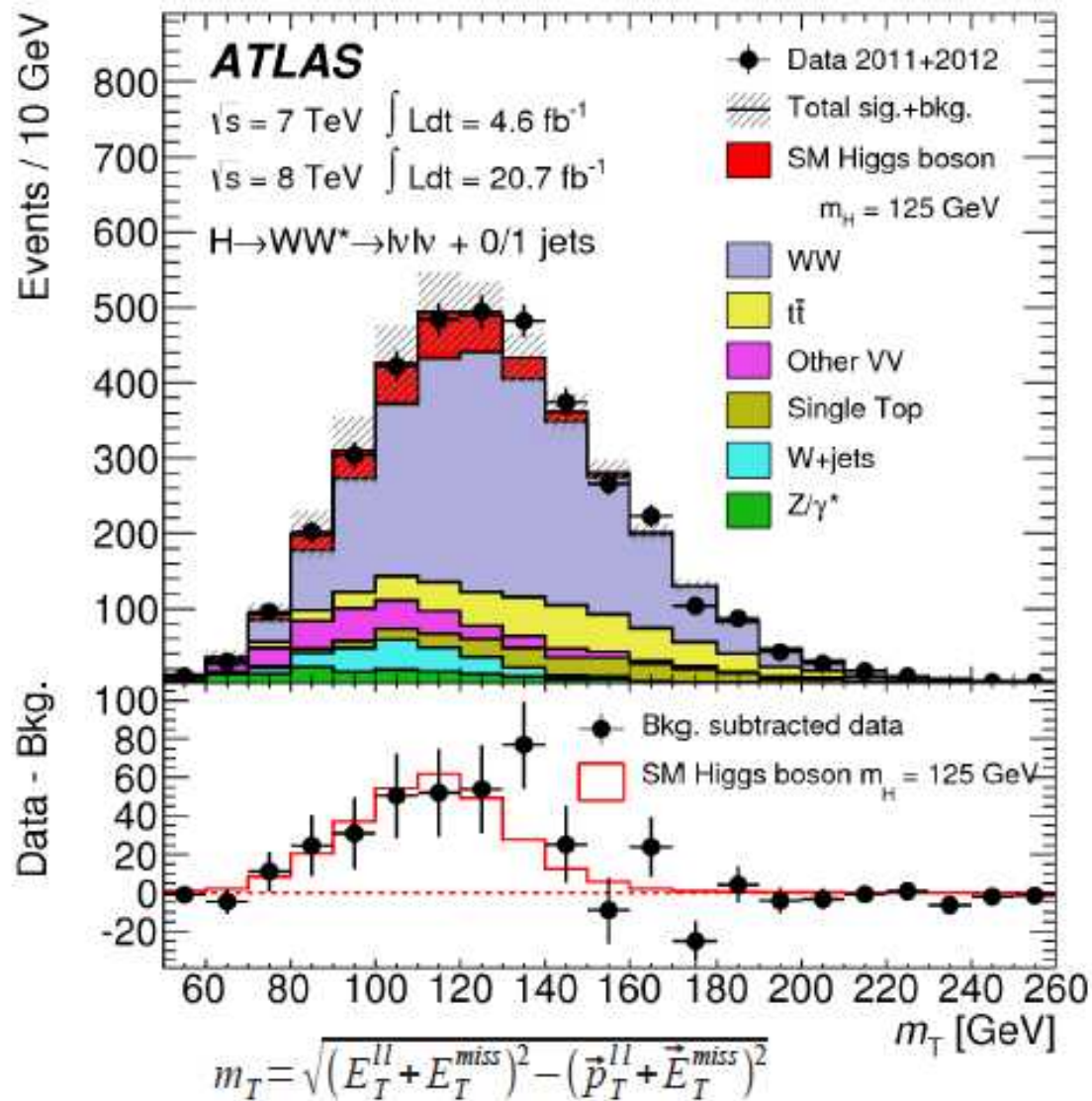
Antes de ver o Higgs, temos de ver bem o Z, já conhecido



Espectro de massa 4 leptões

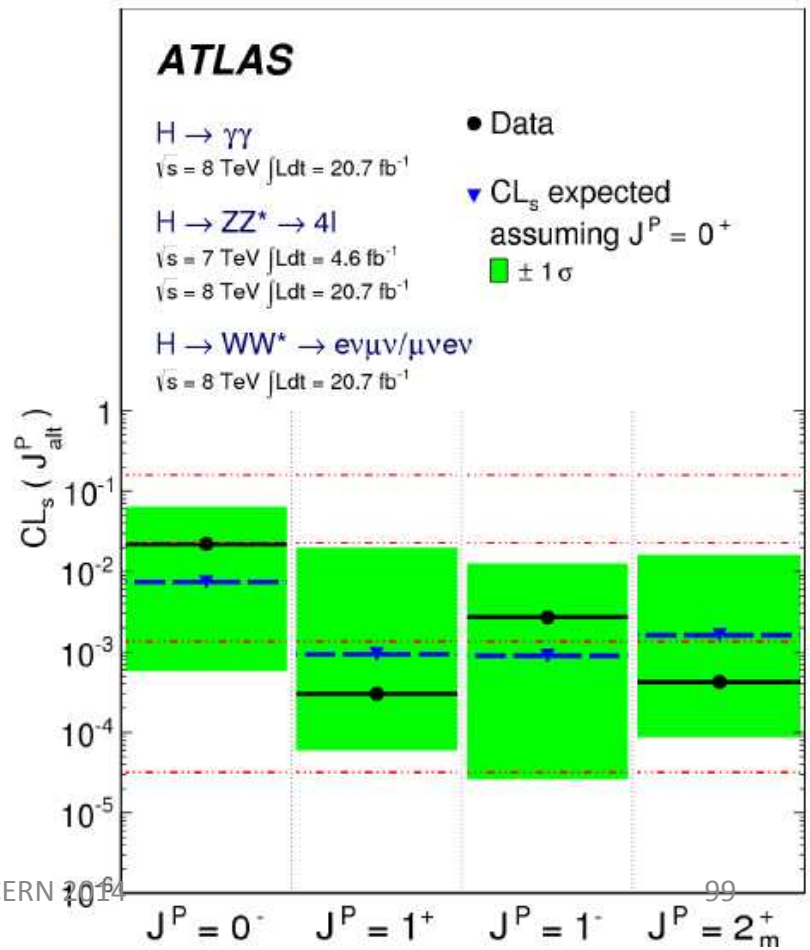
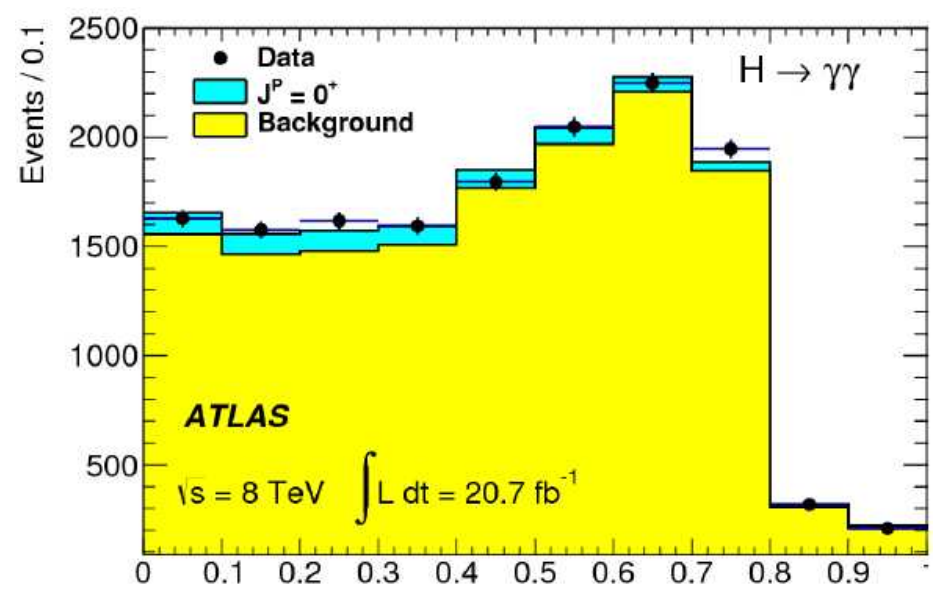
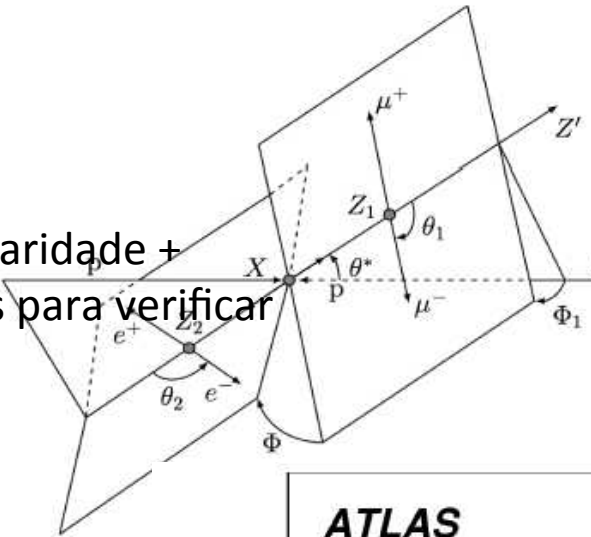


Massa transversa $H \rightarrow WW$



Spin e paridade

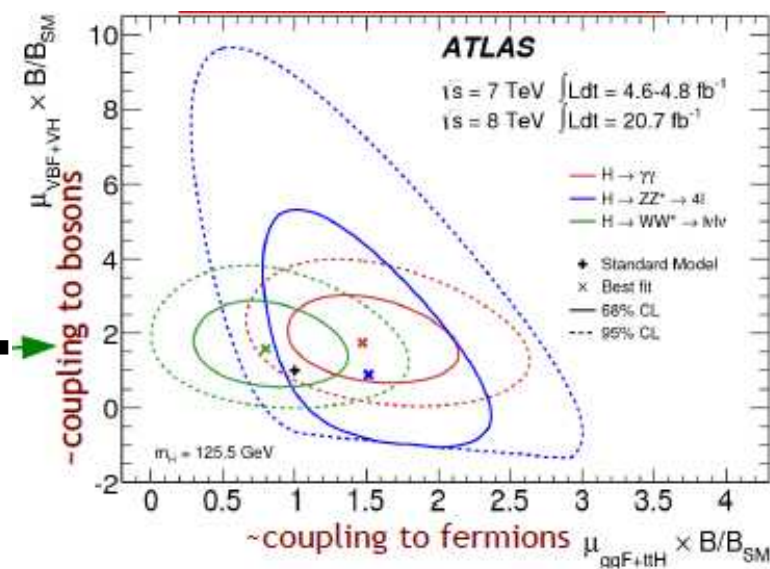
- Higgs do Modelo Padrão tem spin 0 e paridade +
- Usamos as distribuições angulares para verificar



É o Higgs !

■ Quais as propriedades ?

- spin 0+
- massa 125.5 GeV
- acoplamentos previstos pelo Modelo I



ATLAS

$m_H = 125.5 \text{ GeV}$

$H \rightarrow \gamma\gamma$

$$\mu = 1.55^{+0.33}_{-0.28}$$

$H \rightarrow ZZ^* \rightarrow 4l$

$$\mu = 1.43^{+0.40}_{-0.35}$$

$H \rightarrow WW^* \rightarrow llvv$

$$\mu = 0.99^{+0.31}_{-0.28}$$

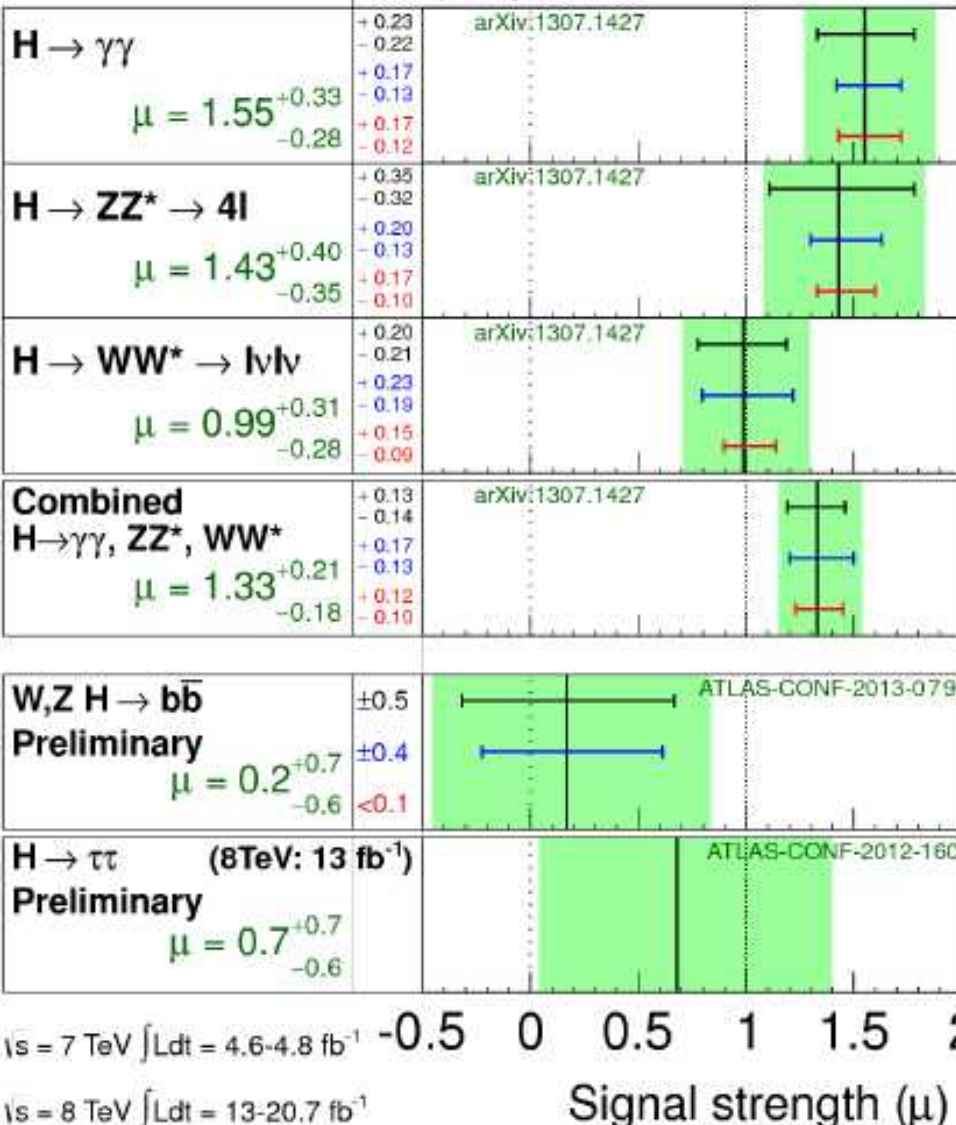
Combined

$H \rightarrow \gamma\gamma, ZZ^*, WW^*$

$$\mu = 1.33^{+0.21}_{-0.18}$$

Total uncertainty

$\pm 1\sigma$ on μ



■ Razão μ = dados / teoria